

การประยุกต์ใช้ตัวควบคุมเชิงทำนายแบบจำลองในหอกลิ้นแยกแนวพาตัวเบา ของกระบวนการ
แก๊สโซลีนไฮโดรจีเนชั่น



นายกรกฤตย์ เชี่ยวชาญไชรัตน์

จุฬาลงกรณ์มหาวิทยาลัย

CHULALONGKORN UNIVERSITY

วิทยานิพนธ์นี้เป็นส่วนหนึ่งของการศึกษาตามหลักสูตรปริญญาวิศวกรรมศาสตรมหาบัณฑิต

สาขาวิชาวิศวกรรมเคมี ภาควิชาวิศวกรรมเคมี

คณะวิศวกรรมศาสตร์ จุฬาลงกรณ์มหาวิทยาลัย

ปีการศึกษา 2556

ลิขสิทธิ์ของจุฬาลงกรณ์มหาวิทยาลัย

บทคัดย่อและแฟ้มข้อมูลฉบับเต็มของวิทยานิพนธ์ตั้งแต่ปีการศึกษา 2554 ที่ให้บริการในคลังปัญญาจุฬาฯ (CUIR)

เป็นแฟ้มข้อมูลของนิสิตเจ้าของวิทยานิพนธ์ ที่ส่งผ่านทางบัณฑิตวิทยาลัย

The abstract and full text of theses from the academic year 2011 in Chulalongkorn University Intellectual Repository (CUIR) are the thesis authors' files submitted through the University Graduate School.

APPLICATION OF MODEL PREDICTIVE CONTROL IN LIGHT NAPHTHA DISTILLATION
COLUMN OF GASOLINE HYDROGENATION PROCESS

Mr. Kornkrit Chiewchanchairat



จุฬาลงกรณ์มหาวิทยาลัย

CHULALONGKORN UNIVERSITY

A Thesis Submitted in Partial Fulfillment of the Requirements
for the Degree of Master of Engineering Program in Chemical Engineering

Department of Chemical Engineering

Faculty of Engineering

Chulalongkorn University

Academic Year 2013

Copyright of Chulalongkorn University

หัวข้อวิทยานิพนธ์

การประยุกต์ใช้ตัวควบคุมเชิงทำนายแบบจำลองในหอ
กลั่นแยกแวนพาทัวเบา ของกระบวนการแก๊สโซลีนไฮโดร
จีเนชั่น

โดย

นายกรกฤตย์ เชี่ยวชาญไชยรัตน์

สาขาวิชา

วิศวกรรมเคมี

อาจารย์ที่ปรึกษาวิทยานิพนธ์หลัก

ผู้ช่วยศาสตราจารย์ ดร. สุรเทพ เชี่ยวหอม

คณะวิศวกรรมศาสตร์ จุฬาลงกรณ์มหาวิทยาลัย อนุมัติให้หัวข้อวิทยานิพนธ์ฉบับนี้เป็นส่วน
หนึ่งของการศึกษาตามหลักสูตรปริญญาวิทยาศาสตรบัณฑิต

.....คณบดีคณะวิศวกรรมศาสตร์

(ศาสตราจารย์ ดร. บัณฑิต เอื้ออาภรณ์)

คณะกรรมการสอบวิทยานิพนธ์

.....ประธานกรรมการ

(ผู้ช่วยศาสตราจารย์ ดร. กษิติศ หนูทอง)

.....อาจารย์ที่ปรึกษาวิทยานิพนธ์หลัก

(ผู้ช่วยศาสตราจารย์ ดร. สุรเทพ เชี่ยวหอม)

.....กรรมการ

(ดร. พิมพ์พร พลเพชร)

.....กรรมการภายนอกมหาวิทยาลัย

(ผู้ช่วยศาสตราจารย์ ดร. ประกร รามกุล)

กรกฤตย์ เชี่ยวชาญไชยรัตน์ : การประยุกต์ใช้ตัวควบคุมเชิงทำนายแบบจำลองในหอกลั่นแยกแฉกแพทาตัวเบา ของกระบวนการแก๊สโซลีนไฮโดรจีเนชั่น. (APPLICATION OF MODEL PREDICTIVE CONTROL IN LIGHT NAPHTHA DISTILLATION COLUMN OF GASOLINE HYDROGENATION PROCESS) อ.ที่ปรึกษาวิทยานิพนธ์หลัก: ผศ. ดร. สุรเทพ เขียวหอม, หน้า.

งานวิจัยนี้ได้ออกแบบและประยุกต์ใช้ตัวควบคุมเชิงทำนายแบบจำลอง (model predictive control, MPC) เพื่อควบคุมหอกลั่นแยกแฉกแพทาตัวเบาของกระบวนการผลิตแก๊สโซลีนไฮโดรจีเนชั่นซึ่งรองรับมาตรฐานน้ำมันยูโร 4 โดยได้ใช้ข้อมูลในกระบวนการผลิตจริงเพื่อหาสมการทำนายปริมาณซัลเฟอร์ในแฉกแพทาตัวเบา และหาแบบจำลองเชิงพลวัตของหอกลั่นแยกแฉกแพทาตัวเบาด้วยวิธีการตอบสนองแบบสแต็ป แบบจำลองที่สร้างขึ้นเมื่อนำไปสอบทานด้วยข้อมูลจากกระบวนการผลิตจริงพบว่าสอดคล้องกัน แบบจำลองที่สร้างขึ้นนำไปใช้สร้างตัวควบคุมเชิงทำนายแบบจำลอง หอกลั่นแยกแฉกแพทาตัวเบาถูกควบคุมด้วยตัวควบคุมเชิงทำนายแบบจำลองที่สร้างขึ้นได้เป็นอย่างดี และผลิตภัณฑ์แก๊สโซลีนยังคงผ่านตามข้อกำหนด ผู้วิจัยได้เปรียบเทียบสมรรถนะการควบคุมหอกลั่นแยกแฉกแพทาตัวเบาภายใต้สภาวะแวดล้อมและขนาดของตัวแปรรบกวนที่ใกล้เคียงกัน พบว่าตัวควบคุมเชิงทำนายแบบจำลองให้สมรรถนะการควบคุมกระบวนการผลิตตามสมการวัตถุประสงค์ได้ดีกว่าก่อนการประยุกต์ใช้ตัวควบคุมเชิงทำนายแบบจำลอง ร้อยละ 32.1 และตัวควบคุมเชิงทำนายแบบจำลองสามารถทำออปติไมเซชั่น โดยการประหยัดไอน้ำที่หอกลั่นแยกแฉกแพทาตัวเบาได้เฉลี่ย 4,587.3 กิโลแคลอรีต่อสารป้อนเข้าหอกลั่นหนึ่งตัน โดยสามารถลดต้นทุนทางพลังงานได้เฉลี่ย 2,809,674 บาทต่อปี

จุฬาลงกรณ์มหาวิทยาลัย
CHULALONGKORN UNIVERSITY

ภาควิชา วิศวกรรมเคมี

ลายมือชื่อนิสิต

สาขาวิชา วิศวกรรมเคมี

ลายมือชื่อ อ.ที่ปรึกษาวิทยานิพนธ์หลัก

ปีการศึกษา 2556

5471047021 : MAJOR CHEMICAL ENGINEERING

KEYWORDS: MODEL PREDICTIVE CONTROL / PID CONTROLLER / LIGHT NAPHTHA DISTILLATION COLUMN

KORNKRIT CHIEWCHANCHAIRAT: APPLICATION OF MODEL PREDICTIVE CONTROL IN LIGHT NAPHTHA DISTILLATION COLUMN OF GASOLINE HYDROGENATION PROCESS. ADVISOR: ASST. PROF. SOORATHEP KHEAWHOM, Ph.D., pp.

This research work designed and implemented model predictive control (MPC) for controlling a light naphtha splitter column of gasoline hydrogenation process that is compatible with the Euro 4 standard. The study used real historical data in order to construct a model predicting the sulfur content in light Naphtha, and to develop a dynamic model by step test method. The models developed was validated with different set of real industrial data, and it was found that the model agreed well the data. The dynamic model developed was used to design MPC controller. The controller implemented can effectively control the light naphtha splitter column and the gasoline product still complies with euro IV regulation. We also compared the control performances under the same magnitude of disturbances of the controller after MPC implementation with the controller before MPC implementation. The results show that after MPC implementation, the control performances can be improved 32.1%. In addition, with MPC implementation, the operation was optimized and the energy consumed decreased as 4,587.3 kcal per ton of feed. The production cost related to energy consumption reduced as 2,809,674 Baht per year.

จุฬาลงกรณ์มหาวิทยาลัย
CHULALONGKORN UNIVERSITY

Department: Chemical Engineering Student's Signature

Field of Study: Chemical Engineering Advisor's Signature

Academic Year: 2013

กิตติกรรมประกาศ

ข้าพเจ้าขอกราบขอบพระคุณ ผู้ช่วยศาสตราจารย์ ดร.สุรเทพ เขียวหอม ที่ได้ให้เกียรติเป็นอาจารย์ที่ปรึกษา ตลอดจนให้คำแนะนำและให้ข้อคิดเห็นต่าง ๆ ที่สำคัญแก่ข้าพเจ้าตลอดมา

ขอกราบขอบพระคุณ ผู้ช่วยศาสตราจารย์ ดร.กษิติศ หนูทอง อาจารย์ ดร.พิมพ์พร พลเพชร และผู้ช่วยศาสตราจารย์ ดร.ประกร รามกุล ที่กรุณามาร่วมเป็นคณะกรรมการสอบวิทยานิพนธ์ และให้ข้อเสนอแนะอันเป็นประโยชน์สำหรับงานวิจัยนี้

สุดท้ายนี้ขอกราบขอบพระคุณบุพการีและครอบครัวที่ให้การสนับสนุนและเป็นกำลังใจตลอดมา



จุฬาลงกรณ์มหาวิทยาลัย
CHULALONGKORN UNIVERSITY

สารบัญ

หน้า

| | |
|---|----|
| บทคัดย่อภาษาไทย..... | ง |
| บทคัดย่อภาษาอังกฤษ..... | จ |
| กิตติกรรมประกาศ..... | ฉ |
| สารบัญ..... | ช |
| สารบัญตาราง..... | ญ |
| สารบัญภาพ..... | ฎ |
| บทที่ 1 บทนำ..... | 1 |
| 1.1 ความเป็นมาและความสำคัญของงานวิจัย..... | 1 |
| 1.2 วัตถุประสงค์ของงานวิจัย..... | 2 |
| 1.3 ขอบเขตของงานวิจัย..... | 2 |
| 1.4 ประโยชน์ที่คาดว่าจะได้รับ..... | 2 |
| บทที่ 2 ทฤษฎีและงานวิจัยที่เกี่ยวข้อง..... | 3 |
| 2.1 กระบวนการผลิตแก๊สโซลีนไฮโดรจีเนชั่น (GHU)..... | 3 |
| 2.1.1 ภาพรวมกระบวนการผลิตแก๊สโซลีนไฮโดรจีเนชั่น (GHU)..... | 3 |
| 2.1.2 ถังพักสารป้อนเข้ากระบวนการผลิต (32D001)..... | 4 |
| 2.1.3 หน่วยการเกิดปฏิกิริยาไฮโดรจีเนชั่น (32R001)..... | 4 |
| 2.1.4 หอกลั่นแยกแวนพาทาตัวเบา (32C003)..... | 6 |
| 2.1.5 หน่วยการเกิดปฏิกิริยา Hydrodesulphurization (32R002)..... | 7 |
| 2.1.6 หอกลั่นแยกไฮโดรเจนซัลไฟด์ (32C001)..... | 7 |
| 2.1.7 หอกลั่นแยกเบนซีน (32C002)..... | 8 |
| 2.1.8 ข้อจำกัดของกระบวนการผลิตแก๊สโซลีนไฮโดรจีเนชั่น (GHU)..... | 8 |
| 2.2 งานวิจัยที่เกี่ยวข้องกับการประยุกต์ใช้ตัวควบคุมเชิงทำนายกับกระบวนการผลิตจริง..... | 8 |
| 2.2.1 งานวิจัยที่เกี่ยวกับการควบคุมเชิงทำนายแบบจำลองที่นำมาประยุกต์ใช้ในอุตสาหกรรม..... | 9 |
| 2.2.2 การพัฒนาตัวควบคุมเชิงทำนายแบบจำลองที่นำมาประยุกต์ใช้ในอุตสาหกรรม..... | 10 |
| บทที่ 3 ตัวควบคุมกระบวนการที่ใช้ในงานวิจัย..... | 12 |
| 3.1 ตัวควบคุมแบบพีไอดี (PID Controller)..... | 12 |

| | |
|---|----|
| 3.2 ตัวควบคุมเชิงทำนายแบบจำลอง (Model Predictive Control)..... | 13 |
| 3.2.1 หลักการของการควบคุมเชิงทำนาย | 14 |
| 3.2.2 องค์ประกอบของตัวควบคุมเชิงทำนายแบบจำลอง | 15 |
| 3.2.3 รูปแบบของแบบจำลองสำหรับ Model Predictive Control..... | 16 |
| 3.2.4 ขั้นตอนในการควบคุมเชิงทำนาย | 17 |
| 3.3 Robust Multivariable Predictive Control Technology, RMPCT..... | 19 |
| บทที่ 4 อุปกรณ์ และวิธีการดำเนินวิจัย | 21 |
| 4.1 อุปกรณ์สำคัญที่ใช้ในงานวิจัย | 21 |
| 4.2 วิธีการดำเนินวิจัย | 22 |
| 4.2.1 ศึกษากระบวนการผลิต และการควบคุมหอกลิ้นแยกแฉกแพทตาเบา..... | 24 |
| 4.2.2 ออกแบบโครงสร้างแบบจำลองหอกลิ้น..... | 24 |
| 4.2.3 ตรวจสอบอุปกรณ์เครื่องมือวัดของตัวแปรควบคุม ตัวแปรปรับ และตัวแปรรบกวนทุกตัว ที่อยู่ในแบบจำลอง | 25 |
| 4.2.4 การติดตั้งตัวควบคุมเชิงทำนายแบบจำลอง..... | 30 |
| บทที่ 5 การสร้างแบบจำลองของหอกลิ้นแยกแฉกแพทตาตัวเบา | 33 |
| 5.1 การออกแบบโครงสร้างแบบจำลองหอกลิ้นแยกแฉกแพทตาตัวเบา | 33 |
| 5.2 การทดสอบแบบสแต็ปของหอกลิ้นแยกแฉกแพทตาตัวเบา (Plant Step Test)..... | 38 |
| 5.3 การสร้างแบบจำลอง โดยใช้ข้อมูลจากการทดสอบแบบสแต็ป | 48 |
| บทที่ 6 การทดสอบแบบจำลองของหอกลิ้นแยกแฉกแพทตาตัวเบา..... | 56 |
| 6.1 ทดสอบเสถียรภาพของระบบ (System Stability)..... | 56 |
| 6.2 ทดสอบความสามารถควบคุมได้ (Controllability)..... | 58 |
| 6.3 ทดสอบความสังเกตได้ (Observability)..... | 59 |
| 6.4 ทดสอบแบบจำลองโดยการทำ off-line simulation ด้วยโปรแกรม Profit Controller R320 | 61 |
| บทที่ 7 ผลการทดลอง การวิเคราะห์และสรุปผลการวิจัย | 71 |
| 7.1 ผลการสร้างแบบจำลองควบคุมหอกลิ้นแยกแฉกแพทตาตัวเบา..... | 71 |
| 7.2 ผลการควบคุมหอกลิ้นแยกแฉกแพทตาตัวเบาด้วยตัวควบคุมเชิงทำนายแบบจำลอง | 72 |
| 7.2.1 การตรวจสอบคุณภาพของแบบจำลองที่สร้างขึ้น..... | 73 |

| | |
|--|-----|
| 7.2.2 ตรวจสอบตัวควบคุมเชิงทำนายแบบจำลองสามารถควบคุมหากลั่นแยกแนวทาดัวเบา | 78 |
| 7.2.3 เปรียบเทียบสมรรถนะของตัวควบคุมระหว่างตัวควบคุมแบบพีไอดีกับตัวควบคุมเชิง ทำนายแบบจำลอง | 86 |
| 7.3 สรุปผลการวิจัย..... | 93 |
| 7.4 ข้อเสนอแนะแนวทางการประยุกต์ใช้ตัวควบคุมเชิงทำนายแบบจำลอง | 93 |
| รายการอ้างอิง | 94 |
| ภาคผนวก ก..... | 96 |
| ประวัติผู้เขียนวิทยานิพนธ์ | 102 |

สารบัญตาราง

หน้า

| | |
|---|----|
| ตารางที่ 2.1 แสดงข้อจำกัดของกระบวนการผลิตแก๊สโซลีนไฮโดรจีเนชั่น..... | 8 |
| ตารางที่ 4.1 แสดงตัวแปรควบคุม และตัวแปรปรับกระบวนการของหอกลิ้นแยกแนพทาตัวเบา | 24 |
| ตารางที่ 5.1 แสดงทิศทางความสัมพันธ์ระหว่างตัวแปรควบคุม ตัวแปรปรับ และตัวแปรรบกวน ของ แบบจำลองหอกลิ้นแยกแนพทาตัวเบา..... | 37 |
| ตารางที่ 5.2 แสดงเงื่อนไขการทดสอบแบบสแต็ปที่หอกลิ้นแยกแนพทาตัวเบา | 40 |
| ตารางที่ 6.1 แสดงค่าเจาะจง (λ_i) ค่าเจาะจงคูณกับเวลาสุ่ม ($\lambda_i \times h$) และค่า $e^{\lambda_i \times h}$ | 58 |
| ตารางที่ 6.2 แสดงค่าตัวแปรควบคุมทุกตัวของแบบจำลอง ณ สภาวะเริ่มต้น รวมถึงขอบเขตล่างและ ขอบเขตบนของตัวแปรควบคุมทุกตัว | 62 |
| ตารางที่ 6.3 แสดงค่าตัวแปรปรับทุกตัวของแบบจำลอง ณ สภาวะเริ่มต้น รวมถึงขอบเขตล่าง และ ขอบเขตบนของตัวแปรปรับทุกตัว | 63 |
| ตารางที่ 6.4 แสดงค่าตัวแปรรบกวนที่ 1 และค่าตัวแปรรบกวนที่ 2 ของแบบจำลอง ณ สภาวะเริ่มต้น | 63 |
| ตารางที่ 6.5 แสดงการปรับปริมาณสารป้อนเข้าหอกลิ้นในชั้นที่ 28 เพิ่มขึ้น 3,600 กิโลกรัมต่อชั่วโมง | 65 |
| ตารางที่ 6.6 แสดงการปรับปริมาณสารป้อนเข้าหอกลิ้นในชั้นที่ 28 ลดลง 3,600 กิโลกรัมต่อชั่วโมง | 67 |
| ตารางที่ 6.7 แสดงค่าตัวแปรควบคุมทุกตัวของผลการจำลองยังคงอยู่ภายใต้ขอบเขตที่กำหนด เมื่อมี ตัวแปรรบกวนเข้ามาในระบบเพิ่มขึ้นและลดลงครั้งละ 3,600 กิโลกรัมต่อชั่วโมง | 70 |
| ตารางที่ 6.8 แสดงค่าตัวแปรปรับทุกตัวของผลการจำลองยังคงอยู่ภายใต้ขอบเขตที่กำหนด เมื่อมีตัว แปรรบกวนเข้ามาในระบบเพิ่มขึ้นและลดลงครั้งละ 3,600 กิโลกรัมต่อชั่วโมง..... | 70 |
| ตารางที่ 7.1 แสดงค่าพารามิเตอร์ของแบบจำลองกระบวนการอันดับหนึ่ง | 72 |
| ตารางที่ 7.2 แสดงค่าเฉลี่ยของตัวแปรปรับ ตัวแปรควบคุมทุกตัว และแสดงค่าขอบเขตล่าง และ ขอบเขตบนของตัวแปรทุกตัวเมื่อควบคุมหอกลิ้นแยกแนพทาตัวเบาด้วยตัวควบคุมเชิง ทำนายแบบจำลอง..... | 79 |
| ตารางที่ 7.3 แสดงการเปรียบเทียบค่าตัวแปรรบกวนที่ 1 คือสารป้อนเข้าหอกลิ้นแยกแนพทาตัวเบา ในช่วงก่อนและหลังติดตั้งตัวควบคุมเชิงทำนายแบบจำลอง..... | 87 |
| ตารางที่ 7.4 แสดงการเปรียบเทียบค่าสมการวัตถุประสงค์ของการควบคุมหอกลิ้นแยกแนพทาตัวเบา ในช่วงก่อนและหลังติดตั้งตัวควบคุมเชิงทำนายแบบจำลอง..... | 92 |

ตารางที่ ก.1 แสดงการเปรียบเทียบค่าของตัวแปรควบคุม ตัวแปรปรับ และตัวแปรรบกวนที่สภาวะคง
 ตัวในช่วงก่อนและหลังการติดตั้งตัวควบคุมเชิงทำนายแบบจำลอง 97

ตารางที่ ก.2 แสดงค่าของสมการวัตถุประสงค์ทุกๆ 4 ชั่วโมง ในช่วงก่อนและหลังการติดตั้งตัวควบคุม
 เชิงทำนายแบบจำลอง..... 98



จุฬาลงกรณ์มหาวิทยาลัย
CHULALONGKORN UNIVERSITY

สารบัญภาพ

| | หน้า |
|---|------|
| รูปที่ 2.1 แสดง Block Flow Diagram ของกระบวนการผลิตแก๊สโซลีนไฮโดรจีเนชั่น (GHU) | 3 |
| รูปที่ 2.2 แสดงตัวอย่างปฏิกิริยา Hydrogenation of di-olefins | 5 |
| รูปที่ 2.3 แสดงตัวอย่างปฏิกิริยา Isomerization of olefins | 5 |
| รูปที่ 3.1 แสดงการเปรียบเทียบการควบคุมแบบ SISO กับแบบ MIMO [11] | 14 |
| รูปที่ 3.2 แผนผังการควบคุมกระบวนการของตัวควบคุมเชิงทำนายแบบจำลอง [12]..... | 15 |
| รูปที่ 3.3 แสดงแนววิถีอ้างอิง (Reference Trajectory Specification) [11] | 15 |
| รูปที่ 3.4 แสดงการชดเชยค่าผิดพลาดของตัวแปรควบคุมระหว่างค่าที่วัดได้ จากกระบวนการผลิต จริงกับค่าที่คำนวณได้จากแบบจำลอง [11] | 19 |
| รูปที่ 3.5 แสดงการทำงานของตัวควบคุม RMPCT โดยปรับค่าตัวแปรปรับให้น้อยที่สุด เพื่อให้ได้ ค่าตัวแปรควบคุมที่ตามต้องการ [11] | 20 |
| รูปที่ 4.1 แสดงการเชื่อมต่อระหว่างระบบควบคุมด้วย APC กับระบบควบคุมด้วย DCS..... | 22 |
| รูปที่ 4.2 แสดงแผนผังวิธีการดำเนินวิจัย..... | 23 |
| รูปที่ 4.3 แสดงค่าซัลเฟอร์ในแนพทาตัวเบาที่ได้จาก analyzer (AI3200601)..... | 26 |
| รูปที่ 4.4 (a-h) แสดงความสัมพันธ์ระหว่างปริมาณซัลเฟอร์ในแนพทาตัวเบากับตัวแปรต่างๆ..... | 27 |
| รูปที่ 4.5 แสดงการเปรียบเทียบปริมาณซัลเฟอร์ในแนพทาตัวเบา (AI3200601) กับ ปริมาณซัลเฟอร์ ที่ได้จากสมการทำนายจากอนุกรมที่ชั้นที่ 45 ของหอกลับ (TI3200503)..... | 28 |
| รูปที่ 5.1 (a-b) แสดงระบบการควบคุมหอกลับแยกแนพทาตัวเบา | 36 |
| รูปที่ 5.2 แสดงตัวอย่างการทดสอบแบบสแต็ประหว่างปริมาณแนพทาตัวเบาที่ถูกดึงออกจากหอก กลับ (MV1) กับอัตราส่วนระหว่างปริมาณแนพทาตัวเบาต่อสารป้อนเข้าหอกกลับ (CV2)39 | |
| รูปที่ 5.3 แสดงพฤติกรรมตอบสนองของตัวแปรขาออก CV1เมื่อมีการปรับตัวแปรขาเข้า MV141 | |
| รูปที่ 5.4 แสดงพฤติกรรมตอบสนองของตัวแปรขาออก CV2 เมื่อมีการปรับตัวแปรขาเข้า MV1 | 41 |
| รูปที่ 5.5 แสดงพฤติกรรมตอบสนองของตัวแปรขาออก CV3 เมื่อมีการปรับตัวแปรขาเข้า MV1 | 42 |
| รูปที่ 5.6 แสดงพฤติกรรมตอบสนองของตัวแปรขาออก CV4 เมื่อมีการปรับตัวแปรขาเข้า MV1 | 42 |
| รูปที่ 5.7 แสดงพฤติกรรมตอบสนองของตัวแปรขาออก CV5 เมื่อมีการปรับตัวแปรขาเข้า MV1 | 43 |

| | |
|---|----|
| รูปที่ 5.8 แสดงพฤติกรรม การตอบสนองของตัวแปรขาออก CV6 เมื่อมีการปรับตัวแปรขาเข้า MV1 | 43 |
| รูปที่ 5.9 แสดงพฤติกรรม การตอบสนองของตัวแปรขาออก CV3 เมื่อมีการปรับตัวแปรขาเข้า MV2 | 44 |
| รูปที่ 5.10 แสดงพฤติกรรม การตอบสนองของตัวแปรขาออก CV4 เมื่อมีการปรับตัวแปรขาเข้า MV2 | 44 |
| รูปที่ 5.11 แสดงพฤติกรรม การตอบสนองของตัวแปรขาออก CV3 เมื่อมีการปรับตัวแปรขาเข้า MV3 | 45 |
| รูปที่ 5.12 แสดงพฤติกรรม การตอบสนองของตัวแปรขาออก CV4 เมื่อมีการปรับตัวแปรขาเข้า MV3 | 45 |
| รูปที่ 5.13 แสดงพฤติกรรม การตอบสนองของตัวแปรขาออก CV7 เมื่อมีการปรับตัวแปรขาเข้า MV3 | 46 |
| รูปที่ 5.14 แสดงพฤติกรรม การตอบสนองของตัวแปรขาออก CV8 เมื่อมีการปรับตัวแปรขาเข้า MV3 | 46 |
| รูปที่ 5.15 แสดงพฤติกรรม การตอบสนองของตัวแปรขาออก CV2 | 47 |
| รูปที่ 5.16 แสดงพฤติกรรม การตอบสนองของตัวแปรขาออก CV7 | 47 |
| รูปที่ 5.17 แสดงพฤติกรรม การตอบสนองของตัวแปรขาออก CV6 | 48 |
| รูปที่ 5.18 แสดงกราฟการตอบสนองของกระบวนการ..... | 49 |
| รูปที่ 6.1 แสดงค่าของตัวแปรควบคุม และตัวแปรปรับของแบบจำลอง โดยแบบจำลองสามารถควบคุมหอกลิ้นแยกแนวพาตัวเบาได้ที่สถานะเริ่มต้น เมื่อไม่มีตัวแปรรบกวนเข้ามาในระบบ | 64 |
| รูปที่ 6.2 แสดงแบบจำลองสามารถควบคุมหอกลิ้นแยกแนวพาตัวเบาได้เมื่อมีการปรับปริมาณสารป้อนเข้าหอกลิ้นในชั้นที่ 28 เพิ่มขึ้น 3,600 กิโลกรัมต่อชั่วโมง | 66 |
| รูปที่ 6.3 แสดงแบบจำลองสามารถควบคุมหอกลิ้นแยกแนวพาตัวเบาได้เมื่อมีการปรับปริมาณสารป้อนเข้าหอกลิ้นในชั้นที่ 28 ลดลง 3,600 กิโลกรัมต่อชั่วโมง..... | 68 |
| รูปที่ 6.4 แสดงแบบจำลองสามารถควบคุมหอกลิ้นแยกแนวพาตัวเบาได้เมื่อมีการปรับปริมาณสารป้อนเข้าหอกลิ้นในชั้นที่ 28 เพิ่มขึ้นและลดลงครั้งละ 3,600 กิโลกรัมต่อชั่วโมง..... | 69 |
| รูปที่ 7.1 แสดงความแตกต่างระหว่างตัวควบคุมเชิงทำนายแบบจำลองกับตัวควบคุมแบบพีไอดี.... | 73 |
| รูปที่ 7.2 แสดงการเปรียบเทียบค่าอุณหภูมิที่กันหอกลิ้นที่ได้จากการคำนวณของแบบจำลองกับค่าที่ได้จากอุปกรณ์การวัดที่กระบวนการผลิตจริง..... | 74 |

| | | |
|-------------|--|----|
| รูปที่ 7.3 | แสดงการเปรียบเทียบปริมาณซัลเฟอร์ในเนพทาตัวเบาที่ได้จากการคำนวณของแบบจำลองกับค่าที่ได้จากอุปกรณ์การวัดที่กระบวนการผลิตจริง | 75 |
| รูปที่ 7.4 | แสดงการเปรียบเทียบอัตราส่วนเนพทาตัวเบาต่อสารป้อนเข้าที่ได้จากการคำนวณของแบบจำลองกับค่าที่ได้จากอุปกรณ์การวัดที่กระบวนการผลิตจริง | 75 |
| รูปที่ 7.5 | แสดงการเปรียบเทียบค่าอุณหภูมิที่หอกลับชั้น 14 ที่ได้จากการคำนวณของแบบจำลองกับค่าที่ได้จากอุปกรณ์การวัดที่กระบวนการผลิตจริง | 76 |
| รูปที่ 7.6 | แสดงการเปรียบเทียบระดับเนพทาตัวเบาที่ได้จากการคำนวณของแบบจำลองกับค่าที่ได้จาก อุปกรณ์การวัดที่กระบวนการผลิตจริง..... | 76 |
| รูปที่ 7.7 | แสดงการเปรียบเทียบระดับเนพทาตัวหนักที่ได้จากการคำนวณของแบบจำลองกับค่าที่ได้จากอุปกรณ์การวัดที่กระบวนการผลิตจริง..... | 77 |
| รูปที่ 7.8 | แสดงการเปรียบเทียบอัตราส่วนสารป้อนกลับต่อสารป้อนเข้าที่หอกลับที่ได้จากการคำนวณของแบบจำลองกับค่าที่ได้จากอุปกรณ์การวัดที่กระบวนการผลิตจริง..... | 77 |
| รูปที่ 7.9 | แสดงการเปรียบเทียบระดับของเหลวที่ยอดหอกลับที่ได้จากการคำนวณของแบบจำลองกับค่าที่ได้จากอุปกรณ์การวัดที่กระบวนการผลิตจริง | 78 |
| รูปที่ 7.10 | แสดงการเปรียบเทียบค่าตัวแปรปรับที่ 1 คือปริมาณเนพทาตัวเบาที่ถูกดึงออกจากหอกลับ ในช่วงก่อนและหลังติดตั้งตัวควบคุมเชิงทำนายแบบจำลอง | 80 |
| รูปที่ 7.11 | แสดงการเปรียบเทียบค่าตัวแปรปรับที่ 2 คือปริมาณไอน้ำที่ใช้ให้ความร้อนกับหอกลับ ในช่วงก่อนและหลังติดตั้งตัวควบคุมเชิงทำนายแบบจำลอง | 80 |
| รูปที่ 7.12 | แสดงการเปรียบเทียบค่าตัวแปรปรับที่ 3 คือปริมาณสารป้อนกลับเข้าหอกลับ ในช่วงก่อนและหลังติดตั้งตัวควบคุมเชิงทำนายแบบจำลอง..... | 81 |
| รูปที่ 7.13 | แสดงการเปรียบเทียบค่าตัวแปรควบคุมที่ 1 คือปริมาณซัลเฟอร์ในเนพทาตัวเบาในช่วงก่อนและหลังติดตั้งตัวควบคุมเชิงทำนายแบบจำลอง | 81 |
| รูปที่ 7.14 | แสดงการเปรียบเทียบค่าตัวแปรควบคุมที่ 2 คืออัตราส่วนเนพทาตัวเบาต่อสารป้อนเข้า ในช่วงก่อนและหลังติดตั้งตัวควบคุมเชิงทำนายแบบจำลอง | 82 |
| รูปที่ 7.15 | แสดงการเปรียบเทียบค่าตัวแปรควบคุมที่ 3 คืออุณหภูมิที่ก้นหอกลับ ในช่วงก่อนและหลังติดตั้งตัวควบคุมเชิงทำนายแบบจำลอง | 82 |
| รูปที่ 7.16 | แสดงการเปรียบเทียบค่าตัวแปรควบคุมที่ 4 คืออุณหภูมิในหอกลับชั้นที่ 14 ในช่วงก่อนและหลังติดตั้งตัวควบคุมเชิงทำนายแบบจำลอง..... | 83 |
| รูปที่ 7.17 | แสดงการเปรียบเทียบค่าตัวแปรควบคุมที่ 5 คือระดับของเนพทาตัวเบาในหอกลับ ในช่วงก่อนและหลังติดตั้งตัวควบคุมเชิงทำนายแบบจำลอง | 83 |

| | | |
|-------------|--|----|
| รูปที่ 7.18 | แสดงการเปรียบเทียบค่าตัวแปรควบคุมที่ 6 คือระดับของแนพทาตัวหนักในหอกลิ้น ในช่วงก่อนและหลังติดตั้งตัวควบคุมเชิงทำนายแบบจำลอง | 84 |
| รูปที่ 7.19 | แสดงการเปรียบเทียบค่าตัวแปรควบคุมที่ 7 คืออัตราส่วนสารป้อนกลับต่อสารป้อนเข้า หอกลิ้นในช่วงก่อนและหลังติดตั้งตัวควบคุมเชิงทำนายแบบจำลอง | 84 |
| รูปที่ 7.20 | แสดงการเปรียบเทียบค่าตัวแปรควบคุมที่ 8 คือระดับของเหลวที่ยอดหอกลิ้นในช่วงก่อน และหลังติดตั้งตัวควบคุมเชิงทำนายแบบจำลอง..... | 85 |
| รูปที่ 7.21 | แสดงการเปรียบเทียบค่าตัวแปรรบกวนที่ 1 คือสารป้อนเข้าหอกลิ้นแยกแนพทาตัวเบา ในช่วงก่อนและหลังติดตั้งตัวควบคุมเชิงทำนายแบบจำลอง | 85 |
| รูปที่ 7.22 | แสดงการเปรียบเทียบค่าตัวแปรรบกวนที่ 2 คือปริมาณแนพทาตัวหนักที่ดึงออกจากหอกลิ้น ในช่วงก่อนและหลังติดตั้งตัวควบคุมเชิงทำนายแบบจำลอง | 86 |
| รูปที่ 7.23 | แสดงการเปรียบเทียบอัตราส่วนปริมาณไอน้ำที่หอกลิ้นแยกแนพทาตัวเบาต่อปริมาณสารป้อนเข้าในช่วงก่อนและหลังติดตั้งตัวควบคุมเชิงทำนายแบบจำลอง | 88 |
| รูปที่ 7.24 | แสดงการเปรียบเทียบอัตราส่วนปริมาณไอน้ำทั้งหมดที่ถูกใช้ในกระบวนการผลิตแก๊สโซลีนไฮโดรจีเนชันต่อปริมาณสารป้อนเข้าในช่วงก่อนและหลังติดตั้งตัวควบคุมเชิงทำนายแบบจำลอง | 88 |
| รูปที่ 7.25 | แสดงการเปรียบเทียบปริมาณซัลเฟอร์ของผลิตภัณฑ์แก๊สโซลีนในช่วงก่อนและหลังติดตั้งตัวควบคุมเชิงทำนายแบบจำลอง..... | 89 |
| รูปที่ 7.26 | แสดงการเปรียบเทียบค่าออกเทนัมเบอร์ของผลิตภัณฑ์แก๊สโซลีนในช่วงก่อนและหลังติดตั้งตัวควบคุมเชิงทำนายแบบจำลอง | 89 |
| รูปที่ 7.27 | แสดงการเปรียบเทียบค่าเบนซินในผลิตภัณฑ์แก๊สโซลีนในช่วงก่อนและหลังติดตั้งตัวควบคุมเชิงทำนายแบบจำลอง | 90 |
| รูปที่ 7.28 | แสดงการเปรียบเทียบค่า Diene Value ในผลิตภัณฑ์แก๊สโซลีนในช่วงก่อนและหลังติดตั้งตัวควบคุมเชิงทำนายแบบจำลอง | 90 |
| รูปที่ 7.29 | แสดงการเปรียบเทียบค่าการระเหยในผลิตภัณฑ์แก๊สโซลีนในช่วงก่อนและหลังติดตั้งตัวควบคุมเชิงทำนายแบบจำลอง | 91 |

บทที่ 1

บทนำ

บทนี้จะกล่าวถึงความเป็นมาและความสำคัญในการทำงานวิจัย วัตถุประสงค์ของงานวิจัย ขอบเขตของงานวิจัย ขั้นตอนการดำเนินงานวิจัย และประโยชน์ที่ได้รับจากงานวิจัย

1.1 ความเป็นมาและความสำคัญของงานวิจัย

ปัจจุบันกระบวนการผลิตในอุตสาหกรรมปิโตรเลียมและปิโตรเคมี ได้มีการพัฒนาและปรับปรุงระบบการควบคุมกระบวนการผลิตอย่างต่อเนื่อง ทั้งนี้เพื่อเพิ่มความสามารถในการแข่งขัน โดยการลดต้นทุนพลังงาน เพิ่มประสิทธิภาพการใช้ทรัพยากรที่มีอยู่อย่างจำกัด และตระหนักถึงความสำคัญของปัญหาสิ่งแวดล้อม

บริษัทที่ดำเนินธุรกิจปิโตรเคมีและการกลั่นทุกบริษัทให้ความสำคัญกับการพัฒนา และปรับปรุงกระบวนการผลิตอย่างต่อเนื่อง เพื่อเพิ่มความสามารถในการแข่งขัน ดังตัวอย่างเช่น หน่วยการผลิตแก๊สโซลีนไฮโดรจีเนชัน (Gasoline Hydrogenation Unit, GHU) ถูกปรับปรุงระบบควบคุมกระบวนการผลิต จากการควบคุมแบบสัดส่วนปริพันธ์อนุพันธ์ หรือ พีไอดี (Proportional Integral Derivative, PID) เป็นการควบคุมโดยใช้ตัวควบคุมเชิงทำนายแบบจำลอง (Model Predictive Control, MPC) และในปี 2555 เพื่อให้ผลิตแก๊สโซลีนเป็นไปตามข้อกำหนดของกฎหมายไทย หน่วยผลิตแก๊สโซลีนไฮโดรจีเนชันจึงถูกปรับปรุงกระบวนการผลิตเพื่อกำจัดสารประกอบซัลเฟอร์ในผลิตภัณฑ์แก๊สโซลีนให้มีค่าน้อยกว่า 50 ppm โดยปริมาณสารประกอบซัลเฟอร์ในผลิตภัณฑ์แก๊สโซลีนน้อยกว่า 50 ppm นั้นเป็นไปตามมาตรฐานน้ำมันยูโร 4 ซึ่งการปรับปรุงกระบวนการผลิตครั้งนี้ต้องเพิ่มหน่วยกำจัดซัลเฟอร์ในผลิตภัณฑ์แก๊สโซลีน เพิ่มหอกลิ้นแยกเนพทาตัวเบา และเพิ่มหอกลิ้นแยกสารเบนซีนออกจากผลิตภัณฑ์แก๊สโซลีน จึงทำให้ระบบการควบคุมโดยใช้ตัวควบคุมเชิงทำนายแบบจำลองที่มีอยู่เดิมไม่สามารถควบคุมกระบวนการผลิตแก๊สโซลีนไฮโดรจีเนชันได้

งานวิจัยนี้จึงสร้าง และติดตั้งตัวควบคุมเชิงทำนายแบบจำลองที่หน่วยผลิตแก๊สโซลีนไฮโดรจีเนชัน โดยเลือกสร้างและติดตั้งตัวควบคุมเชิงทำนายแบบจำลองที่หอกลิ้นแยกเนพทาตัวเบาเป็นลำดับแรก เนื่องจากปริมาณไอน้ำที่ถูกใช้ที่หอกลิ้นแยกเนพทาตัวเบาที่มีปริมาณมากที่สุด โดยแบบจำลอง และตัวควบคุมเชิงทำนายแบบจำลองที่สร้างขึ้นต้องสามารถอธิบายพฤติกรรม และควบคุมหอกลิ้นแยกเนพทาตัวเบาได้ และผู้วิจัยจะทำการเปรียบเทียบสมรรถนะการควบคุมกระบวนการผลิตระหว่างตัวควบคุมเชิงทำนายแบบจำลองกับตัวควบคุมแบบพีไอดี โดยการเปรียบเทียบนั้นกระบวนการผลิตต้องอยู่ในสภาวะที่มีขนาดของตัวแปรบววนใกล้เคียงกัน

1.2 วัตถุประสงค์ของงานวิจัย

1. ออกแบบและประยุกต์ใช้ตัวควบคุมเชิงทำนายแบบจำลองที่หอกลิ้นแยกแนวพาตัวเบา สำหรับกระบวนการผลิตแก๊สโซลีนไฮโดรจีเนชั่นที่รองรับมาตรฐานน้ำมันยูโร 4
2. เปรียบเทียบสมรรถนะการควบคุมกระบวนการผลิตที่หอกลิ้นแยกแนวพาตัวเบาก่อนและหลังการประยุกต์ใช้ตัวควบคุมเชิงทำนายแบบจำลอง

1.3 ขอบเขตของงานวิจัย

1. ออกแบบและติดตั้งตัวควบคุมเชิงทำนายแบบจำลองที่หอกลิ้นแยกแนวพาตัวเบา
2. ควบคุมหอกลิ้นแยกแนวพาตัวเบาโดยใช้ตัวควบคุมเชิงทำนายแบบจำลองที่สร้างขึ้น
3. เปรียบเทียบสมรรถนะการควบคุมกระบวนการผลิตที่หอกลิ้นแยกแนวพาตัวเบาระหว่างตัวควบคุมเชิงทำนายแบบจำลองกับตัวควบคุมแบบพีไอดี โดยการเปรียบเทียบนั้นกระบวนการผลิตต้องอยู่ในสภาวะที่มีขนาดของตัวแปรรอบวงใกล้เคียงกัน คือปริมาณสารป้อนเข้าหอกลิ้นแยกแนวพาตัวเบาต้องมีค่าใกล้เคียงกัน
4. เปรียบเทียบ และคำนวณต้นทุนการใช้ไอน้ำที่หอกลิ้นแยกแนวพาตัวเบา

1.4 ประโยชน์ที่คาดว่าจะได้รับ

1. สามารถควบคุมกระบวนการผลิตที่หอกลิ้นแยกแนวพาตัวเบาได้อย่างมีประสิทธิภาพด้วยตัวควบคุมเชิงทำนายแบบจำลอง
2. เพิ่มความสามารถในการแข่งขัน ลดต้นทุนไอน้ำ และเพิ่มประสิทธิภาพการใช้ทรัพยากรของหน่วยผลิตแก๊สโซลีนไฮโดรจีเนชั่น

บทที่ 2 ทฤษฎีและงานวิจัยที่เกี่ยวข้อง

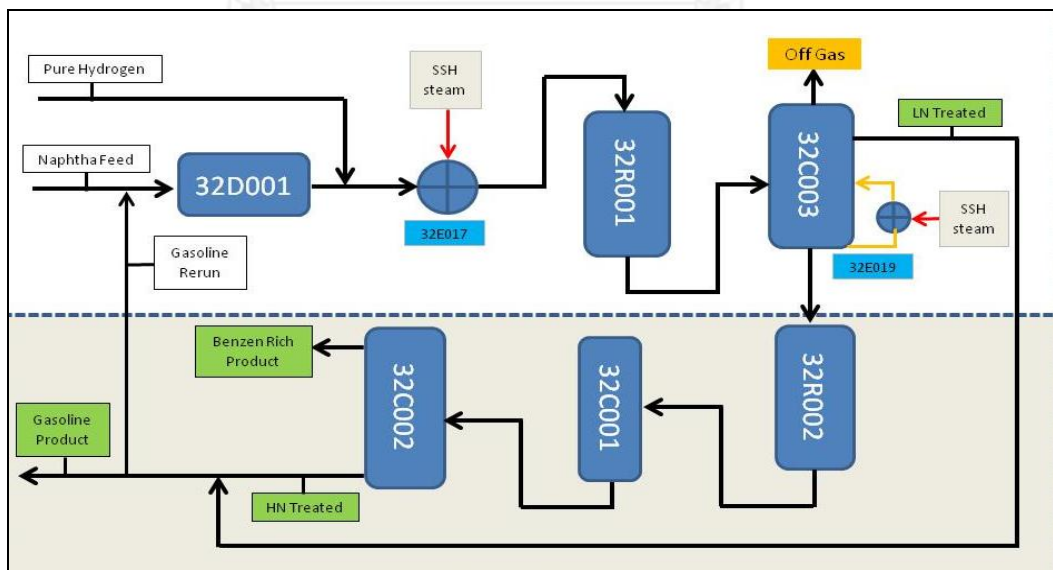
บทนี้จะกล่าวถึงกระบวนการผลิตแก๊สโซลีนไฮโดรจีเนชั่น (GHU) และงานวิจัยที่เกี่ยวข้องกับการประยุกต์ใช้ตัวควบคุมเชิงทำนายกับกระบวนการผลิตจริง

2.1 กระบวนการผลิตแก๊สโซลีนไฮโดรจีเนชั่น (GHU)

ในหัวข้อนี้จะกล่าวถึงภาพรวมกระบวนการผลิตแก๊สโซลีนไฮโดรจีเนชั่น (GHU) โดยจะเน้นในรายละเอียดของกระบวนการผลิตที่อยู่ในขอบเขตของงานวิจัยซึ่งได้แก่ หอกลิ้นแยกแฉกพาตัวเบา (32C003)

2.1.1 ภาพรวมกระบวนการผลิตแก๊สโซลีนไฮโดรจีเนชั่น (GHU)

กระบวนการผลิตแก๊สโซลีนไฮโดรจีเนชั่น (GHU) มีวัตถุประสงค์หลักคือ ลดปริมาณสารประกอบซัลเฟอร์ และลดปริมาณสารเบนซีนที่อยู่ในน้ำมันแก๊สโซลีน เพื่อให้ได้ผลิตภัณฑ์น้ำมันแก๊สโซลีนผ่านมาตรฐานน้ำมันยูโร 4 โดย Block Flow Diagram ของกระบวนการผลิตสามารถแสดงดังรูปที่ 2.1



รูปที่ 2.1 แสดง Block Flow Diagram ของกระบวนการผลิตแก๊สโซลีนไฮโดรจีเนชั่น (GHU)

จากรูปที่ 2.1 น้ำมันแก๊สโซลีนที่เกิดจากปฏิกิริยาการแตกตัวด้วยแคสตาลิสต์ของน้ำมันหนัก ถูกส่งมาถึงถังพัก (32D001) เพื่อส่งป้อนต่อเข้าที่หน่วยการเกิดปฏิกิริยาไฮโดรจีเนชัน (32R001) เกิดปฏิกิริยาไฮโดรจีเนชันเปลี่ยนพันธะคู่ 2 คู่ (di-olefins) ให้เหลือพันธะคู่เพียง 1 คู่ (olefins) และเปลี่ยนสารประกอบซัลเฟอร์ให้มีขนาดโมเลกุลใหญ่ขึ้น จากนั้นส่งไปยังหอกลั่นแยกเนพทาตัวเบา (32C003) เพื่อแยกเนพทาตัวเบาออก (Light Naphtha) และส่งเนพทาตัวหนัก (Heavy Naphtha) ไปที่หน่วยการเกิดปฏิกิริยาที่ 2 (32R002) เกิดปฏิกิริยาไฮโดรจีเนชันเพื่อกำจัดสารประกอบซัลเฟอร์ จากนั้นส่งไปยังหอกลั่นแยกสารไฮโดรเจนซัลไฟด์ (32C001) เพื่อแยกไฮโดรเจนซัลไฟด์ออกจากเนพทาตัวหนัก และเนพทาตัวหนักถูกส่งต่อไปยังหอกลั่นแยกสาร เบนซีนออกจากเนพทาตัวหนัก (32C002) จากนั้นนำเนพทาตัวเบาผสมรวมกับเนพทาตัวหนักแล้วส่งต่อไปผสมเพื่อขายเป็นน้ำมันแก๊สโซลีนเกรดต่างๆ

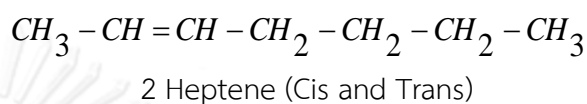
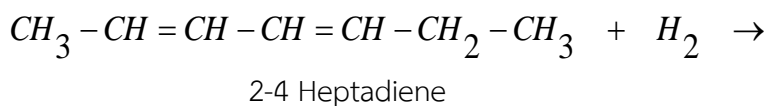
2.1.2 ถังพักสารป้อนเข้ากระบวนการผลิต (32D001)

ถังพักสารป้อนเข้ากระบวนการผลิต (32D001) มีหน้าที่สำรองน้ำมันแก๊สโซลีนเพื่อเป็นสารป้อนเข้าในกระบวนการผลิต โดยมีจุดประสงค์เพื่อลดผลกระทบจากการรบกวนของการเปลี่ยนแปลงอัตราการไหลของน้ำมันแก๊สโซลีนไปยังหน่วยผลิตถัดไป ถังพักนี้รับน้ำมันแก๊สโซลีนที่เกิดจากปฏิกิริยาการแตกตัวด้วยแคสตาลิสต์ของน้ำมันหนักจากหน่วยผลิตต้นทางแล้วส่งน้ำมันแก๊สโซลีนดังกล่าวเข้าหน่วยการเกิดปฏิกิริยาไฮโดรจีเนชัน (32R001) ด้วยปั๊ม โดยมีการควบคุมอัตราการไหลของน้ำมันแก๊สโซลีนแบบเข้มงวดเพื่อลดผลกระทบจากการรบกวนของการเปลี่ยนแปลงอัตราการไหล และควบคุมระดับน้ำมันในถังพัก (32D001) แบบเฉลี่ย [1]

2.1.3 หน่วยการเกิดปฏิกิริยาไฮโดรจีเนชัน (32R001)

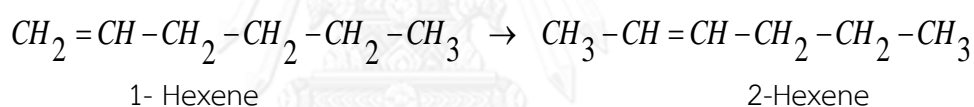
หน่วยการเกิดปฏิกิริยาไฮโดรจีเนชัน (32R001) มีหน้าที่เปลี่ยนพันธะคู่ 2 คู่ (di-olefins) ให้เหลือพันธะคู่เพียง 1 คู่ (olefins) เพื่อให้ผลิตภัณฑ์น้ำมันแก๊สโซลีนมีความเสถียรมากขึ้น และหลีกเลี่ยงการเกิดปฏิกิริยาคายความร้อนที่มากเกินไปในหน่วยการเกิดปฏิกิริยาไฮโดรจีเนชันเพื่อกำจัดสารประกอบซัลเฟอร์ที่หน่วยผลิตถัดไป และยังมีหน้าที่เปลี่ยนสารประกอบซัลเฟอร์ให้มีขนาดโมเลกุลใหญ่ขึ้น โดยปฏิกิริยาทั้งหมดเกิดในสถานะของเหลวที่อุณหภูมิ 140-180 องศาเซลเซียส ความดัน 26 bar และมีการป้อนไฮโดรเจนให้เพียงพอต่อการปฏิกิริยาโดยการควบคุมปริมาณไฮโดรเจนต่อสารป้อนเข้า โดยมีปฏิกิริยาที่สำคัญดังนี้

- ปฏิกิริยาไฮโดรจีเนชันของไดโอเลฟิน (Hydrogenation of di-olefins) เป็นปฏิกิริยาคายความร้อนโดยตัวอย่างปฏิกิริยาแสดงดังรูปที่ 2.2



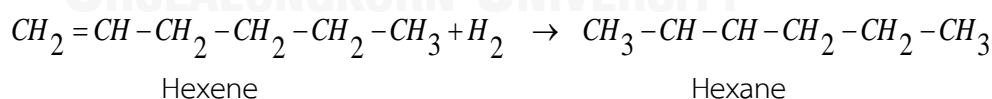
รูปที่ 2.2 แสดงตัวอย่างปฏิกิริยา Hydrogenation of di-olefins

- ปฏิกิริยาไอโซเมอไรเซชันของโอเลฟิน (Isomerization of olefins) ปฏิกิริยานี้เพิ่มค่าออกเทนนิมเบอร์ให้กับน้ำมันแก๊สโซลีน โดยเกิดที่อุณหภูมิต่ำกว่า 200 องศาเซลเซียส ตัวอย่างปฏิกิริยา Isomerization of olefins แสดงดังรูปที่ 2.3



รูปที่ 2.3 แสดงตัวอย่างปฏิกิริยา Isomerization of olefins

- ปฏิกิริยาไฮโดรจีเนชันของโอเลฟิน (Hydrogenation of olefins) เป็นปฏิกิริยาที่ไม่อยากให้เกิดขึ้น เพราะปฏิกิริยานี้ทำให้ค่าออกเทนนิมเบอร์ของผลิตภัณฑ์แก๊สโซลีนลดลง โดยปฏิกิริยาไฮโดรจีเนชันของไดโอเลฟินเกิดขึ้นได้เร็วกว่าปฏิกิริยาไฮโดรจีเนชันของโอเลฟิน



รูปที่ 2.4 แสดงตัวอย่างปฏิกิริยา Hydrogenation of olefins

- ปฏิกิริยาเปลี่ยนสารประกอบซัลเฟอร์ให้มีขนาดโมเลกุลใหญ่ขึ้น (Sulfur reaction) ในน้ำมันแก๊สโซลีนที่เกิดจากปฏิกิริยาการแตกตัวด้วยแคตตาลิสต์ของน้ำมันหนักจะมีองค์ประกอบของสารประกอบซัลเฟอร์ตัวเบา เช่น เมอร์แคปแทน (Mercaptans, RSH) สารประกอบซัลเฟอร์ตัวเบาจะถูกเปลี่ยนให้เป็นสารประกอบซัลเฟอร์ที่มีขนาดโมเลกุลใหญ่

ขึ้น โดยตัวอย่างปฏิกิริยา conversion of Light Mercaptans to Heavier Sulfides แสดงดังรูปที่ 2.5 และตัวอย่างปฏิกิริยา conversion of H₂S to Heavier Mercaptans แสดงดังรูปที่ 2.6



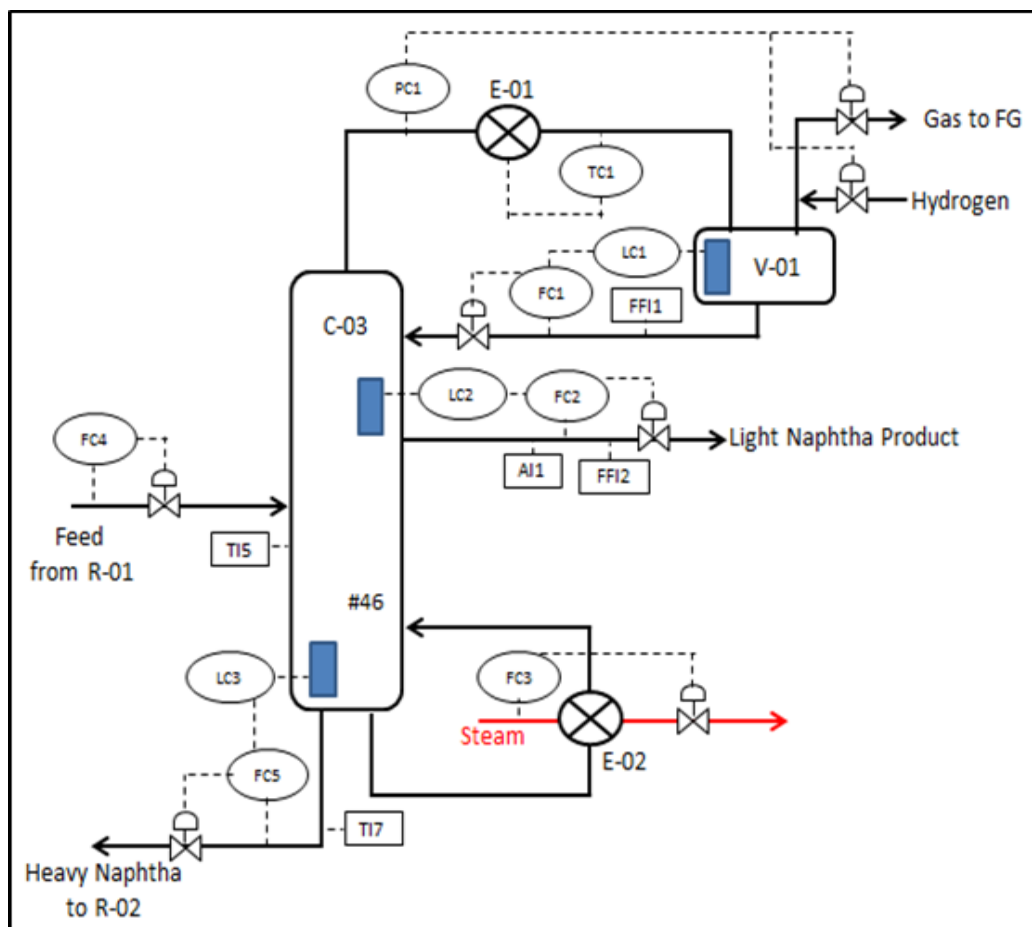
รูปที่ 2.5 แสดงตัวอย่างปฏิกิริยา conversion of Light Mercaptans to Heavier Sulfides



รูปที่ 2.6 แสดงตัวอย่างปฏิกิริยา conversion of H₂S to Heavier Mercaptans

2.1.4 หอกลั่นแยกแฉกนพทาตัวเบา (32C003)

หอกลั่นแยกแฉกนพทาตัวเบาใช้น้ำมันแก๊สโซลีนที่ผ่านหน่วยการเกิดปฏิกิริยาไฮโดรจีเนชัน (32R001) โดยมีหน้าที่แยกน้ำมันแก๊สโซลีนออกเป็นสองส่วนได้แก่ แฉกนพทาตัวเบา (Light Naphtha) และแฉกนพทาตัวหนัก (Heavy Naphtha) โดยแฉกนพทาตัวเบาปริมาณสารประกอบซัลเฟอร์น้อยและมีปริมาณโอเลฟินสูง จึงไม่จำเป็นต้องเข้าหน่วยการเกิดปฏิกิริยา Hydrodesulphurization เพื่อกำจัดสารประกอบซัลเฟอร์ ดังนั้นแฉกนพทาตัวเบาจึงถูกแยกออกจากแฉกนพทาตัวหนักก่อน โดยมีไอน้ำเป็นตัวให้ความร้อนผ่านทางเครื่องแลกเปลี่ยนความร้อน แก๊สเบาและไอของแฉกนพทาเบาจะลอยขึ้นด้านบนของหอกลั่น และถูกควบแน่นกลายเป็นของเหลวที่เครื่องแลกเปลี่ยนความร้อน และถูกสะสมในถังเก็บที่ยอดหอ แก๊สเบาที่ไม่สามารถควบแน่นถูกส่งไปใช้เป็นเชื้อเพลิงในโรงกลั่น แฉกนพทาตัวเบาถูกแยกออกจากน้ำ และส่งแฉกนพทาตัวเบาทั้งหมดเป็นสารป้อนกลับเข้าหอกลั่นที่ยอดหอ ส่วนน้ำถูกส่งไปบำบัด โดยผลิตภัณฑ์แฉกนพทาตัวเบาถูกแยกออกที่ชั้นที่ 7 ของหอกลั่น โดยมีเครื่องวิเคราะห์หาปริมาณสารประกอบซัลเฟอร์ในแฉกนพทาเบา (online analyzer) เพื่อควบคุมปริมาณซัลเฟอร์ไม่ให้เกิน 20 ppm ส่วนแฉกนพทาหนักถูกแยกออกที่ด้านล่างของหอกลั่น เพื่อส่งไปกำจัดซัลเฟอร์ที่หน่วยผลิตถัดไป และสามารถแสดงการควบคุมหอกลั่นแยกแฉกนพทาตัวเบา ดังรูปที่ 2.7



รูปที่ 2.7 แสดงการควบคุมหอกลิ้นแยกแนพทาตัวเบา

2.1.5 หน่วยการเกิดปฏิกิริยา Hydrodesulphurization (32R002)

หน่วยการเกิดปฏิกิริยา Hydrodesulphurization มีหน้าที่กำจัดสารประกอบซัลเฟอร์ที่อยู่ในแนพทาตัวหนัก โดยการเปลี่ยนสารประกอบซัลเฟอร์ที่อยู่ในแนพทาตัวหนักให้อยู่ในรูปของไฮโดรเจนซัลไฟด์ (H_2S) และไฮโดรเจนซัลไฟด์จะถูกแยกออกจากแนพทาตัวหนักที่หอกลิ้นแยกไฮโดรเจนซัลไฟด์

2.1.6 หอกลิ้นแยกไฮโดรเจนซัลไฟด์ (32C001)

หอกลิ้นแยกไฮโดรเจนซัลไฟด์ มีหน้าที่แยกสารไฮโดรเจนซัลไฟด์ที่เกิดจากการทำปฏิกิริยาออกจากแนพทาตัวหนัก โดยไฮโดรเจนซัลไฟด์จะถูกแยกที่ด้านบนของหอกลิ้น และถูกส่งไปเปลี่ยนรูปให้อยู่ในรูปของซัลเฟอร์เหลว ส่วนแนพทาหนักถูกแยกออกที่ก้นหอ และถูกส่งไปที่หอกลิ้นแยกเบนซีน

2.1.7 หอกลิ้นแยกเบนซีน (32C002)

หอกลิ้นแยกเบนซีนมีหน้าที่แยกเบนซีนออกจากเนฟทาหนักเพื่อให้ได้ผลิตภัณฑ์น้ำมันแก๊สโซลีนผ่านตามมาตรฐานน้ำมันยูโร 4 โดยเบนซีนจะถูกแยกออกที่ด้านบนของหอกลิ้น และถูกส่งไปที่หน่วยผลิตเบนซีน โทลูอิน ไซลีน (BTX Unit) ส่วนเนฟทาหนักถูกแยกออกที่ก้นหอแล้วส่งไปรวมกับเนฟทาตัวเบา เพื่อนำไปผสมกับน้ำมันชนิดอื่นๆ ในโรงกลั่น เพื่อให้ผลิตภัณฑ์น้ำมันแก๊สโซลีนผ่านตามข้อกำหนดของกฎหมาย และส่งขายเป็นน้ำมันแก๊สโซลีนเกรดต่างๆ

2.1.8 ข้อจำกัดของกระบวนการผลิตแก๊สโซลีนไฮโดรจีเนชั่น (GHU)

กระบวนการผลิตแก๊สโซลีนไฮโดรจีเนชั่นถูกออกแบบภายใต้ข้อจำกัด (constraint) สามารถแสดงดังตารางที่ 2.1

ตารางที่ 2.1 แสดงข้อจำกัดของกระบวนการผลิตแก๊สโซลีนไฮโดรจีเนชั่น

| ตัวแปร | หน่วย | ข้อจำกัด |
|--|---------|--------------|
| ปริมาณสารป้อนเข้าสูงสุด | Ton/hr. | 38.0 |
| ปริมาณสารป้อนเข้าต่ำสุด | Ton/hr. | 30.0 |
| ปริมาณสารประกอบซัลเฟอร์ในสารป้อนเข้าสูงสุด | ppm | 200 |
| ปริมาณเบนซีนในสารป้อนเข้าสูงสุด | wt. % | 2.5 |
| ปริมาณสารประกอบซัลเฟอร์ในผลิตภัณฑ์แก๊สโซลีนสูงสุด | ppm | 15 |
| ปริมาณเบนซีนในผลิตภัณฑ์แก๊สโซลีนสูงสุด | Vol. % | 1.0 |
| การสูญเสียค่าออกเทนัมเบอร์ระหว่างสารป้อนเข้ากับผลิตภัณฑ์ | - | น้อยกว่า 2.4 |
| การระเหย (RVP) ของผลิตภัณฑ์แก๊สโซลีนสูงสุด | Psia | 9.3 |

2.2 งานวิจัยที่เกี่ยวข้องกับการประยุกต์ใช้ตัวควบคุมเชิงทำนายกับกระบวนการผลิตจริง

ในส่วนของการทบทวนงานวิจัยที่เกี่ยวข้องกับการประยุกต์ใช้ตัวควบคุมเชิงทำนายกับกระบวนการผลิตจริงจะถูกแบ่งออกเป็น 2 ส่วน ได้แก่

1. งานวิจัยที่เกี่ยวกับการควบคุมเชิงทำนายแบบจำลองที่นำมาประยุกต์ใช้ในอุตสาหกรรม
2. การพัฒนาตัวควบคุมเชิงทำนายแบบจำลองที่นำมาประยุกต์ใช้ในอุตสาหกรรม

2.2.1 งานวิจัยที่เกี่ยวกับการควบคุมเชิงทำนายแบบจำลองที่นำมาประยุกต์ใช้ในอุตสาหกรรม

Berna Haktanir, Merve Aygün and Dila Gokce Kuzu [2] ได้ประยุกต์ใช้การควบคุมแบบ Model Predictive Control (MPC) ที่หน่วยกำจัดการประกอบซัลเฟอร์ในน้ำมันแก๊สโซลีนที่โรงกลั่น Izmit ในประเทศตุรกี โดยมีจุดประสงค์ของการควบคุม คือสามารถควบคุมสารประกอบซัลเฟอร์ในน้ำมันแก๊สโซลีนได้อย่างแม่นยำ และลดการสูญเสียค่าออกเทนัมเบอร์ในผลิตภัณฑ์น้ำมันแก๊สโซลีน โดยแบบจำลองได้จากการทดสอบแบบสแต็ปที่กระบวนการผลิตจริง และแบบจำลองถูกสร้างและควบคุมด้วยเทคโนโลยี Shell Multivariable Optimization Controller (SMOCCPro)

R.M. Ansari and M.O Tade [3] ได้ประยุกต์ใช้การควบคุมแบบจำลองเจนเนริก (Generic Model Control, GMC) ที่หอกลั่นแยกบิวเทน (debutanizer distillation column) โดยมีจุดประสงค์ของการควบคุม คือควบคุมคุณภาพของผลิตภัณฑ์ให้เป็นไปตามข้อกำหนด และมีการหาความสัมพันธ์ของอุณหภูมิ ความดัน เพื่อทำนายคุณภาพของผลิตภัณฑ์ (inferential model) มาประยุกต์ใช้ร่วมด้วย ซึ่งเมื่อนำผลการควบคุมมาเปรียบเทียบกับ การควบคุมแบบพีไอดี (Proportional Integral Derivative, PID) สรุปได้ว่าการควบคุมแบบ GMC สามารถควบคุมคุณภาพของผลิตภัณฑ์ให้เป็นไปตามข้อกำหนดได้ดีกว่า

Morten Hovd, Rune Michaelsen and Tomas Montin [4] ได้ประยุกต์ใช้การควบคุมแบบไดนามิกเมตริกซ์ (Dynamic Matrix Control, DMC) ที่หอกลั่นสุญญากาศ (vacuum distillation column) ของโรงกลั่น Nynashamn โดยมีจุดประสงค์ของการควบคุม คือเพิ่มกำลังการผลิต เพิ่มผลิตภัณฑ์ที่ต้องการ และลดการใช้พลังงาน ซึ่งเมื่อนำผลการควบคุมมาเปรียบเทียบกับ การควบคุมแบบแมนวล (manual) สรุปได้ว่าสามารถควบคุมกระบวนการผลิตหอกลั่นสุญญากาศ และลด standard deviation โดยการควบคุมแบบ D-MPC จึงทำให้สามารถเพิ่มกำลังการผลิต เพิ่มผลิตภัณฑ์ที่ต้องการ และลดการใช้พลังงาน รวมไปถึงสามารถควบคุมคุณภาพของผลิตภัณฑ์ให้เป็นไปตามข้อกำหนดได้ดีกว่า

C.R. Porfirio, E. Almeida Neto and D. Odloak [5] ได้ประยุกต์ใช้การควบคุมแบบมัลติโมเดล (Muti-Model Predictive Control, MMPC) ที่หอกลั่นแยกโพรแพน (depropanizer distillation column) ของโรงกลั่น Cubatao ในประเทศบราซิล โดยมีจุดประสงค์ของการควบคุม คือเปรียบเทียบสมรรถนะของการควบคุมแบบ MMPC ที่มีสมการเส้นตรง 6 สมการแตกต่างกันตามช่วงของการควบคุมการผลิต กับการควบคุมแบบ MPC ดั้งเดิมซึ่งมีสมการเส้นตรงเพียงสมการเดียว สรุปได้ว่าการควบคุมแบบ MMPC สามารถควบคุมหอกลั่นแยกโพรแพน (depropanizer column) ได้ดีกว่า แต่ข้อเสียของการควบคุมแบบ MMPC คือใช้เวลาในการคำนวณที่มากกว่า

Mihaela Iancu, Mircea V. Cristea and Paul Serban Agachi [6, 7] ได้ประยุกต์ใช้การควบคุมแบบ Model Predictive Control (MPC) ที่หอกลั่น mainfractionator column ในหน่วย

ผลิต Fluid Catalytic Cracking (FCC) ของโรงกลั่นในประเทศโรมาเนีย โดยมีจุดประสงค์ของการควบคุม คือการควบคุมหอกลิ้น mainfractionator column ให้มีเสถียรภาพ และลดค่าใช้จ่ายในการควบคุมกระบวนการผลิต โดยการใช้พลังงานให้คุ้มค่าที่สุด (heat integration) ซึ่งเมื่อนำผลการควบคุมมาเปรียบเทียบกับ การควบคุมแบบพีไอดี (Proportional Integral Derivative, PID) สรุปได้ว่าการควบคุมแบบ MPC สามารถควบคุมหอกลิ้น mainfractionator column ให้มีเสถียรภาพ และลดค่าใช้จ่ายในการควบคุมกระบวนการผลิตได้ดีกว่า และมากไปกว่านั้นเมื่อคุณภาพของวัตถุดิบที่เข้าหน่วย FCC เปลี่ยนไป การควบคุมโดย MPC ยังสามารถควบคุมหอกลิ้น main fractionator column ให้มีเสถียรภาพได้ดีกว่าการควบคุมโดย PID จึงทำให้สามารถเพิ่มกำลังการผลิตของหน่วย FCC

C.R. Porfirio and D. Odloak [8] ได้ประยุกต์ใช้การควบคุมแบบ Model Predictive Control (MPC) ร่วมกับการทำออปติไมซ์บนพื้นฐาน quadratic program ที่หอกลิ้นแยกโทลูอิน (toluene distillation column) ของโรงกลั่น Petrobras ในประเทศบราซิล โดยมีจุดประสงค์ของการควบคุม คือเพิ่มกำลังการผลิต เพิ่มผลิตภัณท์ที่ต้องการและลดการใช้พลังงาน โดยยังคงสามารถควบคุมคุณภาพของผลิตภัณท์ให้เป็นไปตามข้อกำหนด

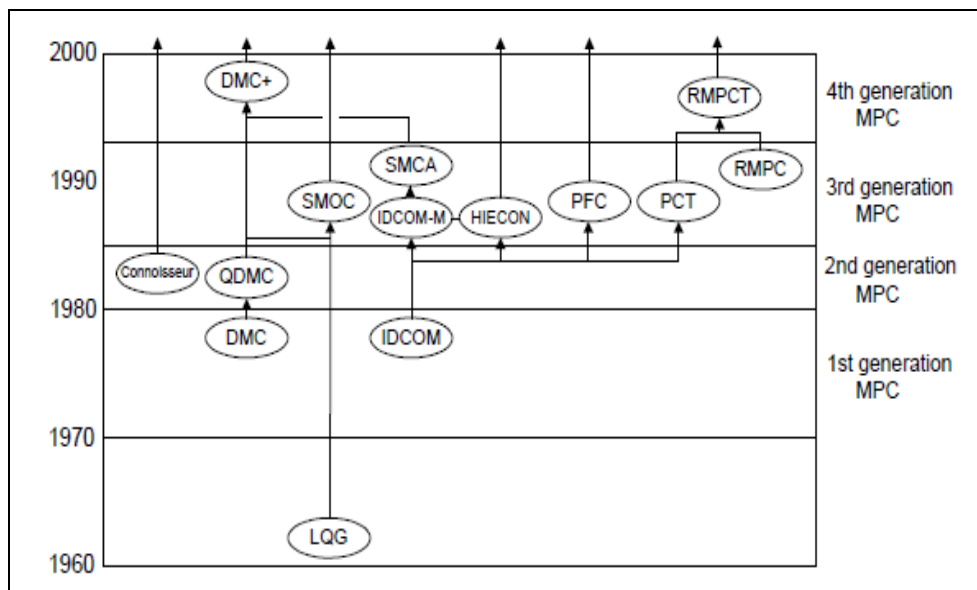
V. Yadav, P. Dube, H. Shah and S. Debnath [9] ได้ประยุกต์ใช้ตัวควบคุมเชิงทำนายแบบจำลองร่วมกับการทำออปติไมซ์ที่หน่วยกำจัดสารประกอบซัลเฟอร์ของผลิตภัณท์แก๊สโซลีน (desulfurization of gasoline) ของโรงกลั่น Mathura refinery ในประเทศอินเดีย โดยมีจุดประสงค์ของการควบคุม คือควบคุมปริมาณสารประกอบซัลเฟอร์ในผลิตภัณท์แก๊สโซลีนให้ใกล้เคียงข้อกำหนดมากที่สุด ควบคุมค่าออกเทนนัมเบอร์ให้ลดลงน้อยที่สุด และลดการใช้ไอน้ำที่หอกลิ้นแยกแก๊สโซลีน โดยมีสองตัวควบคุมเชิงทำนายแบบจำลอง เพื่อควบคุมหน่วยการเกิดปฏิกิริยาในการปรับปรุงผลิตภัณท์แก๊สโซลีนให้มีเสถียรภาพสูงขึ้น และหน่วยการเกิดปฏิกิริยากำจัดสารประกอบซัลเฟอร์

2.2.2 การพัฒนาตัวควบคุมเชิงทำนายแบบจำลองที่นำมาประยุกต์ใช้ในอุตสาหกรรม

S. Joe Qin and Thomas A. Badgwell [10] ได้เก็บข้อมูลการพัฒนาอัลกอริธึมที่เป็นแบบเชิงเส้นของการควบคุมเชิงทำนายแบบจำลองที่ได้นำมาประยุกต์ใช้ในอุตสาหกรรม โดยแสดงการพัฒนาอัลกอริธึมที่เป็นแบบเชิงเส้นได้ดังรูปที่ 2.8 จากรูปจะเห็นว่าตัวควบคุมเชิงทำนายแบบจำลอง (MPC) ที่ใช้ในอุตสาหกรรมถูกพัฒนาอย่างต่อเนื่องทั้งการควรวรรณบริษัทต่างๆ เพื่อเสริมจุดเด่นในด้านเทคโนโลยีเข้าด้วยกัน รวมถึงง่ายต่อการทำการตลาดซึ่งในปัจจุบันมี 3 บริษัทที่มีส่วนแบ่งทางการตลาดสูงสุด คือ

1. DMC-plus เป็นเทคโนโลยีของบริษัท Aspen Technology

2. Robust Multivariable Predictive Control Technology (RMPCT) เป็นเทคโนโลยีของบริษัท Honeywell
3. Shell Multivariable Optimization Controller (SMOCPro) เป็นเทคโนโลยีของบริษัท Yokogawa ที่พัฒนาร่วมกับบริษัท Shell



รูปที่ 2.8 การพัฒนาอัลกอริทึมที่เป็นแบบเชิงเส้น (Linear MPC Algorithms) [10]

ตัวควบคุมเชิงทำนายแบบจำลอง (MPC) ที่ใช้ในอุตสาหกรรมได้ถูกพัฒนาอย่างต่อเนื่อง โดยมี DMC-plus ของบริษัท Aspen Technology และ RMPCT ของบริษัท Honeywell เป็นเทคโนโลยีล่าสุด (fourth generation) ซึ่งมีการพัฒนาฟังก์ชันที่สำคัญเพิ่มเติม ดังนี้

1. ออกแบบให้ง่ายสำหรับผู้ปฏิบัติงานในการเข้าถึงข้อมูลต่างๆ ของตัวควบคุมเชิงทำนายแบบจำลอง โดยสามารถเข้าผ่านทางวินโดว์เบส
2. มีหลายระดับในการทำอปติไมซ์ เพื่อให้การควบคุมเป็นไปตามวัตถุประสงค์
3. ง่ายสำหรับผู้ปฏิบัติงานในการเพิ่ม หรือปรับเปลี่ยนการทำอปติไมซ์ เพื่อให้การควบคุมเป็นไปตามวัตถุประสงค์
4. ตัวควบคุมมีเสถียรภาพ

บทที่ 3

ตัวควบคุมกระบวนการที่ใช้ในงานวิจัย

บทนี้จะนำเสนอความรู้พื้นฐานของตัวควบคุมแบบพีไอดี และตัวควบคุมเชิงทำนายแบบจำลองซึ่งตัวควบคุมทั้งสองชนิดเป็นตัวควบคุมสำคัญที่ถูกใช้ในอุตสาหกรรม และถูกใช้เพื่อการเปรียบเทียบในงานวิจัยนี้ และส่วนสุดท้ายจะนำเสนอความรู้พื้นฐานของ Robust Multivariable Predictive Control Technology, RMPCT

3.1 ตัวควบคุมแบบพีไอดี (PID Controller)

ตัวควบคุมแบบพีไอดี มีเป้าหมายเพื่อลดค่าความผิดพลาด (Error, $e(t)$) ให้เป็นศูนย์ โดยมีเอาต์พุตของตัวควบคุมไปสั่งปรับอุปกรณ์ควบคุมขั้นสุดท้าย เพื่อให้ค่าของตัวแปรควบคุมเท่ากับค่าเป้าหมาย ถูกแสดงดังสมการที่ 3.1

$$e(t) = R(t) - B(t) \quad (3.1)$$

เมื่อ $e(t)$ คือ ค่าความผิดพลาดของการควบคุม (Error)
 $R(t)$ คือ ค่าเป้าหมาย (Set point)
 $B(t)$ คือ ค่าของตัวแปรควบคุม (Controlled Variable) ที่วัดได้

เอาต์พุตของตัวควบคุมถูกคำนวณมาจาก 3 ส่วน ประกอบด้วย สัดส่วนหรือพี (Proportional, P) ปริพันธ์หรือไอ (Integral, I) และอนุพันธ์หรือดี (Derivative, D) โดยเอาต์พุตของตัวควบคุมเป็นไปตามสมการต่อไปนี้

$$p(t) = p + K_c e(t) + \frac{1}{\tau_i} \int e(t) dt + \tau_D \frac{de(t)}{dt} \quad (3.2)$$

เมื่อ $p(t)$ คือ เอาต์พุตของตัวควบคุม
 p คือ ค่าเบี่ยงเบน หรือค่าเอาต์พุตตัวควบคุมที่สถานะอยู่ตัว
 K_c คือ อัตราการขยายตัวควบคุม (Controller Gain)
 τ_i คือ เวลาปริพันธ์ (Integral Time) หรือ เวลารีเซต (Reset Time)
 τ_D คือ เวลาอนุพันธ์ (Derivative, Time)

ค่าอัตราการขยายตัวควบคุม (K_c) จะใช้เพื่อปรับค่าเอาต์พุตของตัวควบคุมให้เปลี่ยนแปลงตามต้องการ โดยจะนำไปคูณกับค่าความผิดพลาด (Error, $e(t)$) โดยทั่วไป K_c จะไม่มีหน่วย

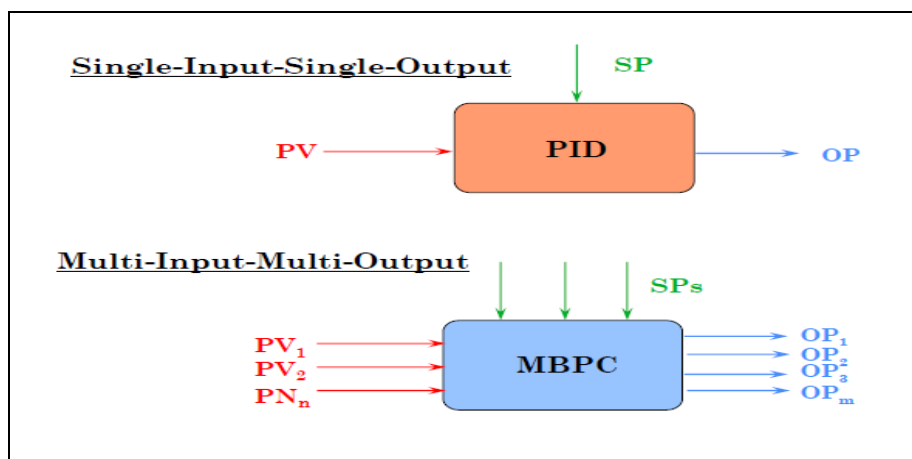
เวลาปริพันธ์ (τ_I) หรือเวลารีเซต จะใช้เพื่อลดค่าความผิดพลาด (Error, $e(t)$) โดยมีเป้าหมายให้ค่าความผิดพลาดเท่ากับศูนย์ และทำให้ผลการตอบสนองของตัวควบคุมจะช้าลงและมีการแกว่งตัวทำให้เสถียรภาพลดลง

เวลาอนุพันธ์ (τ_D) จะใช้เพื่อเร่งให้ผลตอบสนองเข้าสู่ค่าเป้าหมายได้เร็วขึ้น แต่ไม่ควรนำไปประยุกต์ใช้ในระบบที่มีสัญญาณรบกวน (noise) เพราะจะทำให้ค่าเอาต์พุตของตัวควบคุมแกว่งมาก

3.2 ตัวควบคุมเชิงทำนายแบบจำลอง (Model Predictive Control)

ปัจจุบันการควบคุมกระบวนการผลิตในอุตสาหกรรมปิโตรเลียมและปิโตรเคมี ได้มีการพัฒนาและปรับปรุงระบบการควบคุมกระบวนการผลิตให้มีความซับซ้อนมากยิ่งขึ้น ทั้งนี้เพื่อเพิ่มความสามารถในการแข่งขัน โดยการควบคุมคุณภาพของผลิตภัณฑ์ให้ตอบสนองความต้องการของลูกค้า ลดต้นทุนพลังงาน โดยการเพิ่มประสิทธิภาพการใช้ทรัพยากรที่มีอยู่อย่างจำกัด และตระหนักถึงความสำคัญของปัญหาสิ่งแวดล้อม

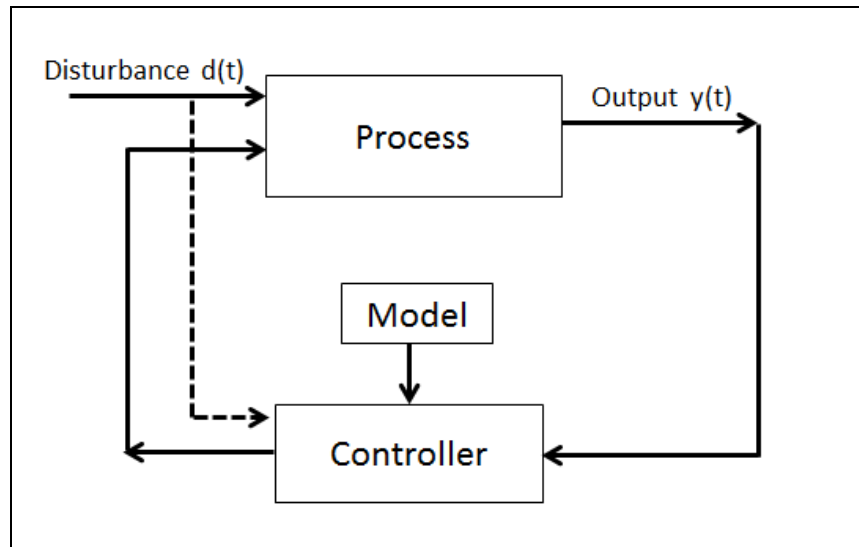
กระบวนการผลิตในอุตสาหกรรมปิโตรเลียมและปิโตรเคมีส่วนใหญ่จะมีตัวแปรควบคุมหลายตัว (controlled variables) ตัวแปรปรับหลายตัว (manipulated variables) และตัวแปรรบกวนหลายตัว (disturbance variables) โดยแต่ละตัวแปรจะมีความสัมพันธ์เกี่ยวเนื่องกัน กล่าวคือถ้ามีการปรับเพิ่มค่าตัวแปรปรับเพียงตัวเดียวจะส่งผลกระทบต่อตัวแปรที่ต้องการควบคุมหลายตัว ดังนั้นการควบคุมกระบวนการผลิตแบบสัดส่วนปริพันธ์อนุพันธ์ หรือ พีไอดี (Proportional Integral Derivative, PID) ซึ่งเป็นการควบคุมแบบตัวแปรเข้าหนึ่งตัว ตัวแปรออกหนึ่งตัว (Single Input Single Output, SISO) จึงไม่สามารถควบคุมกระบวนการผลิตที่มีความซับซ้อนให้เกิดประสิทธิภาพสูงสุด ดังนั้นจึงมีการพัฒนาระบบการควบคุมให้ตอบสนองกับพฤติกรรมของกระบวนการผลิตในอุตสาหกรรมที่มีตัวแปรควบคุมหลายตัว และตัวแปรปรับหลายตัว โดยใช้ระบบการควบคุมเชิงทำนายแบบจำลอง (Model Predictive Control, MPC) ซึ่งเป็นการควบคุมที่อาศัยตัวแปรขาเข้าหลายตัว ตัวแปรขาออกหลายตัว (Multi Input Multi Output, MIMO) โดยใช้แบบจำลองทางคณิตศาสตร์ของกระบวนการที่ต้องการควบคุม หรือเรียกว่า Model Based Control สามารถแสดงความแตกต่างระหว่างการควบคุมแบบตัวแปรเข้าหนึ่งตัว ตัวแปรออกหนึ่งตัว กับการควบคุมที่อาศัยตัวแปรขาเข้าหลายตัว ตัวแปรขาออกหลายตัว ดังรูปที่ 3.1



รูปที่ 3.1 แสดงการเปรียบเทียบการควบคุมแบบ SISO กับแบบ MIMO [11]

3.2.1 หลักการของการควบคุมเชิงทำนาย

ระบบการควบคุมเชิงทำนายแบบจำลองเป็นเทคนิคการควบคุมที่อาศัยแบบจำลอง (Model Base Control) โดยใช้แบบจำลองของกระบวนการผลิตในการคำนวณหาค่าตัวแปรปรับที่เหมาะสมเพื่อควบคุมตัวแปรที่ควบคุมให้อยู่ในสภาวะที่ต้องการ โดยตัวควบคุมเชิงทำนายแบบจำลองจะคำนวณหาค่าตัวแปรปรับล่วงหน้าเป็นจำนวนหนึ่งชุด แต่จะประยุกต์ใช้เพียงตัวเดียวเท่านั้น เนื่องจากแบบจำลองจะได้ข้อมูลจริงจากการวัด ณ เวลาใหม่ แล้วนำมาข้อมูลมาคำนวณหาค่าตัวแปรปรับที่เหมาะสมชุดใหม่ เพื่อนำไปควบคุมตัวแปรที่ควบคุมให้อยู่ในสภาวะที่ต้องการ ดังนั้นการควบคุมเชิงทำนายแบบจำลองจะได้ข้อมูลจริงจากการวัด ณ เวลาใหม่เสมอ และจะคำนวณหาค่าตัวแปรปรับที่เหมาะสมชุดใหม่เสมอ โดยแผนผังการควบคุมกระบวนการของตัวควบคุมเชิงทำนายแบบจำลองแสดงดังรูปที่ 3.2

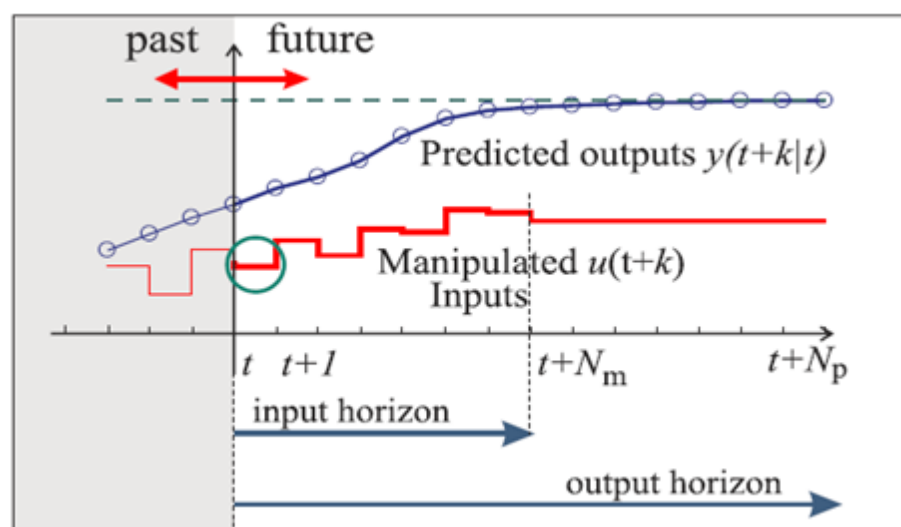


รูปที่ 3.2 แผนผังการควบคุมกระบวนการของตัวควบคุมเชิงทำนายแบบจำลอง [12]

3.2.2 องค์ประกอบของตัวควบคุมเชิงทำนายแบบจำลอง

องค์ประกอบของตัวควบคุมเชิงทำนายแบบจำลอง จะแบ่งออกเป็น 4 ส่วน คือ

1. การหาแนววิถีอ้างอิง (Reference Trajectory Specification) หมายถึงการกำหนดเส้นแนวโน้มของเป้าหมายที่ต้องการ ก็คือการกำหนดเส้นแนวโน้มของค่าตัวแปรควบคุมที่ต้องการเพื่อให้เข้าสู่เซ็ทพอยต์ใหม่ได้ดียิ่งขึ้นสามารถแสดงดังรูปที่ 3.3



รูปที่ 3.3 แสดงแนววิถีอ้างอิง (Reference Trajectory Specification) [11]

การทำนายค่าเอาท์พุทของกระบวนการ (Process Output Prediction)

2. การคำนวณแบบต่อเนื่อง (Control Action Sequence Computation) จุดประสงค์ของการคำนวณแบบต่อเนื่องคือ ควบคุมให้ได้ตามเป้าหมายออปติไมซ์ที่กำหนดไว้ เช่น ปรับค่าตัวแปรปรับให้น้อยที่สุด โดยที่ค่าตัวแปรควบคุมยังได้ตามเป้าหมาย
3. การทำนายความคลาดเคลื่อน (Error Prediction Update) คือการเปรียบเทียบค่าเอาต์พุตจากกระบวนการจริงกับค่าเอาต์พุตที่ได้จากแบบจำลอง

3.2.3 รูปแบบของแบบจำลองสำหรับ Model Predictive Control

แบบจำลองทางคณิตศาสตร์ของกระบวนการที่ต้องการควบคุม สามารถแบ่งแบบจำลองออกเป็น 2 แบบ คือ

1. ตัวควบคุมเชิงทำนายแบบจำลองที่อาศัยแบบจำลองที่เป็นเชิงเส้น (Linear Model Predictive Control) เช่น Dynamic Matrix Control, DMC ซึ่งเป็นเทคโนโลยีของบริษัท Aspen และ Robust Multivariable Predictive Control Technology, RMPCT เป็นเทคโนโลยีของบริษัท Honeywell ซึ่งงานวิจัยนี้ใช้ RMPCT ในการสร้างแบบจำลองและใช้เป็นตัวควบคุมกระบวนการผลิตจริง

2. ตัวควบคุมเชิงทำนายแบบจำลองที่อาศัยแบบจำลองที่ไม่เป็นเชิงเส้น (Non-Linear Model Predictive Control) เช่น Predictive Functional Control (PFC) และ Aspen Target เป็นต้น

ในกรณีจะพิจารณาเฉพาะแบบจำลองที่เป็นเชิงเส้นแบ่งเป็น 3 แบบ ดังนี้

1. Finite Convolution Models สามารถแบ่งออกเป็น 2 รูปแบบ คือ
 - 1.1.1 The Impulse Response Model Form

$$y_k = \sum_{i=1}^k h_i u_{k-i} \quad (3.3)$$

โดยที่ h_i คือ ฟังก์ชัน impulse response ของกระบวนการ

- 1.1.2 The Step Response Model Form

$$y_k = \sum_{i=1}^k a_i \Delta u_{k-i} \quad (3.4)$$

โดยที่ a_i คือ ฟังก์ชัน impulse response ของกระบวนการ

$$\Delta u_k = u_k - u_{k-1}$$

2. Discrete State Space Model

$$y_k = \sum_{i=0}^k a_i y_{k-i} + \sum_{i=0}^k b_i u_{k-1-m} \quad (3.5)$$

3. Discrete Transfer Function Model

$$\frac{y}{z} = \frac{z^m B(z^{-1})}{A(z^{-1})} \frac{u}{z} \quad (3.6)$$

3.2.4 ขั้นตอนในการควบคุมเชิงทำนาย

- 1) กำหนดค่าตัวแปรควบคุม ฟังก์ชันวัตถุประสงค์ที่ต้องการ เช่น ต้องการค่าตัวแปรควบคุมที่ไม่มีความผิดพลาด (error) ในเวลาที่กำหนด รวมไปถึงกำหนดขอบเขต และข้อจำกัดต่างๆ
- 2) คำนวณหาตัวแปรปรับที่ทำให้ค่าของฟังก์ชันวัตถุประสงค์มีค่าน้อยที่สุด
- 3) นำค่าตัวแปรปรับที่ได้จากการคำนวณในข้อ 2 มาควบคุมกระบวนการจริง
- 4) ทำการวัดค่าตัวแปรควบคุมที่ได้จากการวัด ณ เวลาใหม่ และกลับไปทำตามขั้นตอนที่ 2 จนถึงขั้นตอนที่ 4 ใหม่

ข้อดีสำหรับการควบคุมเชิงทำนายแบบจำลอง คือถ้าแบบจำลองถูกต้องกระบวนการควบคุมนั้นจะมีเสถียรภาพ และควบคุมกระบวนการได้ดี รวมไปถึงสามารถใช้ควบคุมกระบวนการที่มีขอบเขตจำกัดได้ โดยสามารถกำหนดข้อจำกัดต่างๆ ไว้ในอัลกอริทึม แต่หากแบบจำลองกระบวนการมีความผิดพลาดคลาดเคลื่อนไปจากกระบวนการจริงก็จะทำให้กระบวนการควบคุมไม่มีเสถียรภาพ และควบคุมกระบวนการได้ไม่ดี ดังนั้นการนำการควบคุมเชิงทำนายไปประยุกต์ใช้ให้ได้ผลดีนั้นจะต้องมีแบบจำลองที่ถูกต้อง และค่าพารามิเตอร์ต่างๆ ของกระบวนการผลิตที่ได้จากการวัด ณ เวลาใหม่จะต้องมีความถูกต้องด้วยเช่นกัน ดังนั้นการตรวจสอบเครื่องมือวัดเพื่อให้วัดค่าได้ถูกต้องนั้นมีความสำคัญมาก เนื่องจากค่าที่วัดได้จากเครื่องมือวัด ณ เวลาใหม่ จะถูกนำไปคำนวณเพื่อหาตัวแปรปรับชุดใหม่ที่เหมาะสม

การประยุกต์ใช้งานตัวควบคุมเชิงทำนายแบบจำลองจะจำกัดไว้กับกระบวนการ หรือระบบซึ่งสามารถหาแบบจำลองของกระบวนการที่น่าเชื่อถือ และมีความถูกต้องพอสมควรเนื่องจากการควบคุมด้วยตัวควบคุมเชิงทำนายแบบจำลอง เป็นการควบคุมโดยอาศัยแบบจำลองในการคำนวณหาตัวแปรปรับที่เหมาะสม และนำค่าที่คำนวณได้ไปสั่งปรับกระบวนการผลิตจริง โดยแบบจำลองของกระบวนการสามารถหาได้จาก

1. การคำนวณสมมูลมวลและสมมูลพลังงาน เป็นวิธีการหาแบบจำลองของกระบวนการที่ใช้กันมากที่สุด เนื่องจากจะใช้พื้นฐานความรู้ในศาสตร์ต่างๆ สำหรับการหาแบบจำลองเพื่ออธิบายกระบวนการได้อย่างถูกต้อง แต่อย่างไรก็ตามวิธีนี้จะไม่นิยมใช้กันสำหรับระบบที่มีความยุ่งยากซับซ้อน ระบบที่มีตัวแปรเป็นจำนวนมาก และระบบที่มีตัวแปรรบกวนที่ไม่สามารถนำมาคำนวณในระบบสมมูลมวล และสมมูลพลังงานได้

2. การสร้างแบบจำลองโดยอาศัยพลวัตการตอบสนองของตัวแปรขาออกต่อตัวแปรขาเข้าของกระบวนการผลิตจริง (Black Box Model) กล่าวคือเป็นการหาความสัมพันธ์ซึ่งเป็นเชิงเส้นของตัวแปรขาเข้า และตัวแปรขาออก โดยจะถูกใช้ในกรณีที่ระบบมีความยุ่งยากซับซ้อน และระบบที่มีตัวแปรรบกวนที่ไม่สามารถนำมาคำนวณในระบบสมมูลมวลและสมมูลพลังงานได้

การควบคุมด้วยตัวควบคุมเชิงทำนายแบบจำลองซึ่งอาศัยการทำออปติไมเซชัน จะมีออฟเจ็คทีฟฟังก์ชันที่ใช้ในการปรับตัวควบคุมเพื่อให้ได้ค่าการตอบสนองที่ต้องการ โดยมีสมการสเตท ขอบเขตกำหนดของตัวแปรปรับ ขอบเขตกำหนดของตัวแปรควบคุม และข้อกำหนดของตัวแปรควบคุมสามารถแสดงดังต่อไปนี้

$$\text{ออฟเจ็คทีฟฟังก์ชัน} \quad \int_0^t [W_1 (y - y_{sp})^2 + W_2 (\Delta u)^2] dt \quad (3.7)$$

$$\text{สมการสเตท} \quad X = f(X(t), U(t)) \quad (3.8)$$

$$\text{ขอบเขตของตัวแปรปรับ} \quad U_{\min} < U(t) < U_{\max} \quad (3.9)$$

$$\text{ขอบเขตของตัวแปรควบคุม} \quad y_{\min} < y(t) < y_{\max} \quad (3.10)$$

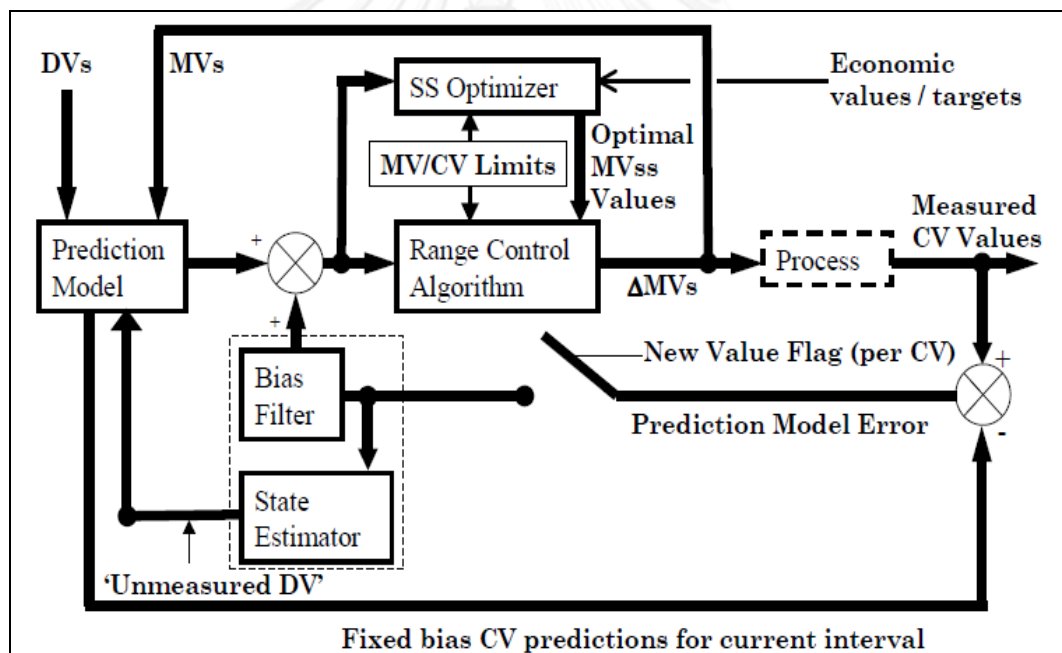
$$\text{ข้อกำหนดของตัวแปรควบคุม} \quad y(t_f) = y_{sp} \quad (3.11)$$

| | | | |
|--------|---------------------------|-----|--|
| โดยที่ | W_1 และ W_2 | คือ | เวกเตอร์น้ำหนัก |
| | t_f | คือ | เวลาสุดท้ายที่ต้องการควบคุม |
| | U_{\min} และ U_{\max} | คือ | ค่าต่ำสุดและค่าสูงสุดของตัวแปรปรับตามลำดับ |
| | y_{\min} และ y_{\max} | คือ | ค่าต่ำสุดและค่าสูงสุดของตัวแปรควบคุมตามลำดับ |

เวกเตอร์น้ำหนัก W_1 และ W_2 นั้นจะมีผลต่อการตอบสนองของกระบวนการที่ควบคุมซึ่งสามารถกำหนดให้มีค่าไม่เท่ากันได้ ขึ้นกับความสำคัญของตัวแปรที่ต้องการพิจารณา

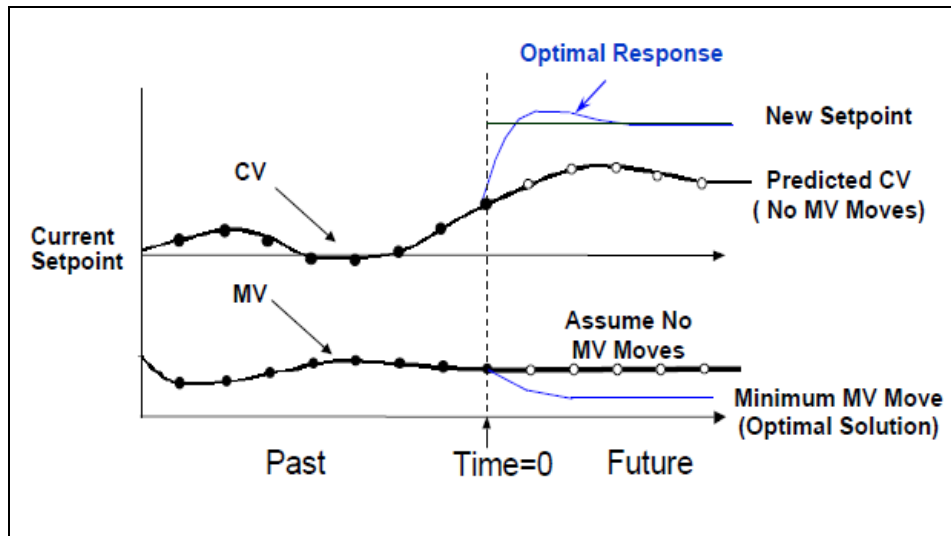
3.3 Robust Multivariable Predictive Control Technology, RMPCT

RMPCT [11] เป็นเทคนิคที่ใช้แบบจำลองเพื่อควบคุมกระบวนการผลิต โดยอาศัยผลการตอบสนองของตัวแปรขาออกต่อตัวแปรขาเข้าของกระบวนการ ร่วมกับเทคนิคการทำออปติไมเซชันเพื่อหาค่าตัวแปรขาเข้าที่เหมาะสมล่วงหน้า และการหาค่าตัวแปรขาเข้าใหม่ที่เหมาะสมต้องมีกระบวนการชดเชยค่าผิดพลาดของตัวแปรควบคุมระหว่างค่าที่วัดได้จากกระบวนการผลิตจริงกับค่าที่คำนวณได้จากแบบจำลองทุกครั้งที่ทำกำควบคุม ทำให้ระบบควบคุมสามารถควบคุมการเปลี่ยนแปลงที่เกิดขึ้นในกระบวนการได้ แม้แบบจำลองกระบวนการในระบบจะผิดพลาดหรือมีสัญญาณรบกวนเกิดขึ้น และยังสามารถควบคุมกระบวนการให้อยู่บนขอบเขตที่ปลอดภัยได้ โดยไม่ต้องปรับปรุงแก้ไขแบบจำลอง และรูปที่ 3.4 แสดงกระบวนการชดเชยค่าผิดพลาดของตัวแปรควบคุม



รูปที่ 3.4 แสดงการชดเชยค่าผิดพลาดของตัวแปรควบคุมระหว่างค่าที่วัดได้จากกระบวนการผลิตจริงกับค่าที่คำนวณได้จากแบบจำลอง [11]

รูปที่ 3.5 (กราฟเส้นสีน้ำเงิน) แสดงเทคนิคการทำออปติไมเซชันเพื่อหาค่าตัวแปรปรับที่เหมาะสมล่วงหน้าโดยการปรับตัวแปรปรับให้น้อยที่สุดและยังคงสามารถควบคุมค่าตัวแปรควบคุมได้ตามเป้าหมาย เทียบกับระบบควบคุมที่ไม่มีการปรับตัวแปรปรับจึงไม่สามารถควบคุมค่าตัวแปรควบคุมได้ตามเป้าหมาย (กราฟเส้นสีดำ)



รูปที่ 3.5 แสดงการทำงานของตัวควบคุม RMPCT โดยปรับค่าตัวแปรปรับให้น้อยที่สุด เพื่อให้ได้ค่าตัวแปรควบคุมที่ตามต้องการ [11]

กระบวนการผลิตที่เหมาะสมที่จะประยุกต์ใช้ RMPCT [11] ได้แก่

- หอกกลั่น และหน่วยการเกิดปฏิกิริยาในโรงกลั่นน้ำมัน (Refinery Process)
- หน่วยการแตกตัวน้ำมันด้วยแคตตาลิส (FCCU and DCCU)
- หน่วยการแตกตัวน้ำมันด้วยไฮโดรเจน (Hydrocracking Process)
- หน่วยการแตกตัวน้ำมันด้วยความร้อน (ETP Process)
- หน่วยผลิตน้ำมันหล่อลื่น (LUBE Process)
- หน่วยผลิตโพลีเมอร์ เป็นต้น

กระบวนการผลิตที่ไม่เหมาะสมที่จะประยุกต์ใช้ RMPCT [11] ได้แก่

- กระบวนการที่ต้องการการควบคุมอย่างรวดเร็ว เช่น Compressor anti-surge control
- กระบวนการผลิตที่มีพฤติกรรมไม่เป็นเชิงเส้นสูง
- กระบวนการผลิตที่มีตัวแปรปรับเพียงหนึ่งตัว
- กระบวนการผลิตอื่นๆ ที่สามารถใช้ระบบควบคุมแบบง่ายและมีประสิทธิภาพที่ดี

บทที่ 4

อุปกรณ์ และวิธีการดำเนินวิจัย

งานวิจัยนี้ได้ประยุกต์ใช้ตัวควบคุมเชิงทำนายแบบจำลองในระบบการผลิตจริงโดยมีอุปกรณ์สำคัญที่ใช้ในงานวิจัยนี้คือชุด hardware, software และ licenses ของเทคโนโลยี RMPCT นอกจากนี้ยังรวมไปถึงแผนภูมิของการเชื่อมต่อระหว่างตัวควบคุมเชิงทำนายแบบจำลองกับระบบควบคุมอัตโนมัติ (Distributed Control System, DCS) และสุดท้ายจะกล่าวถึงวิธีการดำเนินวิจัย

4.1 อุปกรณ์สำคัญที่ใช้ในงานวิจัย

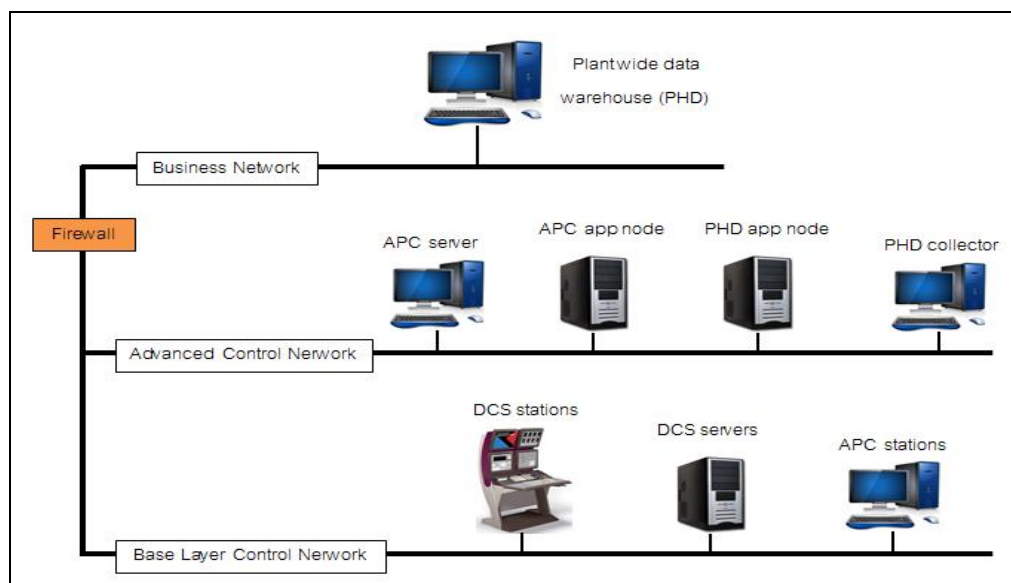
Software ใช้ Profit® Suite Software ซึ่งมีองค์ประกอบ ดังนี้

- โปรแกรมสร้างแบบจำลอง (Profit Controller R320)
- โปรแกรมสร้างสมการทำนายปริมาณซัลเฟอร์ในแนพทาเบา (Profit Sensor Pro R320)
- โปรแกรมติดตามผลการทำนายปริมาณซัลเฟอร์ในแนพทาเบา (Laboratory Update Toolkit)
- โปรแกรมสร้างการเชื่อมต่อระหว่างตัวควบคุมเชิงทำนายแบบจำลอง กับ DCS (Profit Suite Runtime Studio)
- โปรแกรมการใช้งานตัวควบคุมเชิงทำนายแบบจำลอง (Profit Suite Operator Station)

Licenses มีสอง licenses คือ Profit® Controller และ Profit® Sensor ProHardware

- เครื่องคอมพิวเตอร์สำหรับประมวลผลตัวควบคุมเชิงทำนายแบบจำลอง (APC Server) โดยใช้เครื่องคอมพิวเตอร์รุ่น Dell™ R320, PowerEdge™ Intel® Xeon E5-2430 Processor, 2.2GHz, 6C Turbo HT
- เครื่องคอมพิวเตอร์สำหรับควบคุมตัวควบคุมเชิงทำนายแบบจำลอง (APC Workstations) โดยใช้เครื่องคอมพิวเตอร์รุ่น Dell™ PowerEdge™ T5610 Intel® Xeon® Processor E5-2603 v2
- เครื่องคอมพิวเตอร์สำหรับการเชื่อมต่อระหว่างตัวควบคุมเชิงทำนายแบบจำลอง กับ DCS (APC APP Node) Dell™ R320, PowerEdge™ Intel® Xeon E5-2430 Processor, 2.2GHz, 6C Turbo HT

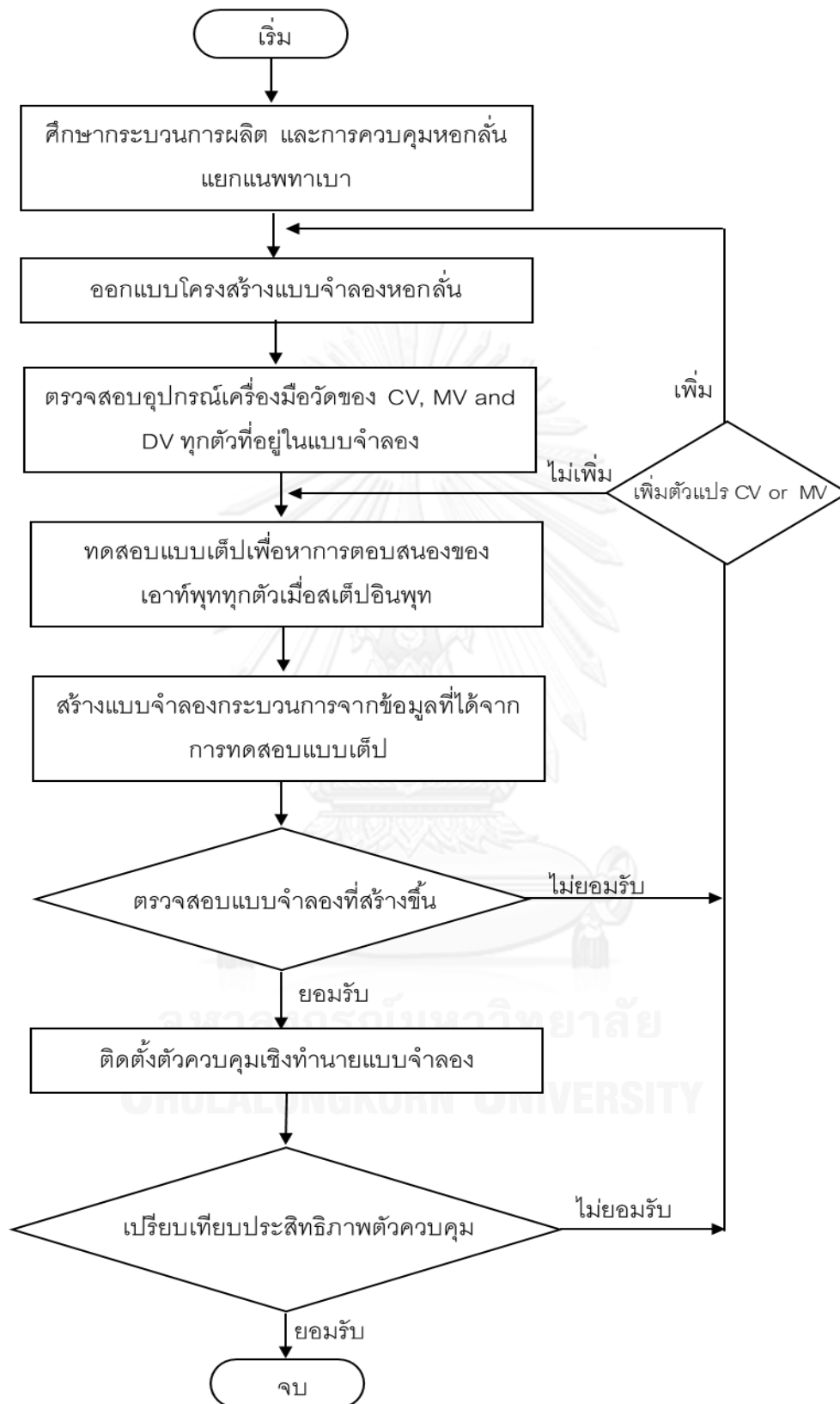
แผนภูมิของการเชื่อมต่อระหว่างตัวควบคุมเชิงทำนายแบบจำลอง (APC) กับระบบควบคุมอัตโนมัติ (DCS) ถูกแสดงดังรูปที่ 4.1



รูปที่ 4.1 แสดงการเชื่อมต่อระหว่างระบบควบคุมด้วย APC กับระบบควบคุมด้วย DCS

4.2 วิธีการดำเนินวิจัย

วิธีการดำเนินวิจัยจะต้องเริ่มจากการเข้าใจในกระบวนการผลิตของหอกลั่นแยกแฉกแพทตาตัวเบา และต้องเข้าใจในพฤติกรรมตอบสนองของตัวแปรขาออกต่อตัวแปรขาเข้าที่ใช้ในการปรับกระบวนการ เพื่อให้เข้าใจระบบการควบคุมหอกลั่นแยกแฉกแพทตาตัวเบาทั้งหมด จากนั้นถึงจะกำหนดตัวแปรควบคุม (controlled variables), ตัวแปรปรับ (manipulated variables) และตัวแปรรบกวน (disturbance variables) โดยการกำหนดตัวแปรต่างๆ จะกำหนดตามพฤติกรรมตอบสนองของตัวแปรขาออกต่อตัวแปรขาเข้าของกระบวนการผลิตจริง และต้องถูกหลักทฤษฎีการควบคุมหอกลั่น โดยข้อมูลทั้งหมดจะถูกนำมาออกแบบโครงสร้างแบบจำลองของหอกลั่นแยกแฉกแพทตาตัวเบา และต้องมีการตรวจสอบเครื่องมือวัดที่เกี่ยวข้องกับตัวแปรควบคุม, ตัวแปรปรับ และตัวแปรรบกวน ซึ่งขั้นตอนนี้เป็นขั้นตอนที่มีความสำคัญมาก เนื่องจากค่าที่วัดได้จะถูกนำมาคำนวณในแบบจำลองถ้าค่าที่วัดได้ไม่ถูกต้อง หรือมีการแกว่งตัวมากจะส่งผลกระทบต่อประสิทธิภาพของตัวควบคุมเชิงทำนายแบบจำลองโดยตรง จากนั้นทดสอบแบบสแต็ปที่กระบวนการผลิตจริงเพื่อหาพฤติกรรมตอบสนองของตัวแปรขาออกต่อสแต็ปตัวแปรขาเข้า นำข้อมูลที่ได้จากการทดสอบแบบสแต็ปมาสร้างแบบจำลอง และต้องมีการตรวจสอบแบบจำลองก่อนนำไปใช้จริง สุดท้ายจึงนำแบบจำลองที่ได้ไปติดตั้งเพื่อควบคุมหอกลั่นแยกแฉกแพทตาตัวเบา และทำการเปรียบเทียบประสิทธิภาพระหว่างตัวควบคุมเชิงทำนายแบบจำลองกับตัวควบคุมแบบพีไอดี โดยแผนผังวิธีการดำเนินวิจัย แสดงดังรูปที่ 4.2



รูปที่ 4.2 แสดงแผนผังวิธีการดำเนินวิจัย

4.2.1 ศึกษากระบวนการผลิต และการควบคุมหอกลิ้นแยกแนพทาเบา

น้ำมันแก๊สโซลีนเป็นสารป้อนเข้าหอกลิ้น ซึ่งหอกลิ้นนี้มีหน้าที่แยกน้ำมันแก๊สโซลีนออกเป็นสองส่วนได้แก่ แนพทาตัวเบา (Light Naphtha) และแนพทาตัวหนัก (Heavy Naphtha) เป้าหมายเพื่อควบคุมปริมาณสารประกอบซัลเฟอร์ในแนพทาเบา โดยมีปริมาณแนพทาตัวเบาที่ถูกดึงออกจากหอกลิ้น ปริมาณไอน้ำที่ให้ความร้อนแก่หอกลิ้น และปริมาณสารป้อนกลับเข้าหอกลิ้นเป็นตัวแปรปรับ และมีอุณหภูมิภายในหอกลิ้นเป็นตัวแปรควบคุมที่สำคัญ การควบคุมหอกลิ้นแยกแนพทาตัวเบาด้วยตัวควบคุมเชิงทำนายแบบจำลองต้องคงอยู่ภายใต้วิธีการปฏิบัติงานของพนักงานควบคุมการผลิต และความปลอดภัยเป็นสิ่งสำคัญ โดยมีตัวแปรควบคุม และตัวแปรปรับ แสดงดังตารางที่ 4.1

ตารางที่ 4.1 แสดงตัวแปรควบคุม และตัวแปรปรับกระบวนการของหอกลิ้นแยกแนพทาตัวเบา

| ตัวแปรควบคุม | ตัวแปรปรับ |
|---|---|
| ปริมาณสารประกอบซัลเฟอร์ในแนพทาตัวเบา | ปริมาณแนพทาตัวเบาที่ถูกดึงออกจากหอกลิ้นในชั้นที่ 7 ของหอกลิ้น |
| อัตราส่วนระหว่างปริมาณแนพทาเบาต่อสารป้อนเข้าหอกลิ้น | |
| อุณหภูมิที่ด้านล่างหอกลิ้น | ปริมาณไอน้ำที่ใช้เพื่อให้ความร้อนกับหอกลิ้น |
| อุณหภูมิที่ชั้นที่ 14 ของหอกลิ้น | |
| ระดับของแนพทาตัวเบาในชั้นที่ 7 ของหอกลิ้น | ปริมาณแนพทาตัวเบาป้อนกลับเข้าหอกลิ้นที่ยอดหอ |
| ระดับของแนพทาหนักที่ด้านล่างหอกลิ้น | |
| อัตราส่วนระหว่างสารป้อนกลับเข้าหอกลิ้นที่ยอดหอต่อสารป้อนเข้าหอกลิ้น | |
| ระดับของแนพทาตัวเบาที่ถึงพักบนยอดหอกลิ้น | |

4.2.2 ออกแบบโครงสร้างแบบจำลองหอกลิ้น

การออกแบบโครงสร้างแบบจำลองหอกลิ้นจะถูกกล่าวอย่างละเอียดในบทที่ 5 ในหัวข้อการออกแบบโครงสร้างแบบจำลองหอกลิ้นแยกแนพทาตัวเบา โดยสมการวัตถุประสงค์ของการควบคุมหอกลิ้นแนพทาตัวเบา (controller objective function) คือการลดค่าเบี่ยงเบนของตัวแปรควบคุม และตัวแปรปรับจากสภาวะคงตัว (steady state condition) โดยแสดงดังสมการที่ 4.1

$$\text{สมการวัดอุณหภูมิ} = \sum_{i=k}^{k+p} [X^T(i)W_1X(i) + U^T(i)W_2U(i)] \quad (4.1)$$

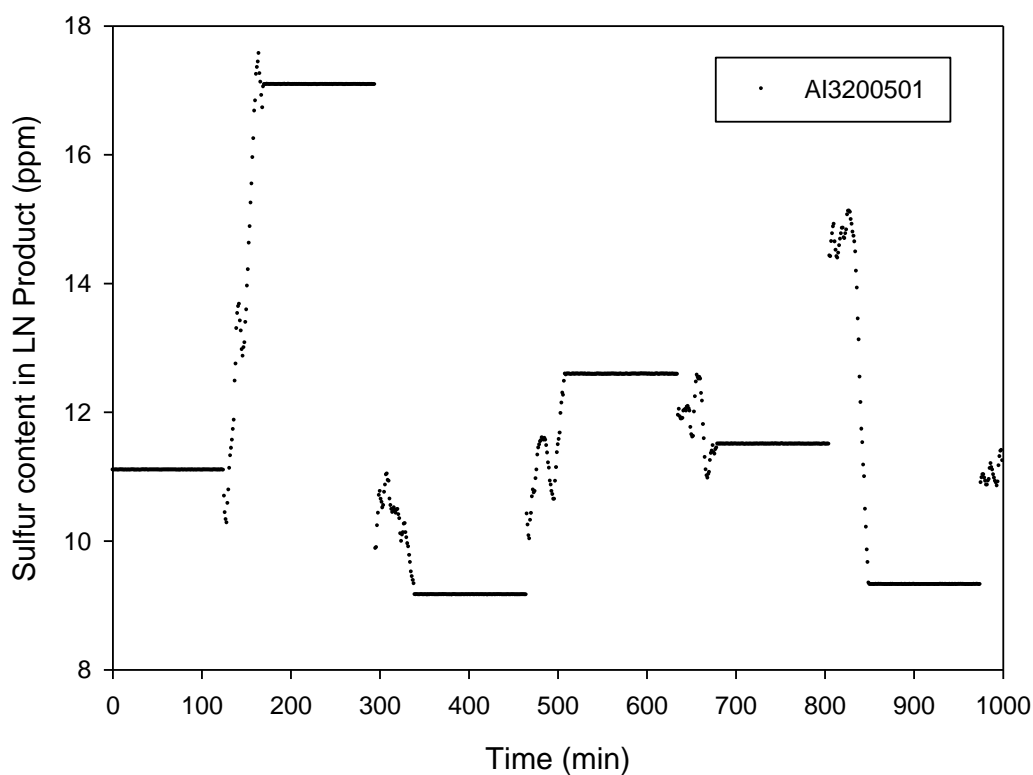
| | | | |
|--------|-------|-----|--|
| โดยที่ | X^T | คือ | ทรานสโพสของเมทริกซ์ค่าเบี่ยงเบนของตัวแปรควบคุมจากเซ็นเซอร์ |
| | W_1 | คือ | เมทริกซ์ถ่วงน้ำหนักของตัวแปรควบคุม |
| | X | คือ | เมทริกซ์ค่าเบี่ยงเบนของตัวแปรควบคุมจากเซ็นเซอร์ |
| | U^T | คือ | ทรานสโพสของเมทริกซ์ค่าเบี่ยงเบนของตัวแปรปรับจากเซ็นเซอร์ |
| | W_2 | คือ | เมทริกซ์ถ่วงน้ำหนักของตัวแปรปรับ |
| | U | คือ | เมทริกซ์ค่าเบี่ยงเบนของตัวแปรปรับจากเซ็นเซอร์ |

4.2.3 ตรวจสอบอุปกรณ์เครื่องมือวัดของตัวแปรควบคุม ตัวแปรปรับ และตัวแปรรบกวนทุกตัวที่อยู่ในแบบจำลอง

การตรวจสอบเครื่องมือวัดที่เกี่ยวข้องกับตัวแปรควบคุม ตัวแปรปรับ และตัวแปรรบกวนเป็นขั้นตอนที่มีความสำคัญมาก เนื่องจากการควบคุมด้วยตัวควบคุมเชิงทำนายแบบจำลองต้องการค่าที่ถูกต้องจากเครื่องมือวัด ค่าที่วัดได้จะถูกนำมาคำนวณในแบบจำลอง เพื่อให้ตัวควบคุมเชิงทำนายแบบจำลองสามารถควบคุมหอกลิ้นแยกแฉกแนวพาตัวเบาได้อย่างมีประสิทธิภาพ โดยมีหลักการตรวจสอบดังนี้

- ค่าที่อ่านได้จากเครื่องมือวัดต้องมีความต่อเนื่อง เชื่อถือได้และค่าไม่แกว่งตัว
- สำหรับตัวแปรปรับเอาท์พุทของวาล์วควบคุม (control valve) ต้องอยู่ในช่วงที่สามารถควบคุมได้ (10 – 90% opening)
- ต้องมีแผนในการบำรุงรักษาเครื่องมือวัด เพื่อให้เครื่องมือวัดมีประสิทธิภาพที่ดีอย่างต่อเนื่อง

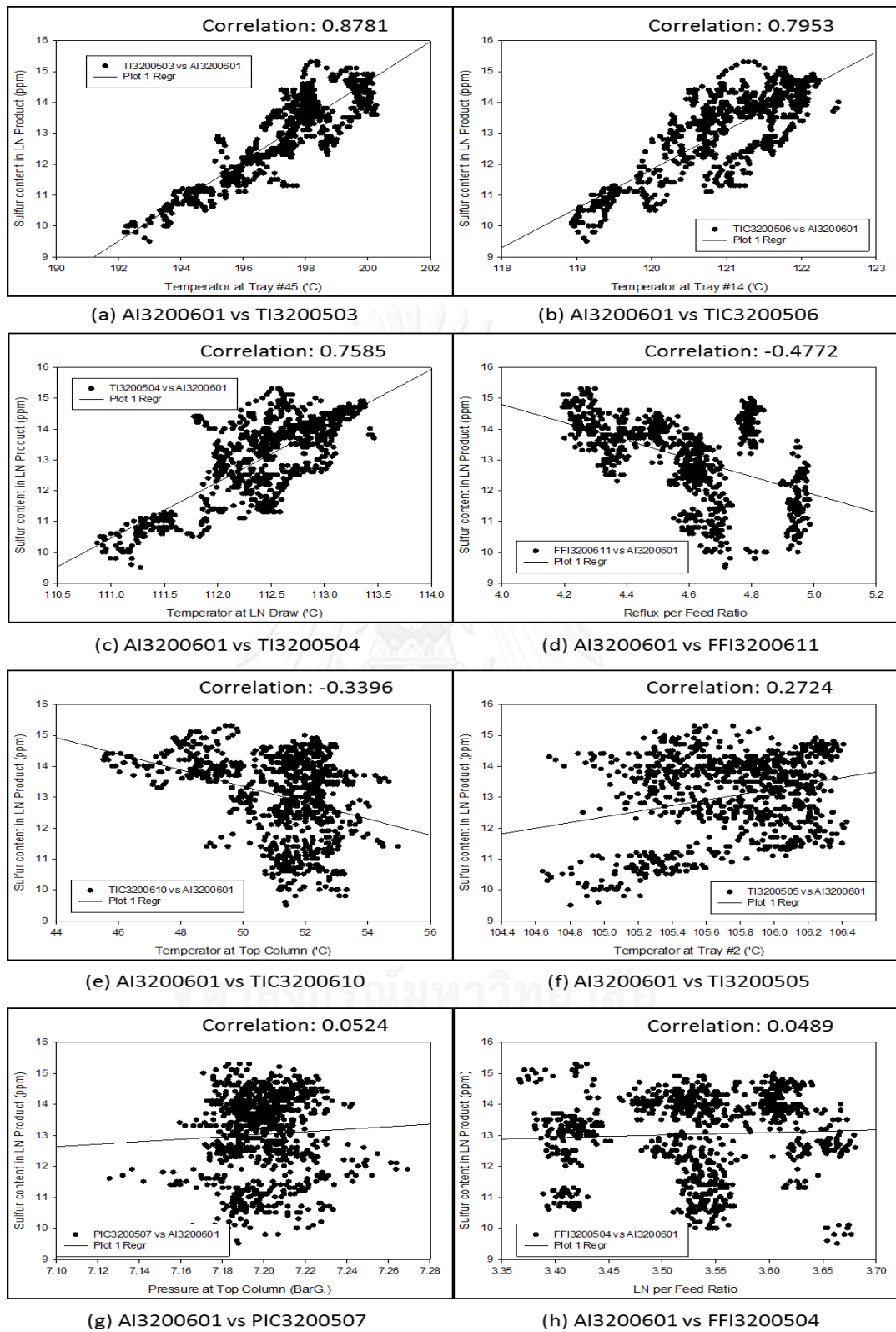
จากการตรวจสอบค่าที่วัดได้จากเครื่องมือวัดทุกตัว พบว่าค่าที่อ่านได้จากเครื่องมือวัดสามารถยอมรับได้ ยกเว้นเครื่องวิเคราะห์หาปริมาณสารประกอบซัลเฟอร์ในแนวพาเบา (AI3200601) ที่อ่านค่าได้ไม่ต่อเนื่อง โดยเครื่องมือวัดแสดงค่าเต็มประมาณ 1 ชั่วโมงแล้วจึงทำการวัดค่าอีกครั้งซึ่งถูกแสดงดังรูปที่ 4.3 เนื่องจากเครื่องวิเคราะห์นี้ถูกออกแบบให้ใช้วัดค่าซัลเฟอร์หลายตำแหน่ง



รูปที่ 4.3 แสดงค่าซัลเฟอร์ในแนพทาตัวเบาที่ได้จาก analyzer (AI3200601)

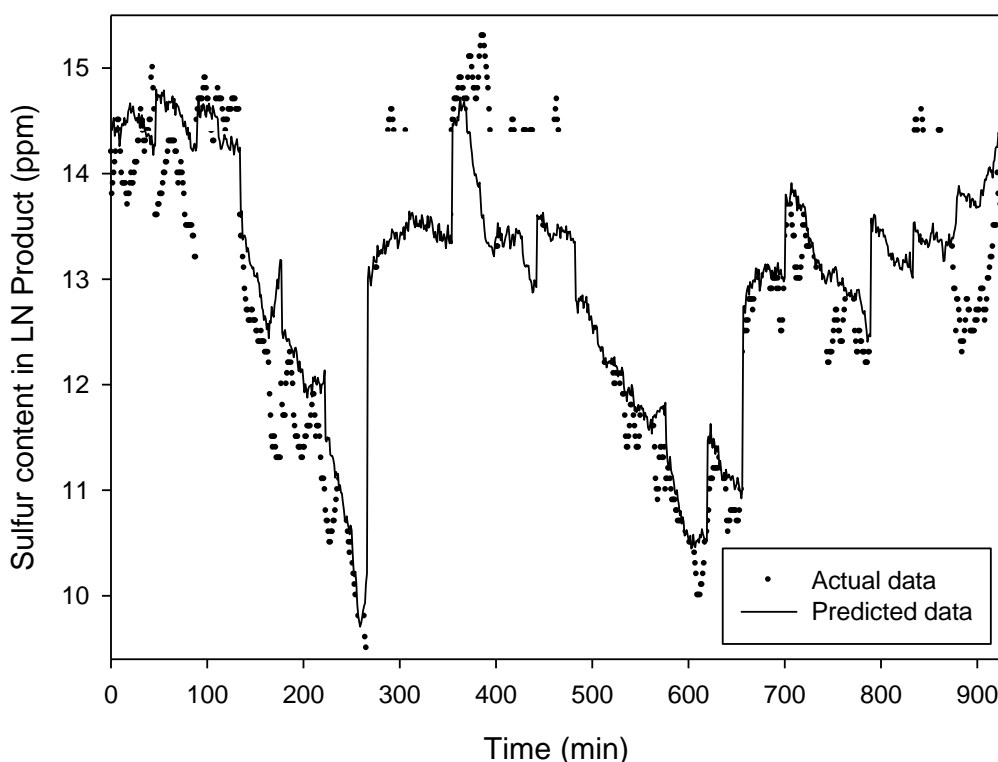
ปริมาณสารประกอบซัลเฟอร์ในแนพทาตัวเบา (CV1) เป็นตัวแปรควบคุมที่สำคัญ ดังนั้นจึงต้องการทำนายปริมาณสารประกอบซัลเฟอร์ในแนพทาตัวเบา (inferential model) โดยใช้โปรแกรม Profit SensorPro R320 เพื่อใช้ทดแทนเครื่องมือวัดเดิม (AI3200601) ที่มีปัญหา โดยสมการทำนายหาได้จากการใช้ข้อมูลต่างๆ ของกระบวนการผลิตจริง 925 ข้อมูลเพื่อหาสมการถดถอย (regression equation) โดยมีขั้นตอนการทำสมการถดถอย ดังนี้

- 1) หาความสัมพันธ์ของตัวแปรต่างๆ ที่หากลั่นแยกแนพทาตัวเบากับปริมาณซัลเฟอร์ในแนพทาตัวเบา (AI3200601) โดยสามารถแสดงความสัมพันธ์ได้ดังรูปที่ 4.4



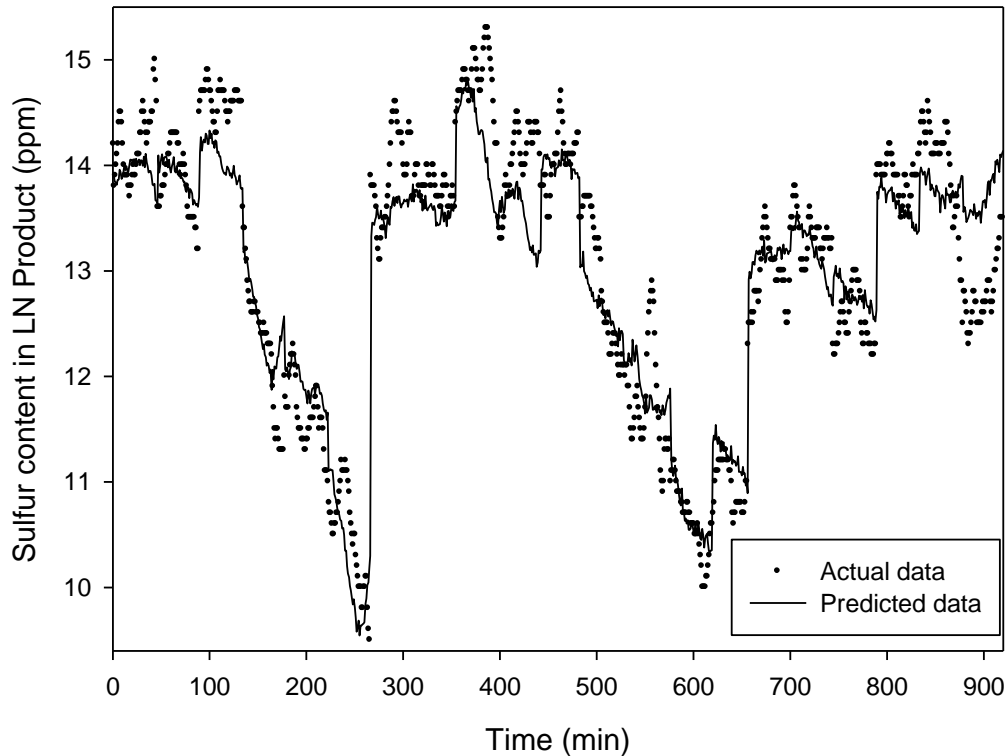
รูปที่ 4.4 (a-h) แสดงความสัมพันธ์ระหว่างปริมาณซัลเฟอร์ในเนพทาตัวเบากับตัวแปรต่างๆ

- 2) จากรูปที่ 4.4 (a) อุณหภูมิที่ชั้นที่ 45 ของหอกลับ (TI3200503) มีความสัมพันธ์กับปริมาณซัลเฟอร์ในแนพทาตัวเบา (AI3200601) สูงที่สุดโดยมีค่า correlation เท่ากับ 0.8781 และเมื่อนำมาหาสมการถดถอยได้ความน่าเชื่อถือร้อยละ 77.08 ($R^2 = 0.7708$) โดยรูปที่ 4.5 แสดงการเปรียบเทียบปริมาณซัลเฟอร์ในแนพทาตัวเบา (AI3200601) กับปริมาณซัลเฟอร์ที่ได้จากสมการทำนายจากอุณหภูมิที่ชั้นที่ 45 ของหอกลับ (TI3200503)



รูปที่ 4.5 แสดงการเปรียบเทียบปริมาณซัลเฟอร์ในแนพทาตัวเบา (AI3200601) กับปริมาณซัลเฟอร์ที่ได้จากสมการทำนายจากอุณหภูมิที่ชั้นที่ 45 ของหอกลับ (TI3200503)

- 3) ผู้วิจัยเพิ่มตัวแปรที่มีค่า correlation ในลำดับที่สองและลำดับที่สามคืออุณหภูมิที่ชั้นแนพทาตัวเบาถูกดึงออกจากหอกลับ (TI3200504) และอัตราส่วนระหว่างสายป้อนกลับเข้าหอกลับที่ยอดหอดต่อสายป้อนเข้าหอกลับในชั้นที่ 28 (FFI3200611) ในสมการถดถอย โดยความน่าเชื่อถือเพิ่มขึ้นเป็นร้อยละ 84.35 ($R^2 = 0.8435$) โดยรูปที่ 4.6 แสดงการเปรียบเทียบปริมาณซัลเฟอร์ในแนพทาตัวเบา (AI3200601) กับปริมาณซัลเฟอร์ที่ได้จากสมการทำนายจากจากอุณหภูมิที่ชั้นที่ 45 ของหอกลับ (TI3200503) อัตราส่วนระหว่างสายป้อนกลับเข้าหอกลับที่ยอดหอดต่อสายป้อนเข้าหอกลับในชั้นที่ 28 (FFI3200611) และอุณหภูมิที่ชั้นแนพทาตัวเบาถูกดึงออกจากหอกลับ (TI3200504)



รูปที่ 4.6 แสดงการเปรียบเทียบปริมาณซัลเฟอร์ในแนพทาตัวเบา (AI3200601) กับปริมาณซัลเฟอร์ที่ได้จากสมการทำนายจากตัวแปรสามตัว (TI503, FFI611, TI504)

โดยมีสมการทำนายปริมาณสารประกอบซัลเฟอร์ในแนพทาตัวเบาแสดงดังสมการที่ 4.2

$$\text{ปริมาณซัลเฟอร์} = 0.358A - 1.83B + 0.772C - 136 \quad (4.2)$$

โดยที่ A คือ อุณหภูมิที่ชั้นที่ 45 ของหอกลับ (TI3200503)

B คือ อัตราส่วนระหว่างสายป้อนกลับเข้าหอกลับที่ยอดหอดต่อสายป้อนเข้าหอกลับในชั้นที่ 28 (FFI3200611)

C คือ อุณหภูมิที่ชั้นแนพทาตัวเบาถูกดึงออกจากหอกลับ (TI3200504)

ปริมาณสารประกอบซัลเฟอร์ในแนพทาตัวเบาที่คำนวณได้จากสมการที่ 4.2 มีความสอดคล้องกับทฤษฎีการควบคุมหอกลับแยกแนพทาตัวเบา กล่าวคือเมื่ออุณหภูมิในหอกลับมีค่ามากขึ้นจะทำให้แนพทาตัวหนักซึ่งมีปริมาณซัลเฟอร์สูงลอยขึ้นด้านบนหอกลับมากขึ้นจึงทำให้ปริมาณซัลเฟอร์ในแนพทาตัวเบาสูงขึ้น และเมื่ออัตราส่วนระหว่างสายป้อนกลับเข้าหอกลับที่ยอดหอดต่อสาย

ป้อนเข้าหอกลับในชั้นที่ 28 (FFI3200611) มีค่าสูงขึ้นจะทำให้แนวพาทัวหนักลอยขึ้นด้านบนหอกลับได้น้อยลง จึงทำให้ปริมาณซัลเฟอร์ในแนวพาทัวเบาตกลง ดังนั้นผู้วิจัยจึงใช้ค่าปริมาณสารประกอบซัลเฟอร์ในแนวพาทัวเบาที่คำนวณได้จากสมการที่ 4.2 แทนค่าปริมาณซัลเฟอร์ที่ได้จากเครื่องมือวัดเดิม (AI3200601) เพื่อควบคุมปริมาณสารประกอบซัลเฟอร์ในแนวพาทัวเบา

ขั้นตอนการทดสอบแบบสแต็ป การสร้างแบบจำลอง และการตรวจสอบแบบจำลองที่สร้างขึ้น จะถูกนำเสนออย่างละเอียดในบทที่ 5 และบทที่ 6

4.2.4 การติดตั้งตัวควบคุมเชิงทำนายแบบจำลอง

แบบจำลองที่มีคุณภาพจะถูกติดตั้งด้วยโปรแกรม Profit Suite Runtime Studio เพื่อเชื่อมต่อตัวควบคุมเชิงทำนายแบบจำลอง (controller) กับระบบควบคุมอัตโนมัติ Distributed Control System (DCS) ของหอกลับแยกแนวพาทัวเบา โดยพนักงานควบคุมกระบวนการผลิตสามารถควบคุมหอกลับแยกแนวพาทัวเบาด้วยตัวควบคุมเชิงทำนายแบบจำลองที่สร้างขึ้นด้วยโปรแกรม Profit Suite Operator Station และวิศวกรยังสามารถปรับแต่งตัวควบคุมเชิงทำนายแบบจำลองในขณะที่ใช้งาน เช่น การปรับเปลี่ยนค่าอัตราขยาย, ค่า time constants รวมไปถึงสามารถกำหนดทิศทางการทำอปติไมเซชัน เช่น กำหนดให้ได้ผลิตภัณฑ์แนวพาทัวเบาให้มากที่สุดหรือกำหนดให้ใช้ไอน้ำให้น้อยที่สุด ซึ่งมีรายละเอียดเพิ่มเติมดังนี้

- โปรแกรม Profit Suite Runtime Studio ถูกใช้เพื่อสร้างตัวควบคุมเชิงทำนายแบบจำลอง และสร้างการเชื่อมต่อระหว่างตัวควบคุม (controller) กับระบบควบคุมอัตโนมัติ (DCS) ซึ่งข้อมูลระหว่างตัวควบคุมเชิงทำนายแบบจำลอง กับข้อมูลจาก DCS จะถูกส่งให้กันทุกๆ 60 วินาที
- โปรแกรม URT Explorer ใช้เพื่อตรวจสอบการเชื่อมต่อระหว่างตัวควบคุม กับ DCS
- พนักงานควบคุมกระบวนการผลิต สามารถควบคุมตัวควบคุมเชิงทำนายแบบจำลองผ่านทางโปรแกรม Profit Suite Operator Station โดยแสดงดังรูปที่ 4.7 และวิศวกรยังสามารถใช้โปรแกรมนี้เพื่อปรับปรุงประสิทธิภาพของหอกลับแยกแนวพาทัวเบาให้เหมาะสมกับสถานการณ์ทางเศรษฐศาสตร์

The screenshot displays the Profit Suite Operator Station (PSOS) interface for a Honeywell controller. The window title is "Profit Suite Operator Station - 32MC_CTL02". The interface includes a menu bar (File, View, Window, Help) and a Honeywell logo. Below the menu bar, there are status indicators for "ON", "OFF", "WARM", and "OPTIMIZING", along with "Next Run 18 secs" and "Interval Count 3239".

The main area shows a configuration table with the following data:

| Parameter | Value | Parameter | Value |
|--------------------------------|--------------------------|--------------------------------------|------------------|
| Model File Read Time | 5/2/2013 10:30:39 AM | Optimizer Speed Factor | 1.0000 |
| Last Execution Time | 5/2/2013 4:45:40 PM | Optimizer Acceleration Tolerance (%) | 0 |
| Last Execution Duration (mins) | 0 | Steady State Objective Value | 92.535 |
| Design Execution Period (mins) | 1.0000 | Current Objective Value | 92.780 |
| Actual Execution Period (mins) | 1.0000 | Deflated Singular Value | 1.00E-20 |
| CheckPoint Operations | ACTIVE_SCHED | Total Predicted Error | 0.7570 |
| Override Consistency Check | YES | Total Steady State Error | 2.0474 |
| File Operations | Read Model File W/ INIT | Non Critical MV Cascade Loss | NONE |
| .. | Read Model File W/O INIT | Overall Response Time (Intervals) | 66.987 |
| .. | Read Spec File | Include Integrator CLRI | 1.0000 |
| History Collection | ON | Gain Delay Operations | Clear Gain Delay |
| Enable Change Log | CHANGES | Gain Delay Changes Locked | NO |
| Interval Count | 3239 | Application Status | ACTIVE |

At the bottom of the interface, there is a message log table:

| Source | Time | Message | Severity | Condition | AckReqd |
|--------|------|---------|----------|-----------|---------|
| ALL | ALL | ALL | ALL | ALL | ALL |

รูปที่ 4.7 แสดงการใช้งานตัวควบคุมเชิงทำนายแบบจำลองผ่านโปรแกรม PSOS

บทที่ 5

การสร้างแบบจำลองของหอกลิ้นแยกแนวทาทัวเบา

งานวิจัยนี้ได้ประยุกต์ใช้ตัวควบคุมเชิงทำนายแบบจำลองในกระบวนการผลิตจริง ซึ่งในหอกลิ้นแยกแนวทาทัวเบา มีองค์ประกอบของสารไฮโดรคาร์บอนหลากหลายชนิด และมีตัวแปรรบกวนที่ไม่สามารถวัดค่าได้ทำให้แบบจำลองมีความซับซ้อนมาก จึงเป็นเรื่องยากที่จะหาแบบจำลองของกระบวนการด้วยวิธีการทำสมดุลมวลสารและสมดุลพลังงาน ดังนั้นผู้ทำวิจัยจึงใช้ข้อมูลพฤติกรรมการตอบสนองของตัวแปรขาออกเมื่อมีการปรับตัวแปรขาเข้าในกระบวนการผลิตจริงมาสร้างแบบจำลอง (Black Box Model) เพื่อให้ได้แบบจำลองอย่างง่ายที่สามารถอธิบายพฤติกรรมของหอกลิ้นแยกแนวทาทัวเบาได้ โดยมีขั้นตอนการสร้างแบบจำลองที่สำคัญ 3 ขั้นตอน ดังนี้

- การออกแบบโครงสร้างแบบจำลองหอกลิ้นแยกแนวทาทัวเบา
- การทดสอบแบบสแต็ปของหอกลิ้นแยกแนวทาทัวเบา
- การสร้างแบบจำลอง โดยใช้ข้อมูลจากการทดสอบแบบสแต็ป

5.1 การออกแบบโครงสร้างแบบจำลองหอกลิ้นแยกแนวทาทัวเบา

งานวิจัยนี้ผู้วิจัยกำหนดตัวแปรควบคุม (controlled variables), ตัวแปรปรับ (manipulated variables) และตัวแปรรบกวน (disturbance variables) ตามทฤษฎีการควบคุมหอกลิ้น โดยการกำหนดตัวแปรควบคุม และตัวแปรปรับทุกตัวต้องมีความสอดคล้องกับขั้นตอนการทำงานและหลักปฏิบัติของผู้ควบคุมกระบวนการผลิตจริง เพื่อให้ผู้ควบคุมกระบวนการผลิตเข้าใจในโครงสร้างของแบบจำลอง และสามารถนำแบบจำลองไปควบคุมกระบวนการผลิตจริงให้เกิดประสิทธิภาพสูงสุด โดยขณะทำการทดสอบแบบสแต็ปยังคงสามารถควบคุมหอกลิ้นแยกแนวทาทัวเบาให้คงอยู่ภายใต้ความปลอดภัย และผลิตภัณฑ์แก๊สโซลีนผ่านตามข้อกำหนด

โครงสร้างแบบจำลองหอกลิ้นแยกแนวทาทัวเบา มีตัวแปรควบคุม 8 ตัว, ตัวแปรปรับ 3 ตัว และตัวแปรรบกวน 2 ตัว โดยสามารถแสดงตัวแปรต่างๆ ดังนี้

ตัวแปรควบคุม (Controlled Variables)

| | |
|-------------------------|---|
| ตัวแปรควบคุมที่ 1 (CV1) | คือ ปริมาณสารประกอบซัลเฟอร์ในแนวทาทัวเบา |
| ตัวแปรควบคุมที่ 2 (CV2) | คือ อัตราส่วนระหว่างปริมาณแนวทาทัวเบาต่อสายป้อนเข้าหอกลิ้นในชั้นที่ 28 ของหอกลิ้น |
| ตัวแปรควบคุมที่ 3 (CV3) | คือ อุณหภูมิที่ด้านล่างหอกลิ้น |
| ตัวแปรควบคุมที่ 4 (CV4) | คือ อุณหภูมิที่ชั้นที่ 14 ของหอกลิ้น |

| | |
|-------------------------|---|
| ตัวแปรควบคุมที่ 5 (CV5) | คือ ระดับของเนพทาเบาในชั้นที่ 7 ของหอกลั่น |
| ตัวแปรควบคุมที่ 6 (CV6) | คือ ระดับของเนพทาหนักที่ด้านล่างหอกลั่น |
| ตัวแปรควบคุมที่ 7 (CV7) | คือ อัตราส่วนระหว่างสายป้อนกลับเข้าหอกลั่นที่ยอดหอต่อสายป้อนเข้าหอกลั่นในชั้นที่ 28 |
| ตัวแปรควบคุมที่ 8 (CV8) | คือ ระดับของเนพทาเบาที่ถึงพักบนยอดหอกลั่น |

ตัวแปรปรับ (Manipulated Variables)

| | |
|-----------------------|--|
| ตัวแปรปรับที่ 1 (MV1) | คือ ปริมาณเนพทาเบาที่ถูกดึงออกจากหอกลั่นในชั้นที่ 7 ของหอกลั่น |
| ตัวแปรปรับที่ 2 (MV2) | คือ ปริมาณไอน้ำที่ใช้เพื่อให้ความร้อนกับหอกลั่น |
| ตัวแปรปรับที่ 3 (MV3) | คือ ปริมาณเนพทาเบาป้อนกลับเข้าหอกลั่นที่ยอดหอ |

ตัวแปรรบกวน (Disturbance Variables)

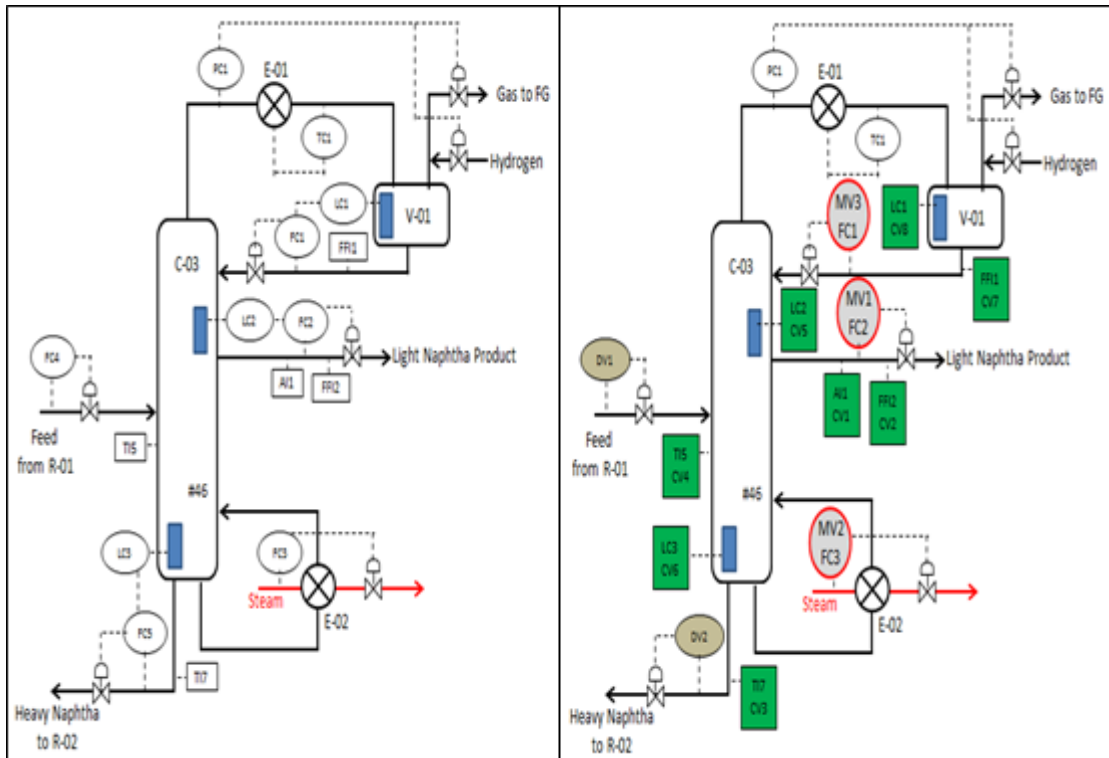
| | |
|------------------------|---|
| ตัวแปรรบกวนที่ 1 (DV1) | คือ สายป้อนเข้าหอกลั่นในชั้นที่ 28 |
| ตัวแปรรบกวนที่ 2 (DV2) | คือ ปริมาณเนพทาหนักที่ถูกดึงออกจากด้านล่างหอกลั่น |

การเลือกตัวแปรควบคุม ตัวแปรปรับและตัวแปรรบกวนทุกตัวต้องมีความสอดคล้องกับขั้นตอนการทำงานและหลักปฏิบัติของผู้ควบคุมกระบวนการผลิตจริง โดยมีคำอธิบายในการเลือกตัวแปรต่างๆ ที่สำคัญดังนี้

- ปริมาณสารประกอบซัลเฟอร์ในเนพทาตัวเบาถูกเลือกเป็นตัวแปรควบคุม เนื่องจากผลิตภัณฑ์เนพทาตัวเบาต้องถูกควบคุมปริมาณสารประกอบซัลเฟอร์ให้น้อยกว่า 20 ppm เพื่อให้ผลิตภัณฑ์แก๊สโซลีนผ่านตามข้อกำหนด
- อัตราส่วนระหว่างปริมาณเนพทาตัวเบาต่อสายป้อนเข้าหอกลั่นในชั้นที่ 28 ของหอกลั่น ถูกเลือกเป็นตัวแปรควบคุม เนื่องจากต้องควบคุมปริมาณผลิตภัณฑ์เนพทาตัวเบาให้เหมาะสม
- อุณหภูมิที่ด้านล่างหอกลั่นถูกเลือกเป็นตัวแปรควบคุม เนื่องจากเป็นจุดวัดอุณหภูมิที่ทางผู้ควบคุมกระบวนการผลิตใช้ในการควบคุมไม่ให้น้อยกว่า 210 องศาเซลเซียส เพื่อป้องกันการเกิดปฏิกิริยาความร้อนที่รุนแรงในหน่วยการเกิดปฏิกิริยาถัดไป เนื่องจากมีปริมาณเนพทาตัวเบาที่ด้านล่างหอกลั่นสูงเกินกำหนด

- อุณหภูมิที่ชั้นที่ 14 ของหอกลับถูกเลือกเป็นตัวแปรควบคุม เนื่องจากการวัดอุณหภูมิที่ตรงกลางหอกลับ ซึ่งเป็นจุดที่ไวต่อการตอบสนองเมื่อหอกลับถูกรบกวนด้วยตัวแปรต่างๆ
- ระดับของแนพทาเบาในชั้นที่ 7 ของหอกลับ ระดับของแนพทาหนักที่ด้านล่างหอกลับ และระดับของแนพทาเบาที่ถังพักบนยอดหอกลับถูกเลือกเป็นตัวแปรควบคุม เนื่องจากต้องรักษาระดับของเหลวให้เหมาะสม โดยใช้วิธีควบคุมระดับด้วยวิธีแบบเฉลี่ย
- อัตราส่วนระหว่างสายป้อนกลับเข้าหอกลับที่ยอดหอต่อสารป้อนเข้าหอกลับในชั้นที่ 28 ถูกเลือกเป็นตัวแปรควบคุม เนื่องจากตามทฤษฎีการควบคุมหอกลับต้องควบคุมปริมาณ reflux per feed ให้เหมาะสม
- สายป้อนเข้าหอกลับในชั้นที่ 28 เป็นตัวแปรรบกวน เนื่องจากไม่สามารถควบคุมปริมาณสารป้อนเข้าหอกลับได้ เพราะปริมาณสารป้อนเข้าหอกลับขึ้นอยู่กับกำลังการผลิตของหน่วยผลิตต้นทาง
- ปริมาณแนพทาหนักที่ถูกดึงออกจากด้านล่างหอกลับเป็นตัวแปรรบกวน เนื่องจากพนักงานควบคุมกระบวนการผลิตจะเป็นผู้กำหนดปริมาณแนพทาหนักที่ถูกดึงออกจากด้านล่างหอกลับ เพื่อควบคุมอุณหภูมิขาเข้าที่หน่วยการเกิดปฏิกิริยาถัดไปให้เหมาะสม

การควบคุมหอกลับแยกแนพทาตัวเบาแบบเดิมจะถูกควบคุมด้วยระบบการควบคุมแบบพีไอดีทั้งหมด โดยมีการควบคุมความดันที่ยอดหอกลับ (PC) มีการควบคุมระดับของเหลว (LC) มีการควบคุมอัตราการไหลต่างๆ (FC) มีการควบคุมอุณหภูมิที่ยอดหอกลับ (TC) และผู้วิจัยใช้ตัวควบคุมเชิงทำนายแบบจำลองร่วมกับการควบคุมแบบพีไอดีในการควบคุมหอกลับแยกแนพทาตัวเบา โดยความดันและอุณหภูมิที่ยอดหอกลับยังคงควบคุมด้วยระบบพีไอดีเดิม ส่วนการกำหนดอัตราการไหลของปริมาณแนพทาเบาที่ถูกดึงออกจากหอกลับในชั้นที่ 7 ของหอกลับ (MV1) ปริมาณไอน้ำที่ใช้เพื่อให้ความร้อนกับหอกลับ (MV2) และปริมาณแนพทาตัวเบาที่ป้อนกลับเข้าหอกลับที่ยอดหอ (MV3) โดยอัตราการไหลของตัวแปรปรับทั้ง 3 ตัวจะถูกกำหนดโดยการคำนวณจากแบบจำลองทางคณิตศาสตร์ (MPC) และส่งไปเป็นค่าเป้าหมาย (set point) เพื่อให้ระบบพีไอดีเดิมคำนวณและสั่งปรับวาล์วให้เหมาะสมกับค่าเป้าหมาย โดยรูปที่ 5.1(a) แสดงระบบการควบคุมหอกลับแยกแนพทาตัวเบาแบบเดิมคือถูกควบคุมด้วยการควบคุมแบบพีไอดีทั้งหมด และรูปที่ 5.1(b) แสดงระบบการควบคุมหอกลับแยกแนพทาตัวเบาด้วยตัวควบคุมเชิงทำนายแบบจำลองร่วมกับการควบคุมแบบพีไอดี และแสดงตำแหน่งตัวแปรควบคุม ตัวแปรปรับ และตัวแปรรบกวนทุกตัวในระบบการควบคุมหอกลับแยกแนพทาตัวเบา



(a) PID Control

(b) MPC with PID Control

รูปที่ 5.1 (a-b) แสดงระบบการควบคุมหอกลั่นแยกแฉกนพทาตัวเบา

ตัวแปรควบคุม ตัวแปรปรับ และตัวแปรรบกวนทั้งหมดถูกนำมาหาความสัมพันธ์เบื้องต้นโดยใช้หลักการพิจารณาตามทฤษฎีการควบคุมหอกลั่น เช่น เมื่อเพิ่มไอน้ำเพื่อให้ความร้อนแก่หอกลั่นเพิ่มขึ้น จะทำให้อุณหภูมิในหอกลั่นสูงขึ้น โดยขั้นตอนนี้ยังไม่สนใจว่าอุณหภูมิในหอกลั่นจะเพิ่มสูงขึ้นเท่าใด เพราะขั้นตอนนี้จะพิจารณาหาความสัมพันธ์เฉพาะทิศทาง

เมื่อปริมาณแฉกนพทาตัวเบา (MV1) ถูกดึงออกจากหอกลั่นมากขึ้น ทำให้ปริมาณแฉกนพทาตัวเบาในชั้นที่ 7 ของหอกลั่นลดลง และปริมาณแฉกนพทาตัวเบาที่ป้อนกลับเข้าหอกลั่นลดลง จึงส่งผลให้แฉกนพทาหนักจากด้านล่างหอกลั่นระเหยขึ้นมาด้านบนหอกลั่นมากขึ้น จึงส่งผลให้ปริมาณสารประกอบซิลเฟอรัในแฉกนพทาตัวเบา (CV1) สูงขึ้น อัตราส่วนระหว่างปริมาณแฉกนพทาตัวเบาต่อสารป้อนเข้า (CV2) มากขึ้น อุณหภูมิที่ด้านล่างหอกลั่น (CV3) อุณหภูมิที่ชั้นที่ 14 ของหอกลั่น (CV4) สูงขึ้น ระดับของแฉกนพทาตัวเบาในชั้นที่ 7 ของหอกลั่น (CV5) และระดับของแฉกนพทาหนักที่ด้านล่างหอกลั่น (CV6) ลดลง

เมื่อปริมาณไอน้ำที่ใช้เพื่อให้ความร้อนกับหอกลั่น (MV2) ถูกใช้มากขึ้นส่งผลให้อุณหภูมิภายในหอกลั่นสูงขึ้น ดังนั้นอุณหภูมิที่ด้านล่างหอกลั่น (CV3) อุณหภูมิที่ชั้นที่ 14 ของหอกลั่น (CV4) สูงขึ้น

เมื่อปริมาณเนพทาตัวเบาป้อนกลับเข้าหอกลั่นที่ยอดหอ (MV3) ถูกใช้มากขึ้นส่งผลให้อุณหภูมิภายในหอกลั่นลดลง ดังนั้นอุณหภูมิที่ด้านล่างหอกลั่น (CV3) อุณหภูมิที่ชั้นที่ 14 ของหอกลั่น (CV4) ลดลง อัตราส่วนระหว่างสายป้อนกลับเข้าหอกลั่นที่ยอดหอต่อสารป้อนเข้า (CV7) สูงขึ้น และระดับของเนพทาตัวเบาที่ถังพักบนยอดหอกลั่น (CV8) ลดลง

ดังคำอธิบายข้างต้นสามารถนำมาเขียนโครงสร้าง และทิศทางความสัมพันธ์ระหว่างตัวแปรควบคุม ตัวแปรปรับ และตัวแปรรบกวน ซึ่งแสดงดังตารางที่ 5.1

ตารางที่ 5.1 แสดงทิศทางความสัมพันธ์ระหว่างตัวแปรควบคุม ตัวแปรปรับ และตัวแปรรบกวน ของแบบจำลองหอกลั่นแยกเนพทาตัวเบา

| โครงสร้างแบบจำลอง | MV1 (LN flow) | MV2 (steam flow) | MV3 (reflux flow) | DV1 (feed flow) | DV2 (HN flow) |
|--------------------------------|------------------|---------------------|----------------------|--------------------|------------------|
| CV1 (sulfur content in LN) | ↑ | | | | |
| CV2 (LN per Feed ratio) | ↑ | | | ↓ | |
| CV3 (bottom temperature) | ↑ | ↑ | ↓ | | |
| CV4 (tray#14 temperature) | ↑ | ↑ | ↓ | | |
| CV5 (LN level) | ↓ | | | | |
| CV6 (bottom level) | ↓ | | | | ↓ |
| CV7 (reflux per feed ratio) | | | ↑ | ↓ | |
| CV8 (reflux drum level) | | | ↓ | | |

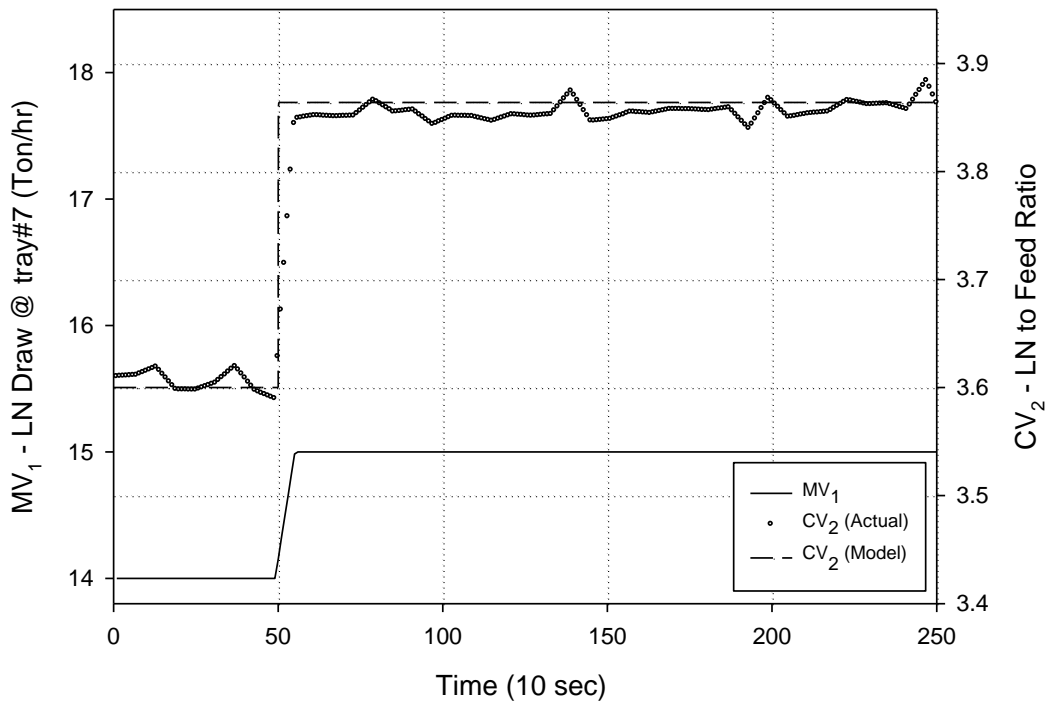
สัญลักษณ์ลูกศรชี้ขึ้น ↑ หมายถึง ตัวแปรควบคุม และตัวแปรปรับมีทิศทางเดียวกัน กล่าวคือเมื่อปรับค่าตัวแปรปรับเพิ่มขึ้นจะทำให้ตัวแปรควบคุมมีค่าเพิ่มขึ้น

สัญลักษณ์ลูกศรชี้ลง ↓ หมายถึง ตัวแปรควบคุม และตัวแปรปรับมีทิศทางตรงข้ามกัน กล่าวคือเมื่อปรับค่าตัวแปรปรับเพิ่มขึ้นจะทำให้ตัวแปรควบคุมมีค่าลดลง

5.2 การทดสอบแบบสเต็ปของหอกลิ้นแยกแนวพาตัวเบา (Plant Step Test)

เมื่อออกแบบโครงสร้าง และทิศทางความสัมพันธ์ระหว่างตัวแปรควบคุม ตัวแปรปรับ และตัวแปรรบกวนของแบบจำลอง แสดงดังตารางที่ 5.1 ผู้วิจัยจะตรวจสอบโครงสร้างและทิศทางของแบบจำลอง โดยการทดสอบแบบสเต็ปในกระบวนการผลิตจริง เพื่อให้ได้ข้อมูลพฤติกรรมของตัวแปรขาออกเมื่อตัวแปรขาเข้ามีการเปลี่ยนแปลงแบบสเต็ป เนื่องจากกระบวนการผลิตปกติจะถูกรบกวนด้วยตัวแปรรบกวนต่างๆ ทั้งที่ไม่สามารถควบคุม และไม่สามารถวัดค่าได้ โดยเทคนิคการทดสอบแบบสเต็ปนั้น ขนาดการปรับของตัวแปรปรับมีความสำคัญมาก กล่าวคือขนาดของตัวแปรปรับต้องมีขนาดมากกว่าขนาดที่ใช้ปรับเพื่อควบคุมกระบวนการผลิตในช่วงปกติ และเมื่อมีการปรับเพิ่มค่าตัวแปรปรับแล้วตัวแปรควบคุมที่สนใจต้องมีผลการตอบสนองมากกว่าค่าการแกว่งตัวอันเนื่องมาจากสัญญาณรบกวนตามกระบวนการผลิตปกติ

การทดสอบแบบสเต็ประหว่างปริมาณแนวพาตัวเบาที่ถูกดึงออกจากหอกลิ้น (MV1) กับอัตราส่วนระหว่างปริมาณแนวพาตัวเบาต่อสารป้อนเข้าหอกลิ้น (CV2) ปกติพนักงานควบคุมกระบวนการผลิตจะปรับปริมาณแนวพาตัวเบาที่ถูกดึงออกจากหอกลิ้นในขั้นที่ 7 ของหอกลิ้นเพิ่มขึ้นหรือลดลงครั้งละไม่เกิน 300 กิโลกรัมต่อชั่วโมง ในการทดสอบแบบสเต็ปจะปรับปริมาณแนวพาตัวเบาที่ถูกดึงออกจากหอกลิ้นเพิ่มขึ้นเป็นครั้งละ 1,000 กิโลกรัมต่อชั่วโมง เพื่อให้เห็นการเปลี่ยนแปลงของอัตราส่วนระหว่างปริมาณแนวพาตัวเบาต่อสารป้อนเข้าหอกลิ้นอย่างชัดเจน และจากรูปที่ 5.1 จะเห็นได้ว่าผลการตอบสนองของตัวแปรขาออกเมื่อมีการทดสอบแบบสเต็ป ขนาดการเปลี่ยนแปลงของตัวแปรขาออกมีขนาดมากกว่าค่าการแกว่งตัวของตัวแปรขาออกตามกระบวนการผลิตปกติ โดยข้อมูลจากการทดสอบแบบสเต็ปจะถูกนำไปหาค่าอัตราขยาย (gain, K) ค่าเวลาของกระบวนการ (process time, τ) และเวลาเฉื่อย (dead time, t_d) ของแบบจำลองได้การทดสอบแบบสเต็ประหว่างปริมาณแนวพาตัวเบาที่ถูกดึงออกจากหอกลิ้น กับอัตราส่วนระหว่างปริมาณแนวพาตัวเบาต่อสารป้อนเข้าหอกลิ้น สามารถแสดงดังรูปที่ 5.2



รูปที่ 5.2 แสดงตัวอย่างการทดสอบแบบสแต็ประหว่างปริมาณเนพทาตัวเบาที่ถูกดึงออกจากหอกลั่น (MV1) กับอัตราส่วนระหว่างปริมาณเนพทาตัวเบาต่อสารป้อนเข้าหอกลั่น (CV2)

การทดสอบแบบสแต็ปสามารถแบ่งเป็น 4 ตอน ดังนี้

ตอนที่ 1 ศึกษาการตอบสนองของตัวแปรขาออกทุกตัวต่อการเปลี่ยนแปลงตัวแปรขาเข้าคือ ปริมาณเนพทาตัวเบาที่ถูกดึงออกจากหอกลั่นในชั้นที่ 7 ของหอกลั่น (MV1) โดยมีขั้นตอนดังนี้

1. ทำการปรับเพิ่มตัวแปรขาเข้าจาก 14,000 กิโลกรัมต่อชั่วโมง เป็น 15,000 กิโลกรัมต่อชั่วโมง
2. สังเกตผลการตอบสนองของตัวแปรขาออกทุกตัว โดยขนาดการเปลี่ยนแปลงของตัวแปรขาออกทุกตัวต้องมีขนาดมากกว่าค่าการแกว่งตัวของตัวแปรขาออกตามกระบวนการผลิตปกติ
3. เปรียบเทียบทิศทางการตอบสนองของตัวแปรขาออกทุกตัว กับโครงสร้างแบบจำลองที่ได้ ออกแบบไว้ดังตารางที่ 5.1 ถ้าทิศทางการตอบสนองของตัวแปรขาออกมีทิศทางตรงกันข้าม ให้ทำการทดสอบแบบสแต็ปอีกครั้งเพื่อยืนยันผลการตอบสนองของตัวแปรขาออก
4. เก็บบันทึกข้อมูลของการตอบสนองของตัวแปรขาออกทุกตัว

ตอนที่ 2 ศึกษาการตอบสนองของตัวแปรขาออกทุกตัวต่อการเปลี่ยนแปลงตัวแปรขาเข้า คือ ปริมาณไอน้ำที่ใช้เพื่อให้ความร้อนกับหอกลั่น (MV2) โดยมีขั้นตอนดังนี้

1. ทำการปรับลดค่าตัวแปรขาเข้าจาก 7,550 กิโลกรัมต่อชั่วโมง เป็น 7,300 กิโลกรัมต่อชั่วโมง
2. สังเกตผลการตอบสนองของตัวแปรขาออกทุกตัว โดยขนาดการเปลี่ยนแปลงของตัวแปรขาออกทุกตัวต้องมีขนาดมากกว่าค่าการแกว่งตัวของตัวแปรขาออกตามกระบวนการผลิตปกติ
3. เปรียบเทียบทิศทางการตอบสนองของตัวแปรขาออกทุกตัว กับโครงสร้างแบบจำลองที่ได้ ออกแบบไว้ดังตารางที่ 5.1 ถ้าทิศทางการตอบสนองของตัวแปรขาออกมีทิศทางตรงกันข้าม ให้ทำการทดสอบแบบสแต็ปอีกครั้งเพื่อยืนยันผลการตอบสนองของตัวแปรขาออก
4. เก็บบันทึกข้อมูลของการตอบสนองของตัวแปรขาออกทุกตัว

ตอนที่ 3 ศึกษาการตอบสนองของตัวแปรขาออกทุกตัวต่อการเปลี่ยนแปลงตัวแปรขาเข้า คือ ปริมาณแฉกพาตัวเบาป้อนกลับเข้าหอกลิ้นที่ยอดหอ (MV3) โดยมีขั้นตอนดังนี้

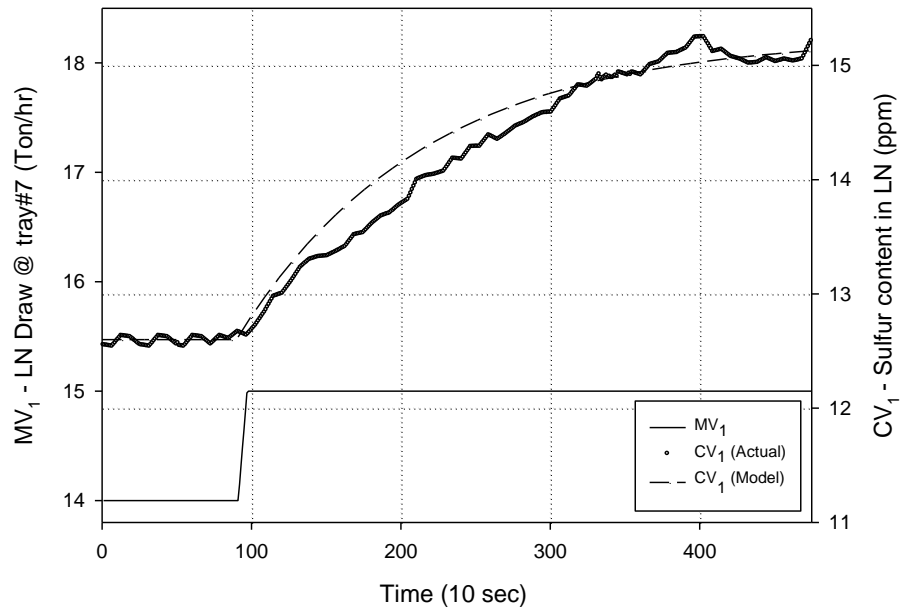
1. ทำการปรับเพิ่มค่าตัวแปรขาเข้าจาก 19,500 กิโลกรัมต่อชั่วโมง เป็น 21,000 กิโลกรัมต่อชั่วโมง
2. สังเกตผลการตอบสนองของตัวแปรขาออกทุกตัว โดยขนาดการเปลี่ยนแปลงของตัวแปรขาออกทุกตัวต้องมีขนาดมากกว่าค่าการแกว่งตัวของตัวแปรขาออกตามกระบวนการผลิตปกติ
3. เปรียบเทียบทิศทางการตอบสนองของตัวแปรขาออกทุกตัว กับโครงสร้างแบบจำลองที่ได้ ออกแบบไว้ดังตารางที่ 5.1 ถ้าทิศทางการตอบสนองของตัวแปรขาออกมีทิศทางตรงกันข้าม ให้ทำการทดสอบแบบสแต็ปอีกครั้งเพื่อยืนยันผลการตอบสนองของตัวแปรขาออก
4. เก็บบันทึกข้อมูลของการตอบสนองของตัวแปรขาออกทุกตัว

ตารางสรุปเงื่อนไขที่ใช้ในการทดสอบแบบสแต็ปถูกแสดงดังตารางที่ 5.2

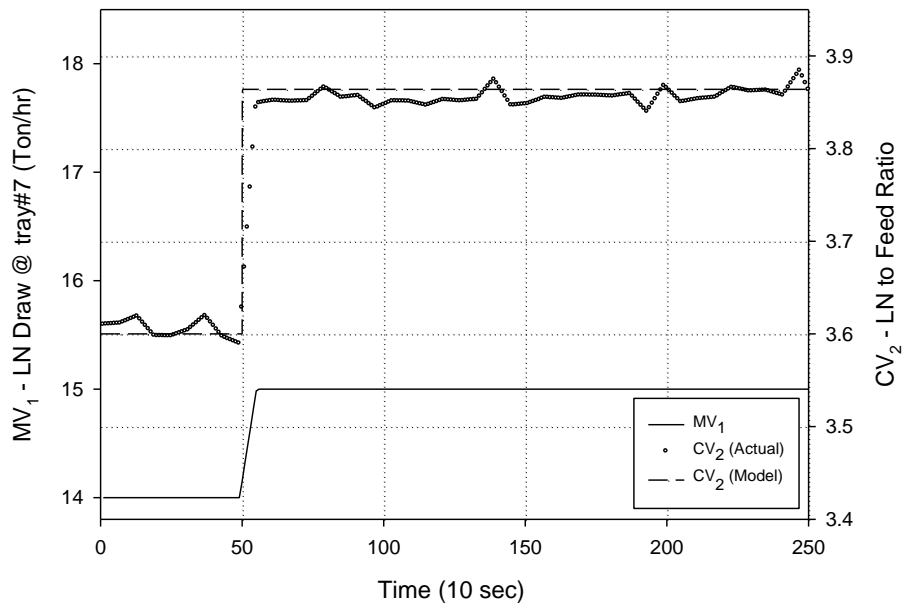
ตารางที่ 5.2 แสดงเงื่อนไขการทดสอบแบบสแต็ปที่หอกลิ้นแยกแฉกพาตัวเบา

| รายการ | ปริมาณแฉกพาตัวเบาที่ถูกดึงออกจากหอกลิ้น (MV1) | ปริมาณไอน้ำที่ใช้เพื่อให้ความร้อนกับหอกลิ้น (MV2) | ปริมาณแฉกพาตัวเบาป้อนกลับเข้าหอกลิ้นที่ยอดหอ (MV3) |
|--|---|---|--|
| อัตราการเปลี่ยนแปลงตัวแปรขาเข้าในกระบวนการผลิตปกติ | 400 กิโลกรัมต่อชั่วโมง | 100 กิโลกรัมต่อชั่วโมง | 1,000 กิโลกรัมต่อชั่วโมง |
| อัตราการเปลี่ยนแปลงตัวแปรขาเข้าเมื่อทำการทดสอบแบบสแต็ป | 1,000 กิโลกรัมต่อชั่วโมง | 250 กิโลกรัมต่อชั่วโมง | 1,500 กิโลกรัมต่อชั่วโมง |

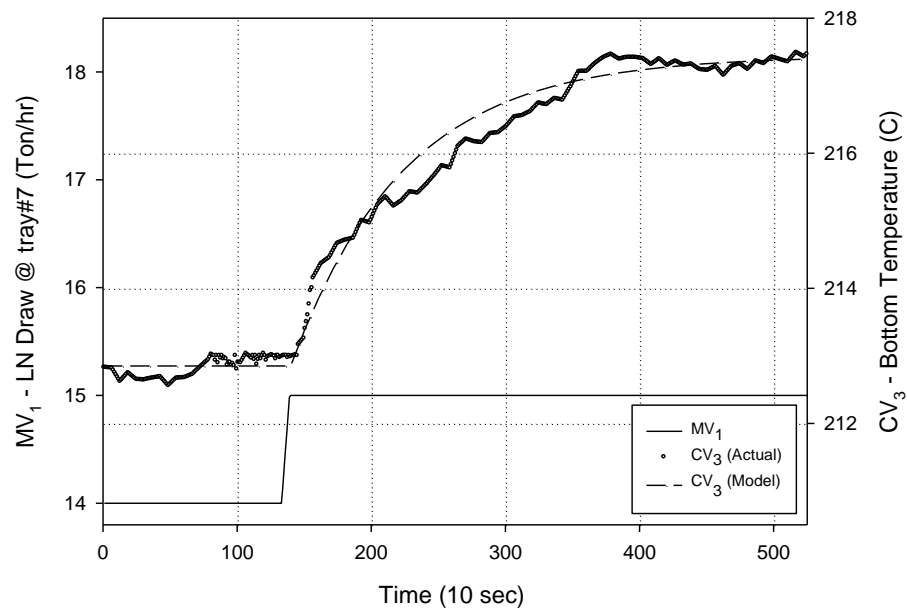
ผลการทดสอบแบบสแต็ปของตัวแปรขาเข้าที่ 1 ต่อตัวแปรขาออกถูกแสดงดังรูปที่ 5.3 ถึงรูปที่ 5.8 ตามลำดับ



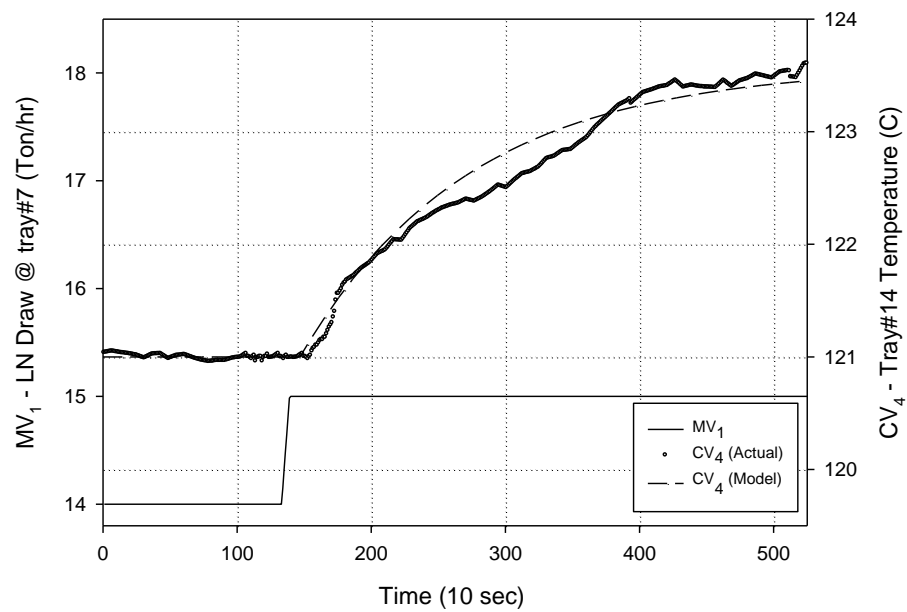
รูปที่ 5.3 แสดงพฤติกรรมการตอบสนองของตัวแปรขาออก CV1 เมื่อมีการปรับตัวแปรขาเข้า MV1



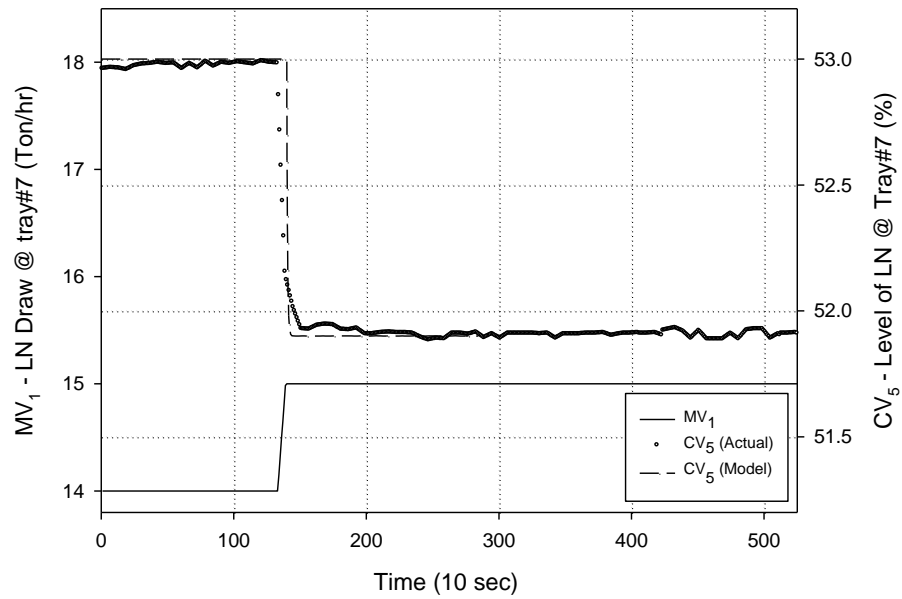
รูปที่ 5.4 แสดงพฤติกรรมการตอบสนองของตัวแปรขาออก CV2 เมื่อมีการปรับตัวแปรขาเข้า MV1



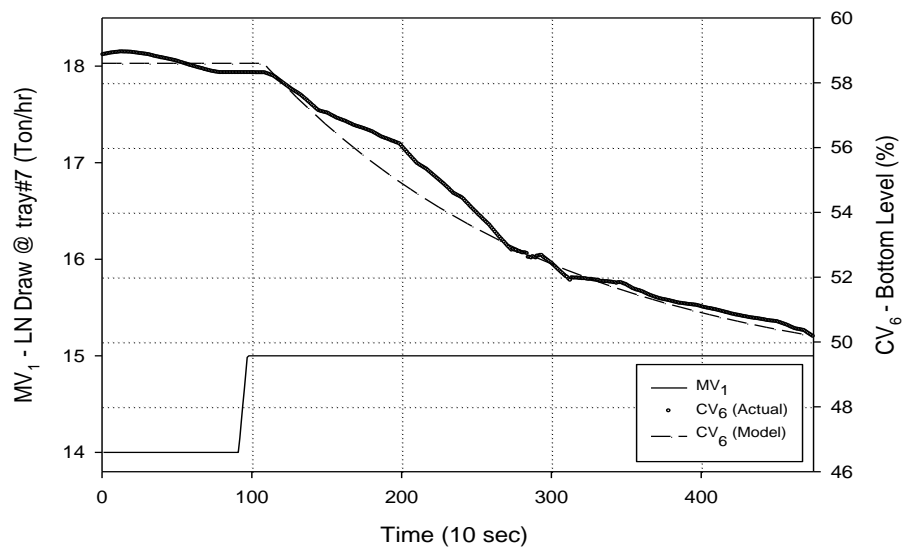
รูปที่ 5.5 แสดงพฤติกรรม การตอบสนองของตัวแปรขาออก CV3 เมื่อมีการปรับตัวแปรขาเข้า MV1



รูปที่ 5.6 แสดงพฤติกรรม การตอบสนองของตัวแปรขาออก CV4 เมื่อมีการปรับตัวแปรขาเข้า MV1

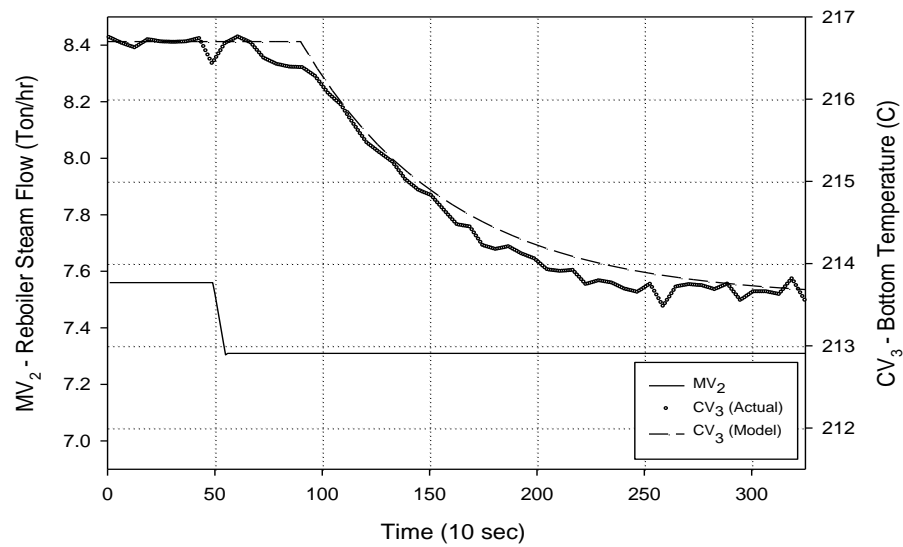


รูปที่ 5.7 แสดงพฤติกรรมตอบสนองของตัวแปรขาออก CV5 เมื่อมีการปรับตัวแปรขาเข้า MV1

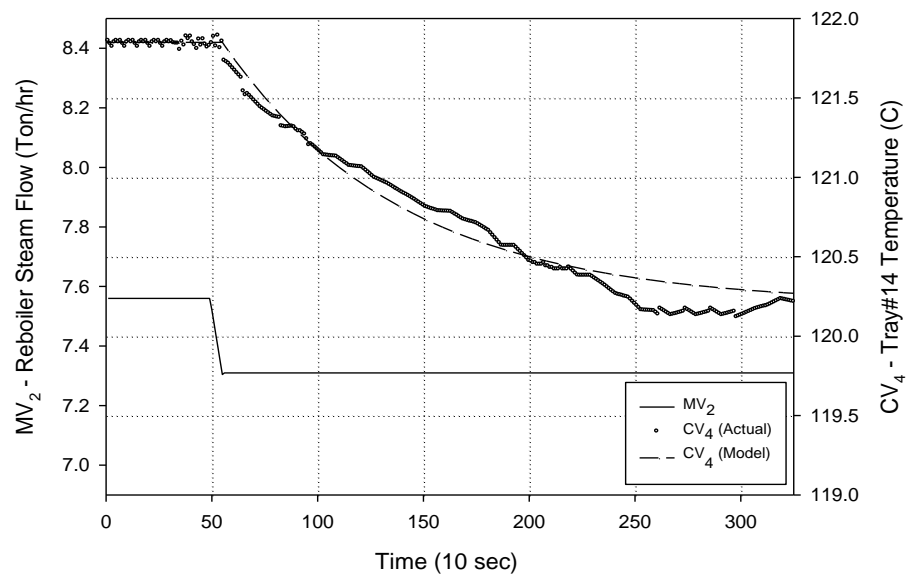


รูปที่ 5.8 แสดงพฤติกรรมตอบสนองของตัวแปรขาออก CV6 เมื่อมีการปรับตัวแปรขาเข้า MV1

ผลการทดสอบแบบสแต็ปของตัวแปรขาเข้าที่ 2 ต่อตัวแปรขาออกถูกแสดงดังรูปที่ 5.9 ถึงรูปที่ 5.10 ตามลำดับ

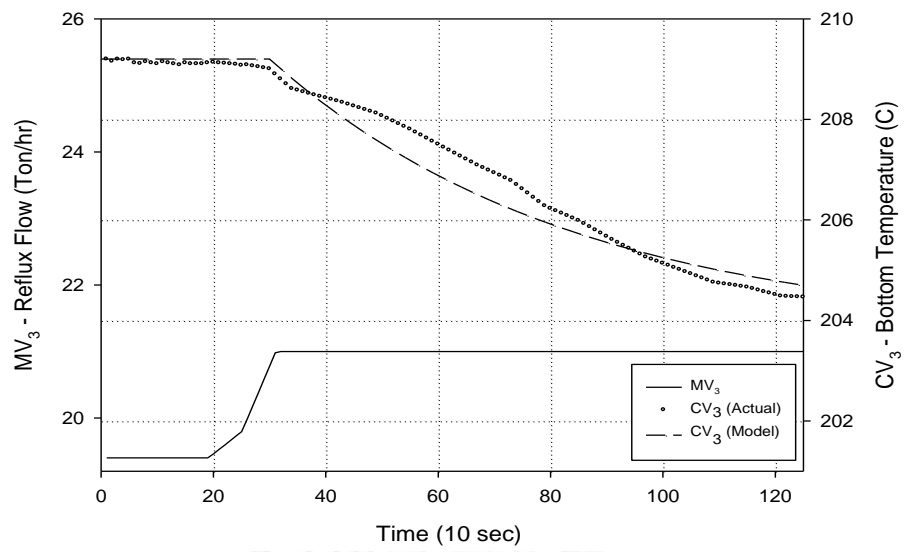


รูปที่ 5.9 แสดงพฤติกรรมตอบสนองของตัวแปรขาออก CV3 เมื่อมีการปรับตัวแปรขาเข้า MV2

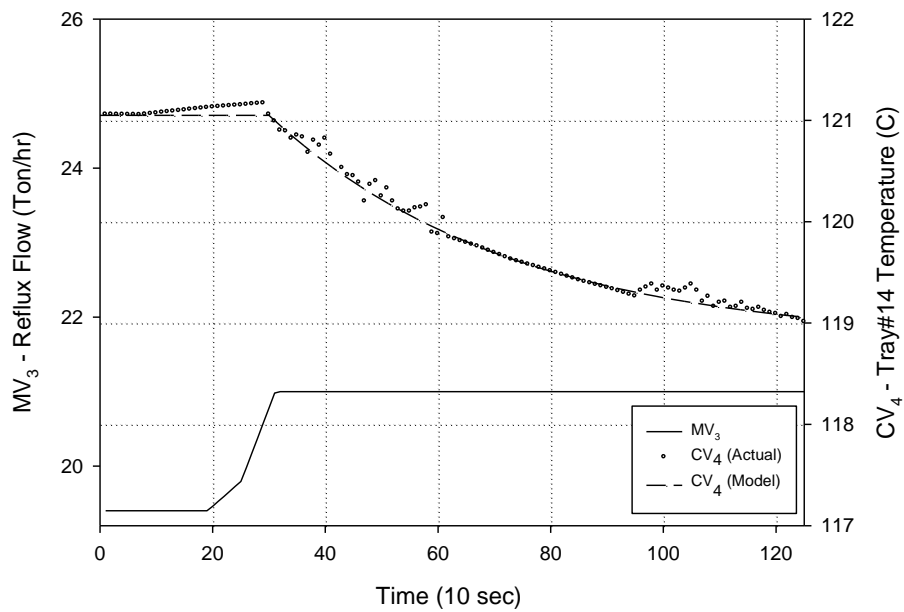


รูปที่ 5.10 แสดงพฤติกรรมตอบสนองของตัวแปรขาออก CV4 เมื่อมีการปรับตัวแปรขาเข้า MV2

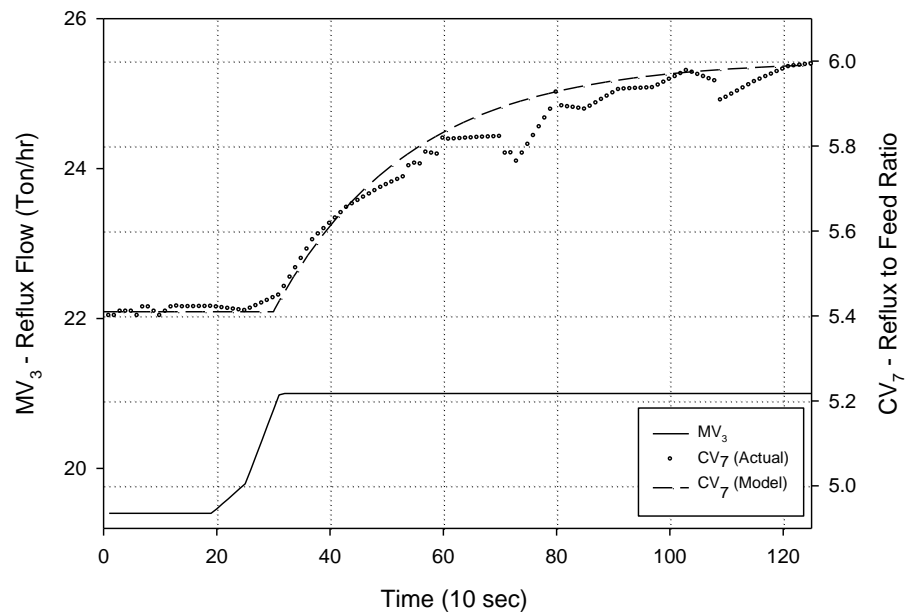
ผลการทดสอบแบบสแต็ปของตัวแปรขาเข้าที่ 3 ต่อตัวแปรขาออกถูกแสดงดังรูปที่ 5.11 ถึงรูปที่ 5.14 ตามลำดับ



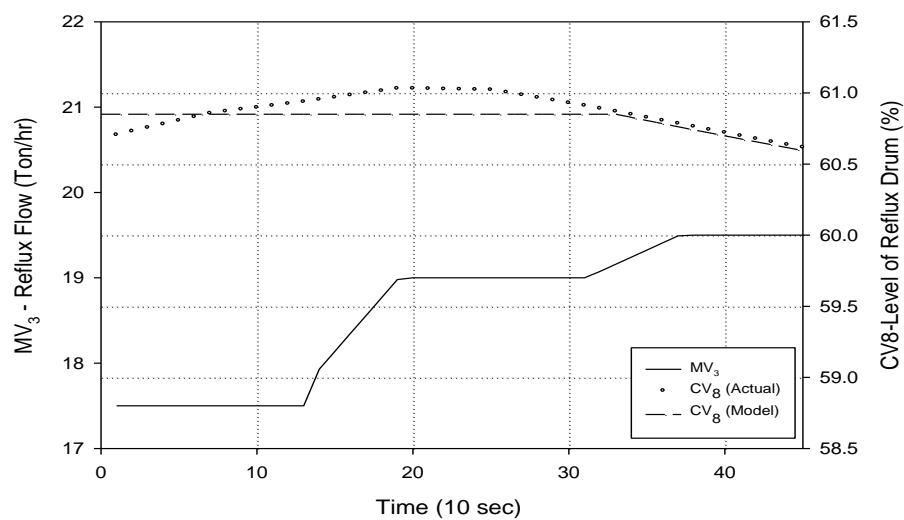
รูปที่ 5.11 แสดงพฤติกรรมตอบสนองของตัวแปรขาออก CV3 เมื่อมีการปรับตัวแปรขาเข้า MV3



รูปที่ 5.12 แสดงพฤติกรรมตอบสนองของตัวแปรขาออก CV4 เมื่อมีการปรับตัวแปรขาเข้า MV3

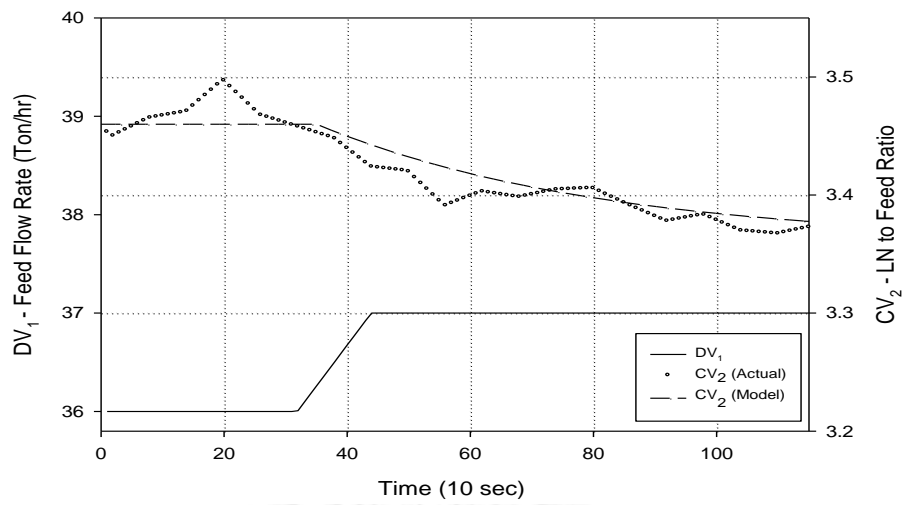


รูปที่ 5.13 แสดงพฤติกรรมของการตอบสนองของตัวแปรขาออก CV7 เมื่อมีการปรับตัวแปรขาเข้า MV3

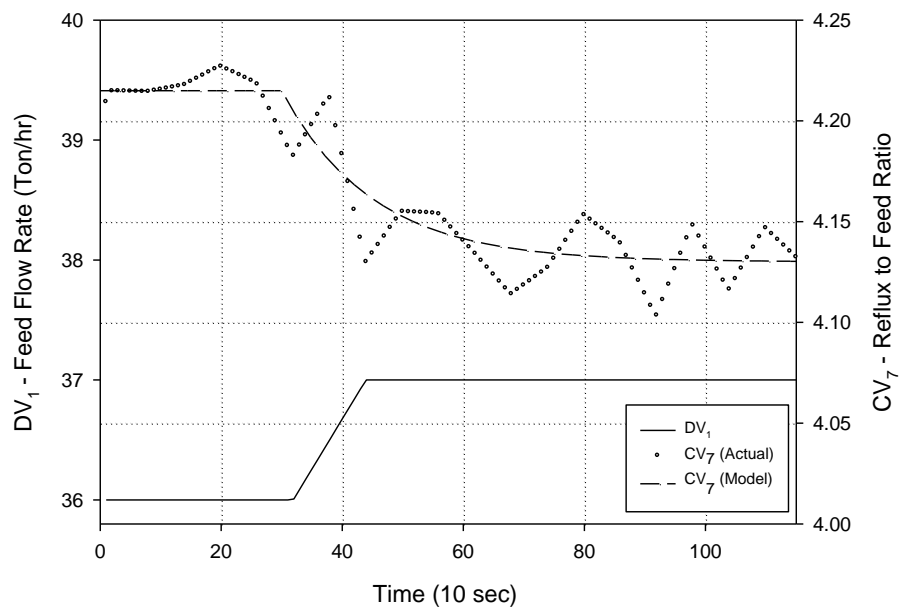


รูปที่ 5.14 แสดงพฤติกรรมของการตอบสนองของตัวแปรขาออก CV8 เมื่อมีการปรับตัวแปรขาเข้า MV3

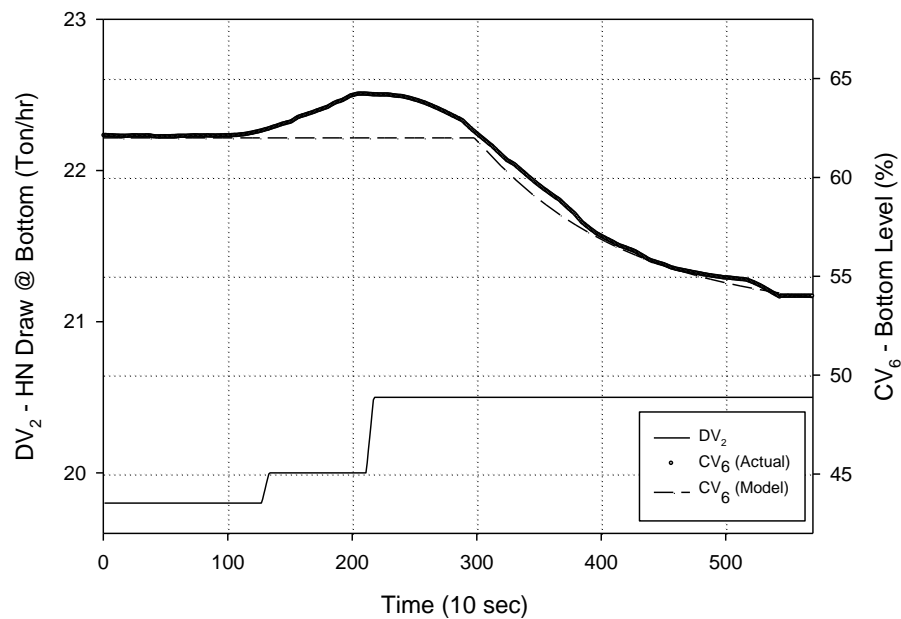
ตอนที่ 4 ศึกษาการตอบสนองของตัวแปรขาออกต่อการเปลี่ยนแปลงตัวแปรบวกรวมทั้งสองตัว คือปริมาณสารป้อนเข้าหอกลั่นในชั้นที่ 28 (DV1) และปริมาณแนพทาหนักที่ถูกดึงออกจากด้านล่างหอกลั่น (DV2) โดยมีผลการทดสอบแบบสเต็ปของตัวแปรบวกรวมที่ 1 และตัวแปรบวกรวมที่ 2 แสดงดังรูปที่ 5.15 ถึงรูปที่ 5.17 ตามลำดับ



รูปที่ 5.15 แสดงพฤติกรรมตอบสนองของตัวแปรขาออก CV2
เมื่อมีการปรับตัวแปรรบกวน DV1



รูปที่ 5.16 แสดงพฤติกรรมตอบสนองของตัวแปรขาออก CV7
เมื่อมีการปรับตัวแปรรบกวน DV1



รูปที่ 5.17 แสดงพฤติกรรมตอบสนองของตัวแปรขาออก CV6
เมื่อมีการปรับตัวแปรรบกวน DV2

5.3 การสร้างแบบจำลอง โดยใช้ข้อมูลจากการทดสอบแบบสแต็ป

ผู้วิจัยนำข้อมูลการตอบสนองของตัวแปรขาออกที่ได้จากการทดสอบแบบสแต็ป มาหาแบบจำลองกระบวนการ ซึ่งแบบจำลองกระบวนการที่สร้างขึ้นอยู่ภายใต้สมมุติฐานของกระบวนการตอบสนองที่กำลังพิจารณาอยู่นั้นมีลักษณะเป็นแบบระบบอันดับหนึ่งที่มีเวลาเฉื่อย โดยสมมุติฐานนี้มีความแม่นยำเพียงพอในการนำไปประยุกต์ใช้สำหรับอธิบายพฤติกรรมของการตอบสนองของกระบวนการได้ โดยข้อดีของวิธีนี้คือเป็นวิธีที่ง่ายและเป็นที่ยอมรับใช้กันอย่างแพร่หลายในอุตสาหกรรมการผลิตจริง โดยสมการสมการการถ่ายโอนของแต่ละกระบวนการย่อยมีสมการดังสมการที่ 5.1

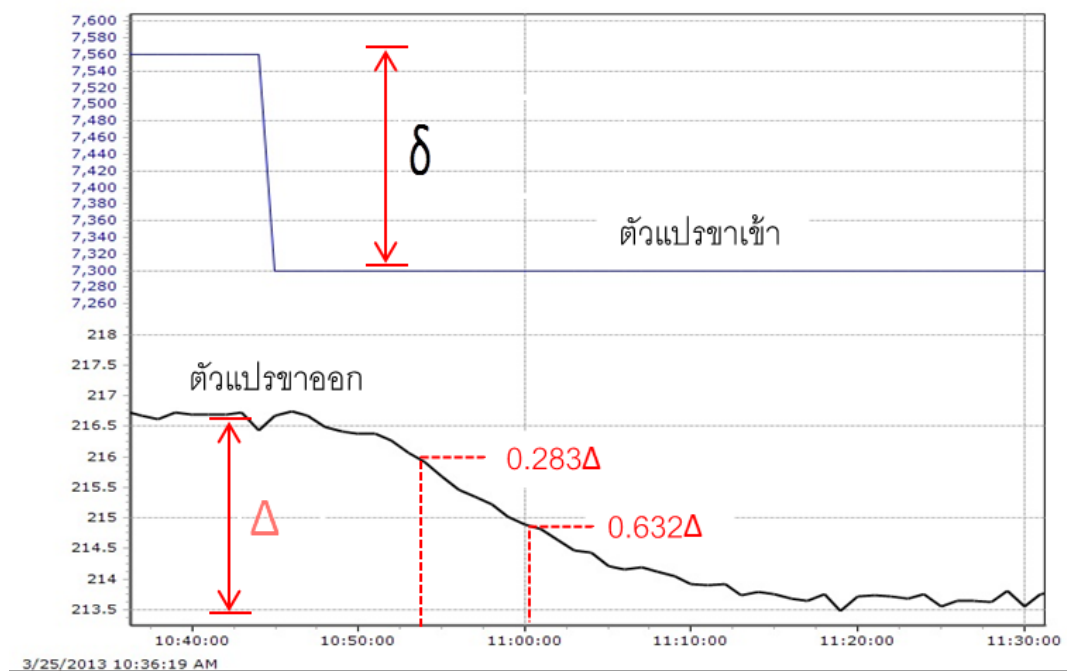
$$G(s) = \frac{Ke^{-t_d s}}{\tau s + 1} \quad (5.1)$$

| | | | |
|--------|--------|-----|---------------------------------|
| โดยที่ | $G(s)$ | คือ | สมการการถ่ายโอนของกระบวนการ |
| | K | คือ | ค่าอัตราขยาย (gain) |
| | t_d | คือ | เวลาเฉื่อย (dead time) |
| | τ | คือ | เวลาของกระบวนการ (process time) |

การหาค่าของพารามิเตอร์ของสมการสมการการถ่ายโอนของกระบวนการสามารถคำนวณหาค่าพารามิเตอร์ โดยใช้กราฟการตอบสนองซึ่งข้อมูลที่ได้จากกราฟการตอบสนองคือ

1. ขนาดของการเปลี่ยนแปลงของตัวแปรขาเข้า (δ)
2. ขนาดของการเปลี่ยนแปลงของตัวแปรขาออก (Δ)
3. เวลาที่ตัวแปรขาออกมีค่าเท่ากับ 28.3% และ 63.2 % ของค่าสุดท้าย

โดยรูปที่ 5.18 แสดงกราฟการตอบสนองของกระบวนการสำหรับการคำนวณหาค่าพารามิเตอร์ของสมการสมการการถ่ายโอน



รูปที่ 5.18 แสดงกราฟการตอบสนองของกระบวนการ

จากรูปที่ 5.18 สามารถนำค่าที่อ่านได้จากกราฟมาคำนวณ เพื่อหาค่าพารามิเตอร์ของฟังก์ชันการถ่ายโอนของกระบวนการ โดยหาค่าอัตราขยาย (K) จากสมการที่ 5.2

$$K = \frac{\Delta}{\delta} \quad (5.2)$$

โดยที่ Δ คือ ขนาดการเปลี่ยนแปลงของตัวแปรขาออก
 δ คือ ขนาดการเปลี่ยนแปลงของตัวแปรขาเข้า

หาค่าเวลาของกระบวนการ (process time, τ) จากสมการที่ 5.3

$$\tau = 1.5 \times (t_{63.2\%} - t_{28.3\%}) \quad (5.3)$$

โดยที่ $t_{28.3\%}$ คือ เวลาที่ค่าตัวแปรขาออกมีค่าเท่ากับ 28.3% ของค่าสุดท้าย
 $t_{63.2\%}$ คือ เวลาที่ค่าตัวแปรขาออกมีค่าเท่ากับ 63.2% ของค่าสุดท้าย

โดยค่าตัวแปรขาออกมีค่าเท่ากับ 28.3% และ 63.2 % ของค่าสุดท้าย สามารถหาได้จากสมการที่ 5.4 และสมการที่ 5.5 ตามลำดับ

$$\text{ค่าของตัวแปรขาออกที่ 28.3\% ของค่าสุดท้าย} = \text{ค่าเริ่มต้น} + (\Delta \times 0.283) \quad (5.4)$$

$$\text{ค่าของตัวแปรขาออกที่ 63.2\% ของค่าสุดท้าย} = \text{ค่าเริ่มต้น} + (\Delta \times 0.632) \quad (5.5)$$

หาค่าเวลาเฉื่อย (dead time, t_d) จากสมการที่ 5.6

$$t_d = t_{63.2\%} - \tau \quad (5.6)$$

ตัวอย่างการหาค่าพารามิเตอร์ของสมการการถ่ายโอนของกระบวนการด้วยวิธีการกราฟการตอบสนองดังที่กล่าวมาข้างต้น โดยใช้ข้อมูลผลการตอบสนองของตัวแปรขาออก (CV2) ต่อการปรับตัวแปรขาเข้า (MV1) ที่ได้จากการทดสอบแบบสเต็ปที่ถูกแสดงดังรูปที่ 5.2

- หาค่าอัตราขยาย (K) ได้ดังสมการที่ 5.7

$$K = \frac{\Delta}{\delta} = \frac{0.264}{1} = 0.264 \quad (5.7)$$

- หาค่าของตัวแปรขาออกที่ 28.3% ของค่าสุดท้าย ได้ดังสมการที่ 5.8

$$\begin{aligned} \text{ค่าของตัวแปรขาออกที่ 28.3\% ของค่าสุดท้าย} &= \text{ค่าเริ่มต้น} + (\Delta \times 0.283) \\ &= 3.583 + (0.264 \times 0.283) \\ &= 3.658 \end{aligned} \quad (5.8)$$

- หาค่าของตัวแปรขาออกที่ 63.2% ของค่าสุดท้าย ได้ดังสมการที่ 5.9

$$\begin{aligned}
 \text{ค่าของตัวแปรขาออกที่ 63.2% ของค่าสุดท้าย} &= \text{ค่าเริ่มต้น} + (\Delta \times 0.632) \\
 &= 3.583 + (0.264 \times 0.632) \\
 &= 3.750
 \end{aligned} \tag{5.9}$$

- หาค่าเวลาของกระบวนการ (process time, τ) ได้ดังสมการที่ 5.10

$$\begin{aligned}
 \tau &= 1.5 \times (t_{63.2\%} - t_{28.3\%}) \\
 &= 1.5 \times (0.339 - 0.114) \\
 &= 0.338
 \end{aligned} \tag{5.10}$$

- หาค่าเวลาเฉื่อย (dead time, t_d) ได้ดังสมการที่ 5.11

$$\begin{aligned}
 t_d &= t_{63.2\%} - \tau \\
 &= 0.339 - 0.338 \\
 &= 0.001 \approx 0
 \end{aligned} \tag{5.11}$$

ดังนั้นฟังก์ชันการถ่ายโอนของผลตอบสนองของตัวแปรขาออก (CV2) ต่อการปรับตัวแปรขาเข้า (MV1) ที่ได้จากการทดสอบแบบสเต็มป์สามารถแสดงดังสมการที่ 5.12

$$\frac{CV2(s)}{MV1(s)} = \frac{0.264}{0.338s + 1} \tag{5.12}$$

ค่าพารามิเตอร์ของสมการการถ่ายโอนของผลการตอบสนองของตัวแปรขาออกทุกตัวต่อการปรับตัวแปรขาเข้าตัวที่ 1 (MV1) แบบสเต็มป์แสดงดังสมการที่ 5.13 - 5.20

ค่าพารามิเตอร์ของสมการการถ่ายโอนของผลการตอบสนองของตัวแปรขาออกทุกตัวต่อการปรับตัวแปรขาเข้าตัวที่ 2 (MV2) แบบสเต็มป์แสดงดังสมการที่ 5.21 - 5.28

ค่าพารามิเตอร์ของสมการการถ่ายโอนของผลการตอบสนองของตัวแปรขาออกทุกตัวต่อการปรับตัวแปรขาเข้าตัวที่ 3 (MV3) แบบสเต็มป์แสดงดังสมการที่ 5.29 - 5.36

และค่าพารามิเตอร์ของสมการการถ่ายโอนของผลการตอบสนองของตัวแปรขาออกต่อตัวแปรรบกวน ถูกแสดงดังสมการที่ 5.37 - 5.39

ฟังก์ชันการถ่ายโอนของตัวแปรขาออกทุกตัวต่อการปรับตัวแปรขาเข้าตัวที่ 1 (MV1)

$$\frac{CV1(s)}{MV1(s)} = \frac{2.65}{125s+1} \quad (5.13)$$

$$\frac{CV2(s)}{MV1(s)} = \frac{0.264}{0.338s+1} \quad (5.14)$$

$$\frac{CV3(s)}{MV1(s)} = \frac{4.59}{98s+1} \quad (5.15)$$

$$\frac{CV4(s)}{MV1(s)} = \frac{2.58e^{-7s}}{126.2s+1} \quad (5.16)$$

$$\frac{CV5(s)}{MV1(s)} = \frac{-1.1}{0.6s+1} \quad (5.17)$$

$$\frac{CV6(s)}{MV1(s)} = \frac{-10e^{-18s}}{199s+1} \quad (5.18)$$

$$\frac{CV7(s)}{MV1(s)} = 0 \quad (5.19)$$

$$\frac{CV8(s)}{MV1(s)} = 0 \quad (5.20)$$

ฟังก์ชันการถ่ายโอนของตัวแปรขาออกทุกตัวต่อการปรับตัวแปรขาเข้าตัวที่ 2 (MV2)

$$\frac{CV1(s)}{MV2(s)} = 0 \quad (5.21)$$

$$\frac{CV2(s)}{MV2(s)} = 0 \quad (5.22)$$

$$\frac{CV3(s)}{MV2(s)} = \frac{12.5e^{-40s}}{70s+1} \quad (5.23)$$

$$\frac{CV4(s)}{MV2(s)} = \frac{6.6e^{-5s}}{85s+1} \quad (5.24)$$

$$\frac{CV5(s)}{MV2(s)} = 0 \quad (5.25)$$

$$\frac{CV6(s)}{MV2(s)} = 0 \quad (5.26)$$

$$\frac{CV7(s)}{MV2(s)} = 0 \quad (5.27)$$

$$\frac{CV8(s)}{MV2(s)} = 0 \quad (5.28)$$

ฟังก์ชันการถ่ายโอนของตัวแปรขาออกทุกตัวต่อการปรับตัวแปรขาเข้าตัวที่ 3 (MV3)

$$\frac{CV1(s)}{MV3(s)} = 0 \quad (5.29)$$

$$\frac{CV2(s)}{MV3(s)} = 0 \quad (5.30)$$

$$\frac{CV3(s)}{MV3(s)} = \frac{-3.4e^{-6s}}{54s+1} \quad (5.31)$$

$$\frac{CV4(s)}{MV3(s)} = \frac{-1.4e^{-6s}}{43s+1} \quad (5.32)$$

$$\frac{CV5(s)}{MV3(s)} = 0 \quad (5.33)$$

$$\frac{CV6(s)}{MV3(s)} = 0 \quad (5.34)$$

$$\frac{CV7(s)}{MV3(s)} = \frac{0.37}{24s+1} \quad (5.35)$$

$$\frac{CV8(s)}{MV3(s)} = \frac{-1.26e^{-20s}}{112s+1} \quad (5.36)$$

ฟังก์ชันการถ่ายโอนของตัวแปรขาออกต่อตัวแปรรบกวนที่ 1 และตัวแปรรบกวนที่ 2

$$\frac{CV2(s)}{DV1(s)} = \frac{-0.1e^{-5s}}{46s+1} \quad (5.37)$$

$$\frac{CV7(s)}{DV1(s)} = \frac{-0.065}{15s+1} \quad (5.38)$$

$$\frac{CV6(s)}{DV2(s)} = \frac{-12.9e^{-170s}}{120s+1} \quad (5.39)$$

จากฟังก์ชันการถ่ายโอนของตัวแปรขาเข้าทุกตัว ตัวแปรขาออกทุกตัว รวมทั้งตัวแปรรบกวนทุกตัว สามารถนำมาเขียนเป็นฟังก์ชันการถ่ายโอนของระบบรวมในรูปแบบเมทริกซ์ได้ดังสมการที่ 5.40

$$\begin{aligned}
 & \begin{bmatrix} CV1(s) \\ CV2(s) \\ CV3(s) \\ CV4(s) \\ CV5(s) \\ CV6(s) \\ CV7(s) \\ CV8(s) \end{bmatrix} = \begin{bmatrix} \frac{2.65}{125s+1} & 0 & 0 \\ \frac{0.264}{0.338s+1} & 0 & 0 \\ \frac{4.59}{98s+1} & \frac{12.5e^{-40s}}{70s+1} & \frac{-3.4e^{-6s}}{54s+1} \\ \frac{2.58e^{-7s}}{2.58e^{-7s}} & \frac{6.6e^{-5s}}{6.6e^{-5s}} & \frac{-1.4e^{-6s}}{-1.4e^{-6s}} \\ \frac{126.2s+1}{126.2s+1} & \frac{85s+1}{85s+1} & \frac{43s+1}{43s+1} \\ \frac{-1.1}{0.6s+1} & 0 & 0 \\ \frac{-10e^{-18s}}{-10e^{-18s}} & 0 & 0 \\ \frac{199s+1}{199s+1} & 0 & 0 \\ 0 & 0 & \frac{0.37}{24s+1} \\ 0 & 0 & \frac{-1.26e^{-20s}}{112s+1} \end{bmatrix} \begin{bmatrix} MV1(s) \\ MV2(s) \\ MV3(s) \end{bmatrix} \\
 & + \begin{bmatrix} 0 & 0 \\ \frac{-0.1e^{-5s}}{46s+1} & 0 \\ 0 & 0 \\ 0 & 0 \\ 0 & 0 \\ 0 & \frac{-12.9e^{-170s}}{120s+1} \\ \frac{-0.065}{15s+1} & 0 \\ 0 & 0 \end{bmatrix} \begin{bmatrix} DV1(s) \\ DV2(s) \end{bmatrix} \quad (5.40)
 \end{aligned}$$

บทที่ 6

การทดสอบแบบจำลองของหอกลับแยกแนวทาดัวเบา

แบบจำลองของหอกลับแยกแนวทาดัวเบาจะถูกทดสอบก่อนนำไปประยุกต์ใช้เพื่อควบคุมกระบวนการผลิตจริง โดยมีการทดสอบแบบจำลอง ดังนี้

- ทดสอบเสถียรภาพของระบบ (System stability)
- ทดสอบความสามารถควบคุมได้ (Controllability)
- ทดสอบความสังเกตได้ (Observability)
- ทดสอบแบบจำลองโดยการทำ off-line simulation ด้วยโปรแกรม Profit Controller R320

6.1 ทดสอบเสถียรภาพของระบบ (System Stability)

การตรวจสอบเสถียรภาพของระบบสามารถทดสอบได้จากค่าของโพลลูเปิดของระบบนั้นว่าอยู่ทางซ้ายหรือทางขวาของแกนเชิงซ้อน ซึ่งค่าเจาะจง (eigenvalue, λ) มีค่าเท่ากับโพลลูเปิดของเมทริกซ์ A โดยระบบพลวัตเชิงเส้นเวลาต่อเนื่อง (continuous time linear dynamical system) จะมีเสถียรภาพก็ต่อเมื่อระบบที่ทำเป็นพลวัตเชิงเส้นเวลาวิฤต (discrete time linear dynamical system) มีเสถียรภาพ โดยที่เวลาสุ่ม (sample interval, h) มากกว่าศูนย์

ถ้าเมทริกซ์ A มีค่าเจาะจงเท่ากับ $\lambda_1, \dots, \lambda_n$ แล้วเมทริกซ์ A ของระบบพลวัตเชิงเส้นเวลาวิฤต มีค่าเจาะจงเท่ากับ $e^{\lambda_1 \times h}, \dots, e^{\lambda_n \times h}$ โดยมีเวลาสุ่ม (sample interval, h) มากกว่าศูนย์ โดยระบบจะมีเสถียรภาพก็ต่อเมื่อค่าเจาะจงมีค่าน้อยกว่าศูนย์ทุกตัว เมื่อค่าเจาะจงมีค่าน้อยกว่าศูนย์จะทำให้ค่าสัมบูรณ์ของ $e^{\lambda_i \times h}$ มีค่าน้อยกว่าหนึ่ง [13]

ดังนั้นการแปลงระบบพลวัตเชิงเส้นเวลาต่อเนื่องที่มีเสถียรภาพไปเป็นระบบพลวัตเชิงเส้นเวลาวิฤต โดยที่ระบบพลวัตเชิงเส้นเวลาวิฤตยังคงรักษาเสถียรภาพไว้ได้

ค่าของเมทริกซ์ A สามารถหาได้จากการแปลงฟังก์ชันการถ่ายโอนของระบบรวมในรูปของเมทริกซ์ที่ถูกแสดงดังสมการ 5.40 ไปสู่ระบบเชิงเส้นเวลาต่อเนื่อง ด้วยโปรแกรม MATLAB โดยเมทริกซ์ A ของระบบที่ได้จากโปรแกรม MATLAB ถูกแสดงดังสมการที่ 6.1

$$A = \begin{bmatrix} -0.048 & 0 & 0 & 0 & 0 & 0 & 0 & 0 & 0 & 0 & 0 & 0 & 0 & 0 \\ 0 & -2.959 & 0 & 0 & 0 & 0 & 0 & 0 & 0 & 0 & 0 & 0 & 0 & 0 \\ 0 & 0 & -0.017 & 0 & 0 & 0 & 0 & 0 & 0 & 0 & 0 & 0 & 0 & 0 \\ 0 & 0 & 0 & -0.015 & 0 & 0 & 0 & 0 & 0 & 0 & 0 & 0 & 0 & 0 \\ 0 & 0 & 0 & 0 & -0.625 & 0 & 0 & 0 & 0 & 0 & 0 & 0 & 0 & 0 \\ 0 & 0 & 0 & 0 & 0 & -0.015 & 0 & 0 & 0 & 0 & 0 & 0 & 0 & 0 \\ 0 & 0 & 0 & 0 & 0 & 0 & -0.121 & 0 & 0 & 0 & 0 & 0 & 0 & 0 \\ 0 & 0 & 0 & 0 & 0 & 0 & 0 & -0.049 & 0 & 0 & 0 & 0 & 0 & 0 \\ 0 & 0 & 0 & 0 & 0 & 0 & 0 & 0 & -0.059 & 0 & 0 & 0 & 0 & 0 \\ 0 & 0 & 0 & 0 & 0 & 0 & 0 & 0 & 0 & -0.040 & 0 & 0 & 0 & 0 \\ 0 & 0 & 0 & 0 & 0 & 0 & 0 & 0 & 0 & 0 & -0.073 & 0 & 0 & 0 \\ 0 & 0 & 0 & 0 & 0 & 0 & 0 & 0 & 0 & 0 & 0 & -0.096 & 0 & 0 \\ 0 & 0 & 0 & 0 & 0 & 0 & 0 & 0 & 0 & 0 & 0 & 0 & -0.313 & 0 \\ 0 & 0 & 0 & 0 & 0 & 0 & 0 & 0 & 0 & 0 & 0 & 0 & 0 & -0.016 \end{bmatrix} \quad (6.1)$$

การหาค่าเฉพาะจรง สามารถหาได้จากสมการที่ 6.2

$$\det(\lambda I - A) = 0 \quad (6.2)$$

เมื่อ

| | | |
|-----------|-----|--------------------------|
| I | คือ | เมทริกซ์เอกลักษณ์ |
| λ | คือ | ค่าเฉพาะจรง (eigenvalue) |
| A | คือ | เมทริกซ์ของค่าคงที่ |

เมทริกซ์ A เป็นเมทริกซ์ขนาดใหญ่โดยมี 14 แถว และ 14 คอลัมน์ ผู้วิจัยจึงใช้โปรแกรม MATLAB ในการคำนวณเพื่อหาค่าเฉพาะจรง โดยค่าเฉพาะจรงทั้ง 14 ตัว ถูกแสดงในตารางที่ 6.1

ตารางที่ 6.1 แสดงค่าเจาะจง (λ_i) ค่าเจาะจงคูณกับเวลาสุ่ม ($\lambda_i \times h$) และค่า $e^{\lambda_i \times h}$

| i | λ_i | $(\lambda_i \times h$ (เมื่อ $h = 6$ นาที)) | $e^{\lambda_i \times h}$ |
|----|-------------|---|--------------------------|
| 1 | -2.9586 | -17.7516 | 0.000000019 |
| 2 | -0.625 | -3.75 | 0.023517746 |
| 3 | -0.3125 | -1.875 | 0.153354967 |
| 4 | -0.1211 | -0.7266 | 0.483550269 |
| 5 | -0.0962 | -0.5772 | 0.561468279 |
| 6 | -0.073 | -0.438 | 0.645325783 |
| 7 | -0.0592 | -0.3552 | 0.701033223 |
| 8 | -0.0495 | -0.297 | 0.743044012 |
| 9 | -0.0478 | -0.2868 | 0.750661846 |
| 10 | -0.0408 | -0.2448 | 0.782861095 |
| 11 | -0.0168 | -0.1008 | 0.904113838 |
| 12 | -0.0162 | -0.0972 | 0.907374513 |
| 13 | -0.0151 | -0.0906 | 0.913382991 |
| 14 | -0.0149 | -0.0894 | 0.914479709 |

จากตารางที่ 6.1 เห็นได้ว่าค่าเจาะจงมีค่าเป็นลบทุกตัว และค่าสัมบูรณ์ของ $e^{\lambda_i \times h}$ มีค่าน้อยกว่าหนึ่งทุกตัว แสดงให้เห็นว่าระบบพลวัตเชิงเส้นเวลาต่อเนื่องและระบบพลวัตเชิงเส้นเวลาวิยุตมีเสถียรภาพ

6.2 ทดสอบความสามารถควบคุมได้ (Controllability)

การตรวจสอบความสามารถควบคุมได้ของระบบใดๆ สามารถทำได้โดยตรวจสอบเมทริกซ์ความควบคุมได้ (Controllability Matrix) ดังสมการต่อไปนี้

$$\text{เมทริกซ์ความควบคุมได้} = [\mathbf{B} \quad \mathbf{AB} \quad \mathbf{A^2B} \quad \dots \quad \mathbf{A^{n-1}B}] \quad (6.3)$$

โดยที่ n คือ จำนวนของตัวแปรสแตท

กรณีที่เมทริกซ์ความควบคุมได้เป็นเมทริกซ์จัตุรัส ค่าลำดับชั้นของเมทริกซ์จะหาได้จากค่าดีเทอร์มิแนนต์ของเมทริกซ์นั้น ในกรณีที่ค่าดีเทอร์มิแนนต์ไม่เท่ากับศูนย์ค่าลำดับชั้นจะเท่ากับขนาดของเมทริกซ์ (ลำดับชั้นสูงสุด) ส่วนในกรณีที่เมทริกซ์ความควบคุมได้ไม่เป็นเมทริกซ์จัตุรัส ระบบจะสามารถควบคุมได้ก็ต่อเมื่อแต่ละแถวใดๆ ของเมทริกซ์ไม่สามารถแทนกันหรือเทียบเท่ากันได้

ซึ่งระบบที่ศึกษามีจำนวนสเททเท่ากับ 14 หรือ $n = 14$ จะสามารถกำหนดเมทริกซ์ความควบคุมได้ดังสมการที่ 6.4

$$\text{เมทริกซ์ความควบคุมได้} = \begin{bmatrix} B & AB & A^2B & A^3B & A^4B & A^5B & A^6B & A^7B & A^8B & A^9B & A^{10}B & A^{11}B & A^{12}B & A^{13}B \end{bmatrix} \quad (6.4)$$

โดยที่ เมทริกซ์ A คือ เมทริกซ์พลวัตของระบบพลวัตเชิงเส้นเวลาวิฤต มีขนาด $n \times n$ ซึ่งเท่ากับ 14×14 และเมทริกซ์ A ได้มาจากการแปลงฟังก์ชันการถ่ายโอนของระบบรวมในรูปของเมทริกซ์ที่ถูกแสดงดังสมการ 5.40

เมทริกซ์ B คือ เมทริกซ์ขาเข้าของระบบพลวัตเชิงเส้นเวลาวิฤต มีขนาด $n \times m$ ซึ่งเท่ากับ 14×3 และเมทริกซ์ B ได้มาจากการแปลงฟังก์ชันการถ่ายโอนของระบบรวมในรูปของเมทริกซ์ที่ถูกแสดงดังสมการ 5.40

เมทริกซ์ความควบคุมได้เป็นเมทริกซ์ขนาดใหญ่ โดยมีขนาด $n \times nm$ ซึ่งเท่ากับ 14×42 (14 แถว และ 42 คอลัมน์) ผู้วิจัยจึงใช้โปรแกรม MATLAB ในการคำนวณหาเมทริกซ์ความควบคุมได้ โดยเมทริกซ์ความควบคุมได้มีลำดับชั้นเท่ากับ 14 แสดงได้ว่าระบบพลวัตเชิงเส้นเวลาวิฤตมีความควบคุมได้

6.3 ทดสอบความสังเกตได้ (Observability)

ระบบที่สามารถสังเกตได้ คือระบบที่มีตัวแปรขาออกที่เลือกไว้สำหรับดูสถานะของระบบนี้มีข้อมูลเพียงพอที่จะนำมาใช้คาดการณ์หรือทำนายตัวแปรสเททที่ไม่ได้วัดค่า โดยการตรวจสอบความสังเกตได้ของระบบใดๆ สามารถทำได้โดยตรวจสอบเมทริกซ์ความสังเกตได้ (Observability Matrix) ดังสมการที่ 6.5

$$\text{เมทริกซ์ความสังเกตได้} = \begin{bmatrix} C \\ CA \\ CA^2 \\ \vdots \\ CA^{n-1} \end{bmatrix} \quad (6.5)$$

โดยที่ n คือ จำนวนของตัวแปรสแตท

การพิจารณาว่าเป็นระบบที่สามารถสังเกตได้หรือไม่นั้นให้พิจารณาจากอันดับชั้นของ เมทริกซ์ความสังเกตได้ ถ้าอันดับชั้นมีค่าเท่ากับค่าลำดับชั้นสูงสุดของเมทริกซ์เดียวกันแล้ว ระบบนี้จะเป็นระบบที่สามารถสังเกตได้ด้วยตัวแปรขาออกที่เลือกไว้

ซึ่งระบบที่ศึกษามีจำนวนสแตทเท่ากับ 14 หรือ $n = 14$ จะสามารถกำหนดเมทริกซ์ความสังเกตได้ดังสมการที่ 6.6

$$\text{เมทริกซ์ความสังเกตได้} = \begin{bmatrix} C \\ CA \\ CA^2 \\ CA^3 \\ CA^4 \\ CA^5 \\ CA^6 \\ CA^7 \\ CA^8 \\ CA^9 \\ CA^{10} \\ CA^{11} \\ CA^{12} \\ CA^{13} \end{bmatrix} \quad (6.6)$$

โดยที่ เมทริกซ์ A คือ เมทริกซ์พลวัตของระบบพลวัตเชิงเส้นเวลาวิฤต มีขนาด $n \times n$ ซึ่งเท่ากับ 14×14 และเมทริกซ์ A ได้มาจากการแปลงฟังก์ชันการถ่ายโอนของระบบรวมในรูปของเมทริกซ์ที่ถูกแสดงดังสมการ 5.40

เมทริกซ์ C คือ เมทริกซ์ขาออกของระบบพลวัตเชิงเส้นเวลาวิฤต มีขนาด $p \times n$ ซึ่งเท่ากับ 8×14 และเมทริกซ์ C ได้มาจากการแปลงฟังก์ชันการถ่ายโอนของระบบรวมในรูปของเมทริกซ์ที่ถูกแสดงดังสมการ 5.40

เมทริกซ์ความสังเกตได้เป็นเมทริกซ์ขนาดใหญ่ โดยมีขนาด $np \times n$ ซึ่งเท่ากับ 112×14 (112 แถว และ 14 คอลัมน์) ผู้วิจัยจึงใช้โปรแกรม MATLAB ในการคำนวณหาเมทริกซ์ความสังเกตได้ โดยเมทริกซ์ความสังเกตได้มีลำดับชั้นเท่ากับ 14 แสดงได้ว่าระบบพลวัตเชิงเส้นเวลาวิฤตมีความสังเกตได้

6.4 ทดสอบแบบจำลองโดยการทำ off-line simulation ด้วยโปรแกรม Profit Controller R320

ฟังก์ชันการถ่ายโอนของแบบจำลองหอกลับแยกแนวพหุตัวแปรที่ได้จากสมการ 5.40 ถูกนำไปสร้างการจำลองกระบวนการเพื่อควบคุมหอกลับแยกแนวพหุตัวแปร (off-line simulation) ด้วยโปรแกรม Profit Controller R320 เพื่อตรวจสอบว่าแบบจำลองทางคณิตศาสตร์ที่สร้างขึ้นสามารถควบคุมหอกลับแยกแนวพหุตัวแปรเมื่อมีตัวแปรรบกวนเข้ามาในระบบได้หรือไม่ โดยในที่นี้ตัวแปรรบกวนที่สำคัญของระบบ คือสารป้อนเข้าหอกลับในชั้นที่ 28

วัตถุประสงค์ของการควบคุมหอกลับแยกแนวพหุตัวแปร คือสามารถควบคุมตัวแปรควบคุมทุกตัวให้อยู่ในขอบเขตของตัวแปรควบคุม โดยการปรับตัวแปรปรับให้น้อยที่สุด และค่าของตัวแปรปรับทุกตัวยังคงอยู่ภายใต้ขอบเขตที่กำหนด โดยมีสถานะเริ่มต้นรวมถึงขอบเขตของตัวแปรควบคุมและตัวแปรปรับ ดังนี้

ค่าตัวแปรควบคุมทุกตัวของแบบจำลอง ณ สถานะเริ่มต้น รวมถึงขอบเขตของตัวแปรควบคุมทุกตัว แสดงดังตารางที่ 6.2

| | | |
|-------|-----|---|
| โดยมี | CV1 | คือ ปริมาณสารประกอบซัลเฟอร์ในแนวพหุตัวแปร มีค่าเท่ากับ 13.56 ppm ซึ่งอยู่ในขอบเขตที่กำหนด ($10 < \text{ค่าของ CV1} < 20$) |
| | CV2 | คือ อัตราส่วนระหว่างปริมาณแนวพหุตัวแปรต่อสารป้อนเข้าหอกลับในชั้นที่ 28 ของหอกลับ มีค่าเท่ากับ 3.622 ซึ่งอยู่ในขอบเขตที่กำหนด ($3.0 < \text{ค่าของ CV2} < 4.0$) |
| | CV3 | คือ อุณหภูมิที่ด้านล่างหอกลับ มีค่าเท่ากับ 215.7 องศาเซลเซียส ซึ่งอยู่ในขอบเขตที่กำหนด ($210 < \text{ค่าของ CV3} < 220$) |
| | CV4 | คือ อุณหภูมิที่ชั้นที่ 14 ของหอกลับ มีค่าเท่ากับ 122.2 องศาเซลเซียส ซึ่งอยู่ในขอบเขตที่กำหนด ($120 < \text{ค่าของ CV4} < 125$) |
| | CV5 | คือ ระดับของแนวพหุตัวแปรในชั้นที่ 7 ของหอกลับ มีค่าเท่ากับ 53.21 เปอร์เซ็นต์ ซึ่งอยู่ในขอบเขตที่กำหนด ($40 < \text{ค่าของ CV5} < 75$) |
| | CV6 | คือ ระดับของแนวพหุตัวแปรที่ด้านล่างหอกลับ มีค่าเท่ากับ 69.39 เปอร์เซ็นต์ ซึ่งอยู่ในขอบเขตที่กำหนด ($40 < \text{ค่าของ CV6} < 75$) |

- CV7 คือ อัตราส่วนระหว่างสารป้อนกลับเข้าหอกลับที่ยอดหอดต่อสารป้อนเข้าหอกลับใน
ชั้นที่ 28 มีค่าเท่ากับ 4.642
ซึ่งอยู่ในขอบเขตที่กำหนด ($4.0 < \text{ค่าของ CV7} < 5.0$)
- CV8 คือ ระดับของแนพทาตัวเบาที่ถังพักบนยอดหอกลับ มีค่าเท่ากับ 59.77 เปอร์เซ็นต์
ซึ่งอยู่ในขอบเขตที่กำหนด ($40 < \text{ค่าของ CV8} < 75$)

ตารางที่ 6.2 แสดงค่าตัวแปรควบคุมทุกตัวของแบบจำลอง ณ สภาวะเริ่มต้น รวมถึงขอบเขตล่างและ
ขอบเขตบนของตัวแปรควบคุมทุกตัว

| CV | STATUS | VALUE | STEADY STATE | LOW LIMIT | HIGHT LIMIT |
|---------------------------------|--------|-------|-----------------|--------------|----------------|
| CV 1 (sulfur content in LN) | GOOD | 13.56 | 13.56 | 10.0 | 20.0 |
| CV 2 (LN per Feed ratio) | GOOD | 3.622 | 3.622 | 3.0 | 4.0 |
| CV 3 (bottom temperature) | GOOD | 215.7 | 215.7 | 210.0 | 220.0 |
| CV 4 (tray#14 temperature) | GOOD | 122.2 | 122.2 | 120.0 | 125.0 |
| CV 5 (LN level) | GOOD | 53.21 | 53.22 | 40.0 | 75.0 |
| CV 6 (bottom level) | GOOD | 69.39 | 70.11 | 40.0 | 75.0 |
| CV 7 (reflux per feed ratio) | GOOD | 4.642 | 4.642 | 4.0 | 5.0 |
| CV 8 (reflux drum level) | GOOD | 59.77 | 58.28 | 40.0 | 75.0 |

ค่าตัวแปรปรับทุกตัวของแบบจำลอง ณ สภาวะเริ่มต้น รวมถึงขอบเขตของตัวแปรปรับทุกตัว
แสดงดังตารางที่ 6.3

- โดยมี MV1 คือ ปริมาณแนพทาตัวเบาที่ถูกดึงออกจากหอกลับในชั้นที่ 7 ของหอกลับ
มีค่าเท่ากับ 13,351 กิโลกรัมต่อชั่วโมง
ซึ่งอยู่ในขอบเขตที่กำหนด ($12,000 < \text{ค่าของ MV1} < 15,000$)

- MV2 คือ ปริมาณไอน้ำที่ใช้เพื่อให้ความร้อนกับหอกลิ้น
มีค่าเท่ากับ 7,669 กิโลกรัมต่อชั่วโมง
ซึ่งอยู่ในขอบเขตที่กำหนด (7,000 < ค่าของ MV2 < 7,800)
- MV3 คือ ปริมาณน้ำที่เข้าหอกลิ้นที่เย็ดหอ
มีค่าเท่ากับ 16,871 กิโลกรัมต่อชั่วโมง
ซึ่งอยู่ในขอบเขตที่กำหนด (14,000 < ค่าของ MV3 < 18,000)

ตารางที่ 6.3 แสดงค่าตัวแปรปรับทุกตัวของแบบจำลอง ณ สภาวะเริ่มต้น รวมถึงขอบเขตล่าง และ ขอบเขตบนของตัวแปรปรับทุกตัว

| MV | STATUS | VALUE | MOVE | STEADY STATE | LOW LIMIT | HIGHT LIMIT |
|-----------------------|--------|--------|------|--------------|-----------|-------------|
| MV 1 (LN flow) | ON | 13,351 | 0 | 13,351 | 12,000 | 15,000 |
| MV 2 (steam flow) | ON | 7,669 | 0 | 7,669 | 7,000 | 7,800 |
| MV 3 (reflux flow) | ON | 16,871 | 0 | 16,871 | 14,000 | 18,000 |

ค่าของตัวแปรควบคุมของแบบจำลอง ณ สภาวะเริ่มต้นแสดงดังตารางที่ 6.4

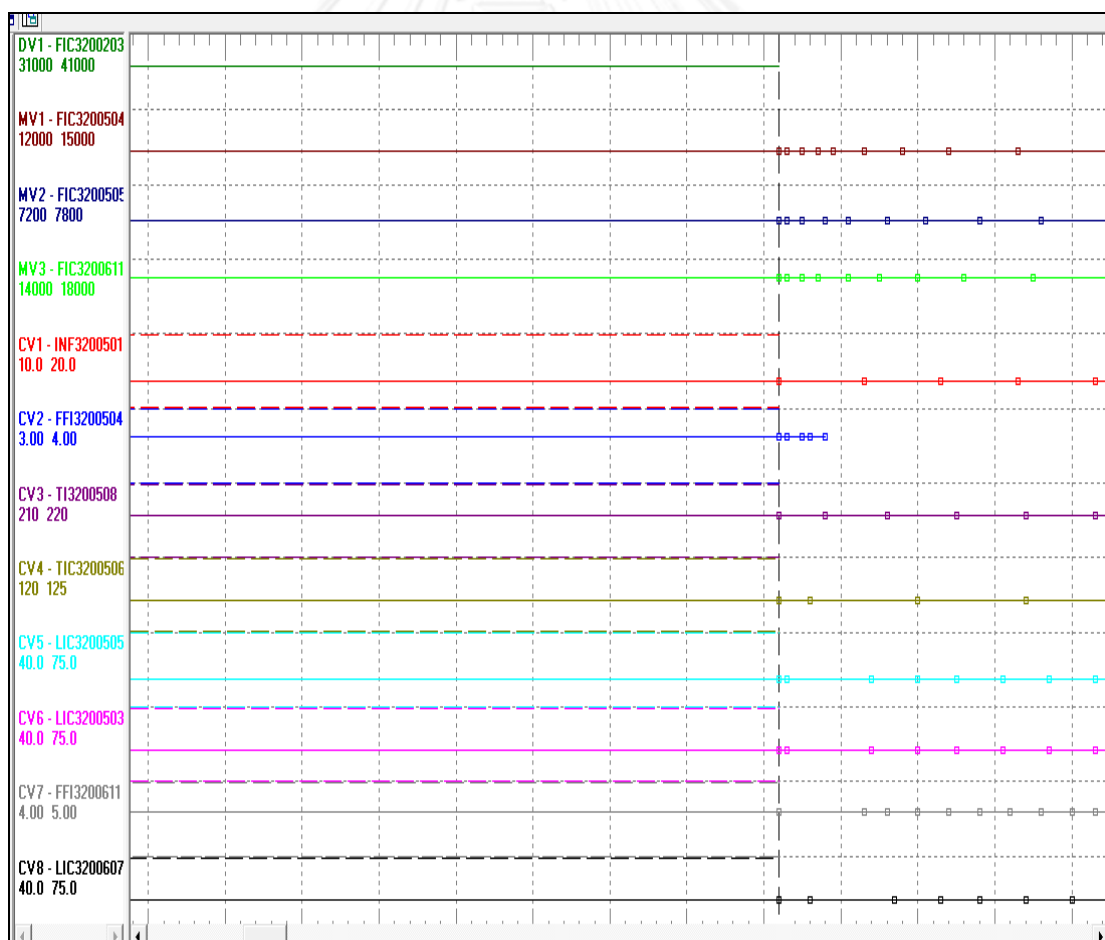
ตารางที่ 6.4 แสดงค่าตัวแปรควบคุมที่ 1 และค่าตัวแปรควบคุมที่ 2 ของแบบจำลอง ณ สภาวะเริ่มต้น

| DV | START VALUE | DISTURBANCE | CURRENT VALUE |
|---------------------|-------------|-------------|---------------|
| DV 1 (feed flow) | 36,824 | 0 | 36,824 |
| DV 2 (HN flow) | 20,012 | 0 | 20,012 |

- โดยมี DV 1 คือ สารป้อนเข้าหอกลับในชั้นที่ 28 มีค่าเท่ากับ 36,824 กิโลกรัมต่อชั่วโมง
 DV 2 คือ ปริมาณแนพทาหนักที่ถูกดึงออกจากด้านล่างหอกลับ มีค่าเท่ากับ 20,012 กิโลกรัมต่อชั่วโมง

ค่าเริ่มต้นของตัวแปรควบคุม ตัวแปรปรับ ตัวแปรรบกวนของแบบจำลองรวมถึงขอบเขตบนและขอบเขตล่างของตัวแปรควบคุมและตัวแปรปรับทุกตัว ได้มาจากข้อมูลการทดสอบแบบ สเต็ปที่กระบวนการผลิตจริง แล้วนำข้อมูลที่ได้มาสร้างการจำลองกระบวนการเพื่อควบคุมหอกลับแยกแนพทาตัวเบา

รูปที่ 6.1 แสดงค่าของตัวแปรควบคุม และตัวแปรปรับของแบบจำลองการควบคุมหอกลับแยกแนพทาตัวเบาที่สถานะเริ่มต้น โดยไม่มีตัวแปรรบกวนเข้ามาในระบบ จากรูปที่ 6.1 กราฟค่าตัวแปรควบคุมที่สำคัญทุกตัวอยู่ในขอบเขตที่กำหนด แสดงว่าแบบจำลองนี้สามารถควบคุมหอกลับแยกแนพทาตัวเบาที่สถานะเริ่มต้นได้

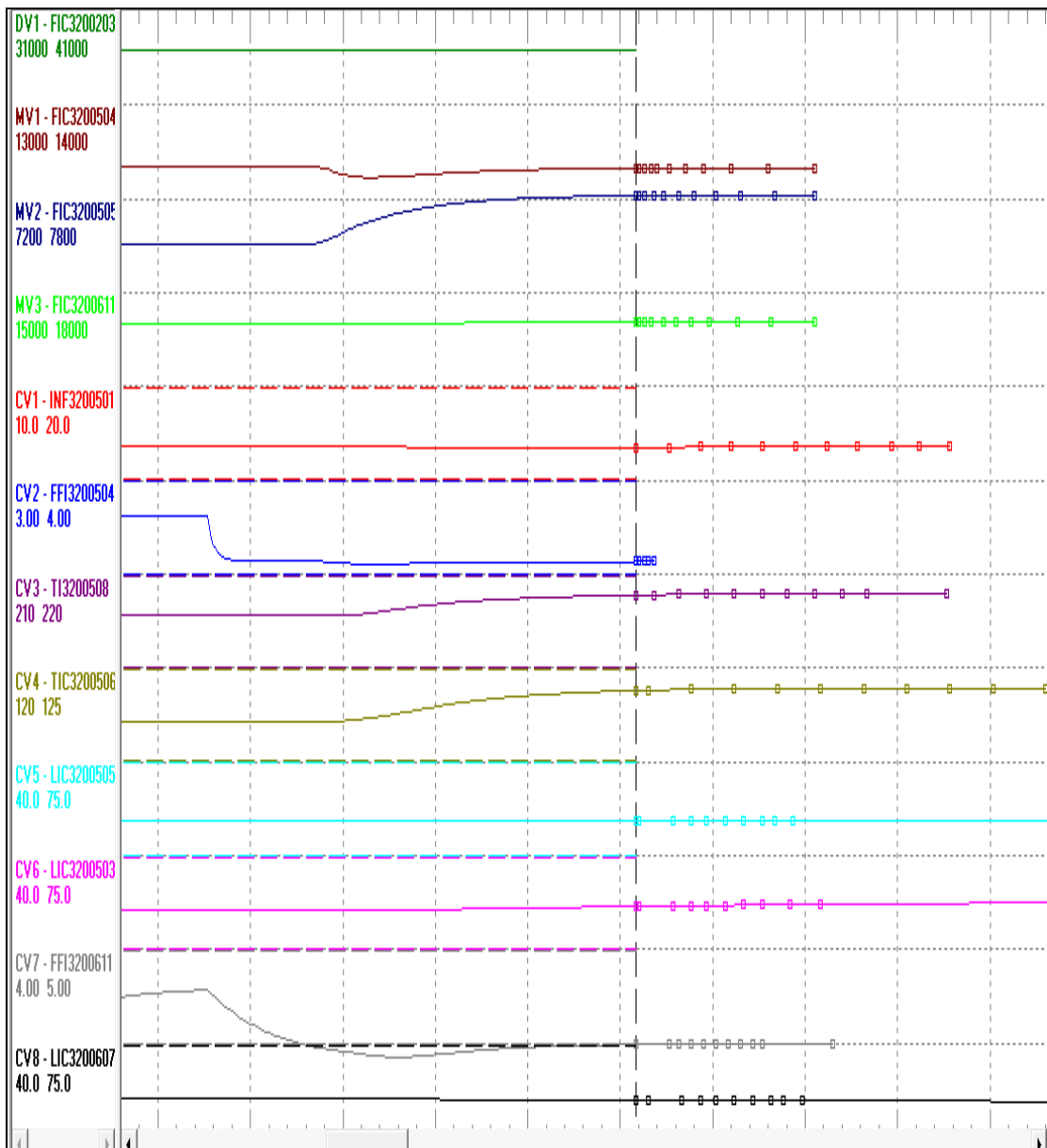


รูปที่ 6.1 แสดงค่าของตัวแปรควบคุม และตัวแปรปรับของแบบจำลอง โดยแบบจำลองสามารถควบคุมหอกลับแยกแนพทาตัวเบาได้ที่สถานะเริ่มต้น เมื่อไม่มีตัวแปรรบกวนเข้ามาในระบบ

ผู้วิจัยตรวจสอบความสามารถของแบบจำลองควบคุมหอกลิ้นแยกแนวพาตัวเบา เมื่อมีตัวแปรรบกวนเข้ามาในระบบเพิ่มขึ้นร้อยละสิบ โดยตัวแปรรบกวนที่กระทบกับการควบคุมหอกลิ้นแยกแนวพาตัวเบาในกระบวนการผลิตจริงคือสารป้อนเข้าหอกลิ้นในชั้นที่ 28 ซึ่งอัตราการเปลี่ยนแปลงปริมาณสารป้อนเข้าหอกลิ้นในชั้นที่ 28 ในกระบวนการผลิตจริงนั้นมีค่าสูงสุดประมาณ 3,600 กิโลกรัมต่อชั่วโมง ดังนั้นจึงตรวจสอบแบบจำลองโดยการปรับสารป้อนเข้าหอกลิ้นในชั้นที่ 28 เพิ่มขึ้น 3,600 กิโลกรัมต่อชั่วโมง การปรับเพิ่มค่าตัวแปรรบกวนถูกแสดงดังตารางที่ 6.5 ส่วนผลการจำลองการควบคุมหอกลิ้นแยกแนวพาตัวเบาเมื่อมีการปรับปริมาณสารป้อนเข้าหอกลิ้นในชั้นที่ 28 เพิ่มขึ้น 3,600 กิโลกรัมต่อชั่วโมง ถูกแสดงดังรูปที่ 6.2

ตารางที่ 6.5 แสดงการปรับปริมาณสารป้อนเข้าหอกลิ้นในชั้นที่ 28 เพิ่มขึ้น 3,600 กิโลกรัมต่อชั่วโมง

| DV | START VALUE | DISTURBANCE | CURRENT VALUE |
|---------------------|-------------|-------------|---------------|
| DV 1 (feed flow) | 36,824 | 3,600 | 36,824 |



รูปที่ 6.2 แสดงแบบจำลองสามารถควบคุมหอกลิ้นแยกแนวพาตัวเบาได้เมื่อมีการปรับปริมาณสารป้อนเข้าหอกลิ้นในชั้นที่ 28 เพิ่มขึ้น 3,600 กิโลกรัมต่อชั่วโมง

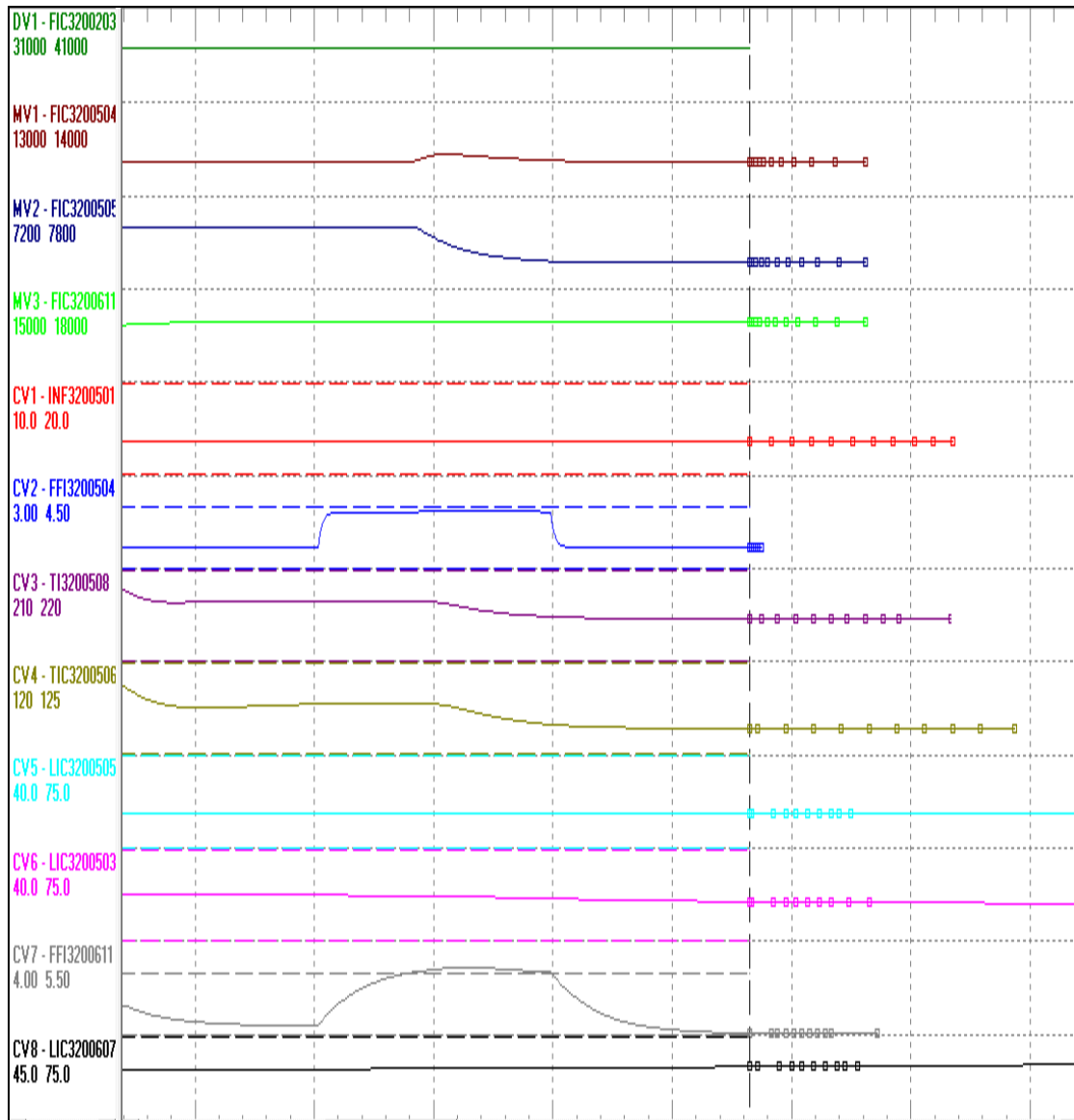
จากรูปที่ 6.2 เมื่อปริมาณสารป้อนเข้าหอกลิ้นในชั้นที่ 28 เพิ่มขึ้น 3,600 กิโลกรัมต่อชั่วโมง จะส่งผลต่ออัตราส่วนระหว่างปริมาณแนวพาตัวเบาต่อสารป้อนเข้าหอกลิ้น (CV2) ลดลง และอัตราส่วนระหว่างสารป้อนกลับเข้าหอกลิ้นที่ยอดหอต่อสารป้อนเข้าหอกลิ้น (CV7) ลดลง แบบจำลองจึงปรับเพิ่มปริมาณแนวพาตัวเบาที่ถูกดึงออกจากหอกลิ้นในชั้นที่ 7 ของหอกลิ้น (MV1) และปรับเพิ่มปริมาณแนวพาตัวเบาป้อนกลับเข้าหอกลิ้นที่ยอดหอ (MV3) เพื่อให้ค่า CV2 และ CV7 ยังคงอยู่ในขอบเขตของตัวแปรควบคุม ดังนั้นรูปที่ 6.2 แสดงกราฟค่าตัวแปรควบคุมที่สำคัญทุกตัวอยู่ในขอบเขต

ที่กำหนด ซึ่งแสดงว่าแบบจำลองนี้สามารถควบคุมหอกลิ้นแยกแนวพาตัวเบาเมื่อมีการปรับตัวแปร
รบกวน คือปริมาณสารป้อนเข้าหอกลิ้นในชั้นที่ 28 เพิ่มขึ้น 3,600 กิโลกรัมต่อชั่วโมงได้

ตรวจสอบความสามารถของแบบจำลองควบคุมหอกลิ้นแยกแนวพาตัวเบา เมื่อมีตัวแปร
รบกวนเข้ามาในระบบลดร่องยล่สลิป โดยการปรับปริมาณสารป้อนเข้าหอกลิ้นในชั้นที่ 28 ลดลง
3,600 กิโลกรัมต่อชั่วโมง แสดงดังตารางที่ 6.6 และผลการตรวจสอบแสดงดังรูปที่ 6.3

ตารางที่ 6.6 แสดงการปรับปริมาณสารป้อนเข้าหอกลิ้นในชั้นที่ 28 ลดลง 3,600 กิโลกรัมต่อชั่วโมง

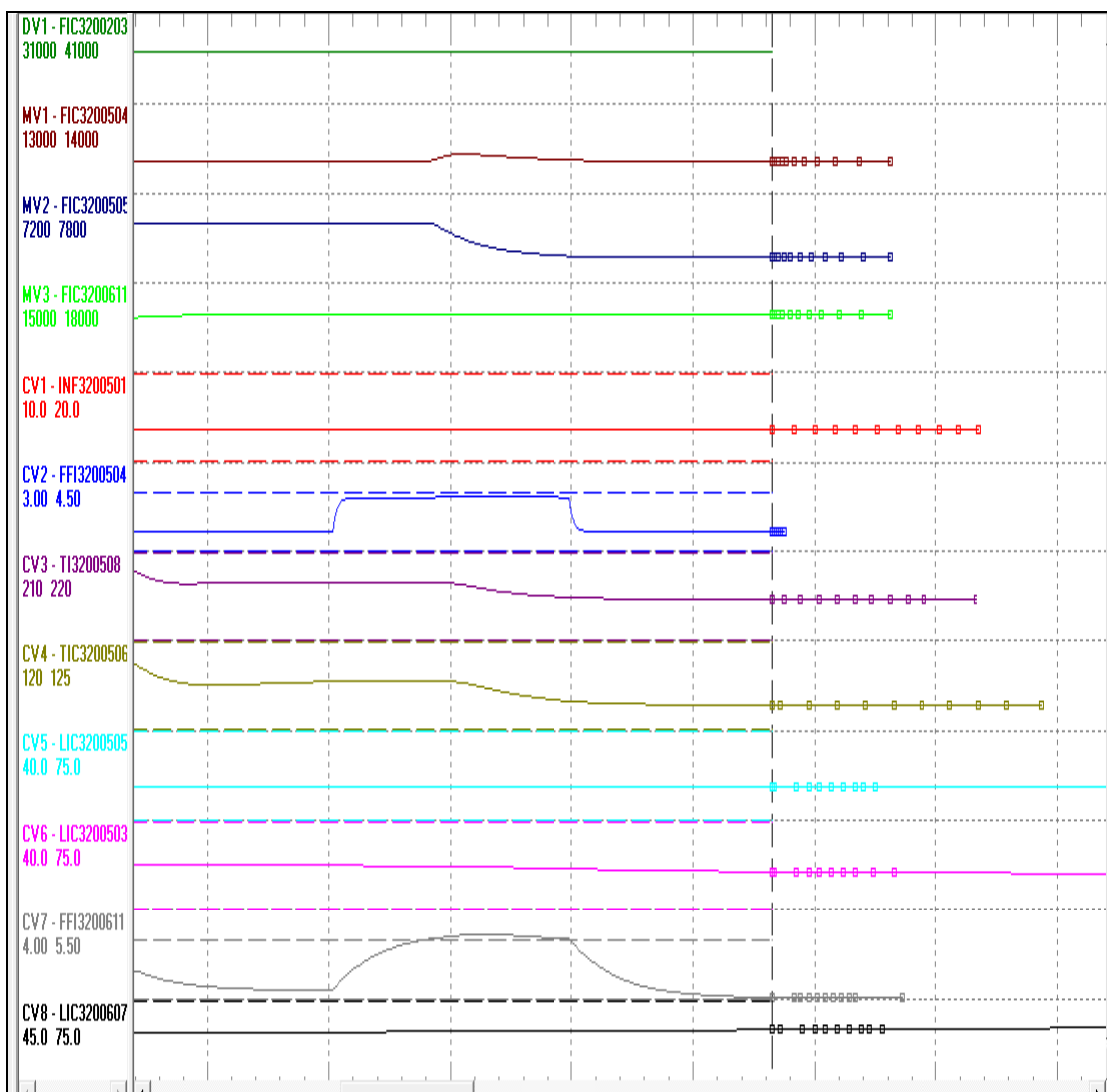
| DV | START VALUE | DISTURBANCE | CURRENT VALUE |
|---------------------|----------------|-------------|------------------|
| DV 1 (feed flow) | 36,824 | -3,600 | 36,824 |



รูปที่ 6.3 แสดงแบบจำลองสามารถควบคุมหอกลับแยกแนวพาตัวเบาได้เมื่อมีการปรับปริมาณสารป้อนเข้าหอกลับในชั้นที่ 28 ลดลง 3,600 กิโลกรัมต่อชั่วโมง

จากรูปที่ 6.3 เมื่อปริมาณสารป้อนเข้าหอกลับในชั้นที่ 28 ลดลง 3,600 กิโลกรัมต่อชั่วโมง จะส่งผลต่ออัตราส่วนระหว่างปริมาณแนวพาตัวเบาต่อสารป้อนเข้าหอกลับ (CV2) และอัตราส่วนระหว่างสารป้อนกลับเข้าหอกลับที่ยอดหอต่อสารป้อนเข้าหอกลับ (CV7) เพิ่มขึ้น แบบจำลองจึงปรับลดปริมาณแนวพาตัวเบาที่ถูกดึงออกจากหอกลับในชั้นที่ 7 ของหอกลับ (MV1) และปรับลดปริมาณแนวพาตัวเบาป้อนกลับเข้าหอกลับที่ยอดหอ (MV3) เพื่อให้ค่า CV2 และ CV7 ยังคงอยู่ในขอบเขตของตัวแปรควบคุม ดังนั้นรูปที่ 6.3 แสดงกราฟค่าตัวแปรควบคุมที่สำคัญทุกตัวอยู่ในขอบเขตที่กำหนด ซึ่งแสดงว่าแบบจำลองนี้สามารถควบคุมหอกลับแยกแนวพาตัวเบาเมื่อมีการปรับตัวแปร

รบกวน คือปริมาณสารป้อนเข้าหอกลับในชั้นที่ 28 ลดลง 3,600 กิโลกรัมต่อชั่วโมงได้ และผู้วิจัยได้ทำการปรับปริมาณสารป้อนเข้าหอกลับในชั้นที่ 28 เพิ่มขึ้นและลดลงครั้งละ 3,600 กิโลกรัมต่อชั่วโมงอีกครั้ง โดยแบบจำลองแสดงให้เห็นว่ายังคงสามารถควบคุมหอกลับแยกแนวพาทัวเบาได้ และผลของการจำลองแสดงดังรูปที่ 6.4 โดยมีค่าตัวแปรควบคุม และตัวแปรปรับทุกตัวของผลการจำลองยังคงอยู่ในขอบเขตที่กำหนดซึ่งถูกแสดงดังตารางที่ 6.7 และตารางที่ 6.8 ตามลำดับ



รูปที่ 6.4 แสดงแบบจำลองสามารถควบคุมหอกลับแยกแนวพาทัวเบาได้เมื่อมีการปรับปริมาณสารป้อนเข้าหอกลับในชั้นที่ 28 เพิ่มขึ้นและลดลงครั้งละ 3,600 กิโลกรัมต่อชั่วโมง

ตารางที่ 6.7 แสดงค่าตัวแปรควบคุมทุกตัวของผลการจำลองยังคงอยู่ภายใต้ขอบเขตที่กำหนด เมื่อมีตัวแปรรบกวนเข้ามาในระบบเพิ่มขึ้นและลดลงครั้งละ 3,600 กิโลกรัมต่อชั่วโมง

| CV | STATUS | VALUE | STEADY STATE | LOW LIMIT | HIGHT LIMIT |
|---------------------------------|--------|-------|--------------|-----------|-------------|
| CV 1 (sulfur content in LN) | GOOD | 13.55 | 13.55 | 10 | 20.0 |
| CV 2 (LN per Feed ratio) | GOOD | 3.622 | 3.622 | 3.0 | 4.0 |
| CV 3 (bottom temperature) | GOOD | 215.7 | 215.7 | 210.0 | 220.0 |
| CV 4 (tray#14 temperature) | GOOD | 122.2 | 122.2 | 120.0 | 125.0 |
| CV 5 (LN level) | GOOD | 53.20 | 53.32 | 40.0 | 75.0 |
| CV 6 (bottom level) | GOOD | 67.94 | 72.21 | 40.0 | 75.0 |
| CV 7 (reflux per feed ratio) | GOOD | 4.646 | 4.647 | 4.0 | 5.0 |
| CV 8 (reflux drum level) | GOOD | 61.09 | 57.54 | 40.0 | 75.0 |

ตารางที่ 6.8 แสดงค่าตัวแปรปรับทุกตัวของผลการจำลองยังคงอยู่ภายใต้ขอบเขตที่กำหนด เมื่อมีตัวแปรรบกวนเข้ามาในระบบเพิ่มขึ้นและลดลงครั้งละ 3,600 กิโลกรัมต่อชั่วโมง

| MV | STATUS | VALUE | MOVE | STEADY STATE | LOW LIMIT | HIGHT LIMIT |
|-----------------------|--------|--------|------|--------------|-----------|-------------|
| MV 1 (LN flow) | ON | 13,332 | 0 | 13,332 | 12,000 | 15,000 |
| MV 2 (steam flow) | ON | 7,534 | 0 | 7,534 | 7,000 | 7,800 |
| MV 3 (reflux flow) | ON | 17,020 | 0 | 17,020 | 14,000 | 18,000 |

บทที่ 7

ผลการทดลอง การวิเคราะห์และสรุปผลการวิจัย

บทนี้จากกล่าวถึงผลการทดลองที่ได้สร้างแบบจำลอง และติดตั้งตัวควบคุมเชิงทำนายแบบจำลองที่หอกลับแยกแฉกแนพทาตัวเบา โดยมีการเปรียบเทียบประสิทธิภาพระหว่างการควบคุมหอกลับแยกแฉกแนพทาตัวเบาด้วยตัวควบคุมแบบพีไอดีกับตัวควบคุมเชิงทำนายแบบจำลอง และนำไปสู่การสรุปผล รวมทั้งสรุปข้อเสนอแนะแนวทางการประยุกต์ใช้ตัวควบคุมเชิงทำนายแบบจำลอง

7.1 ผลการสร้างแบบจำลองควบคุมหอกลับแยกแฉกแนพทาตัวเบา

ข้อมูลการตอบสนองของตัวแปรขาออกที่ได้จากการทดสอบแบบสแต็ปถูกนำมาหาค่าพารามิเตอร์ของแบบจำลองกระบวนการ ซึ่งแบบจำลองกระบวนการที่สร้างขึ้นอยู่ภายใต้สมมุติฐานของกระบวนการตอบสนองที่มีลักษณะเป็นแบบระบบอันดับหนึ่งที่มีเวลาเฉื่อย โดยค่าอัตราขยาย (gain, K) เวลาของกระบวนการ (time constant, τ) และเวลาเฉื่อย (dead time, t_d) ของแบบจำลองทางคณิตศาสตร์ ถูกแสดงดังตารางที่ 7.1 ซึ่งเวลาของกระบวนการและเวลาเฉื่อยมีหน่วยเป็น 10 วินาที

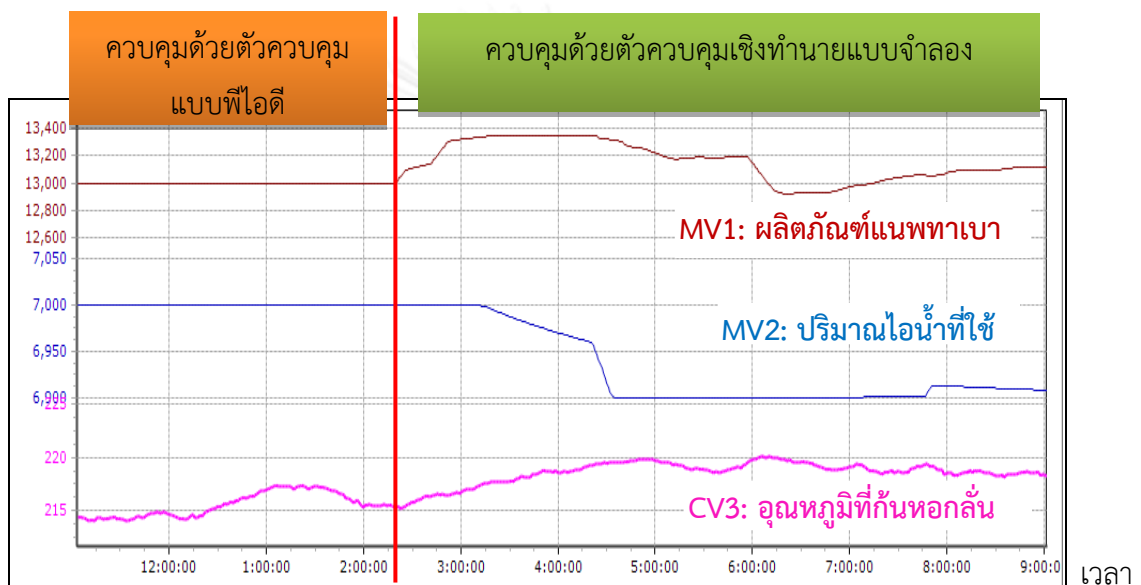
ตารางที่ 7.1 แสดงค่าพารามิเตอร์ของแบบจำลองกระบวนการอันดับหนึ่ง

| | MV 1 (LN flow) | MV 2 (steam flow) | MV 3 (reflux flow) | DV 1 (feed flow) | DV 2 (HN flow) |
|---------------------------------|---------------------------------------|------------------------------------|--------------------------------------|-------------------------------------|---------------------------------------|
| CV 1 (sulfur content in LN) | K = 2.65 $t_d = 0$ $r = 125$ | No Model | No Model | No Model | No Model |
| CV 2 (LN per Feed ratio) | K = 0.264 $t_d = 0$ $r = 0.338$ | No Model | No Model | K = -0.1 $t_d = 5$ $r = 46$ | No Model |
| CV 3 (bottom temperature) | K = 4.59 $t_d = 0$ $r = 98$ | K = 12.5 $t_d = 40$ $r = 70$ | K = -3.4 $t_d = 6$ $r = 54$ | No Model | No Model |
| CV 4 (tray#14 temperature) | K = 2.58 $t_d = 7$ $r = 126.2$ | K = 6.6 $t_d = 5$ $r = 85$ | K = -1.4 $t_d = 6$ $r = 43$ | No Model | No Model |
| CV 5 (LN level) | K = -1.1 $t_d = 0$ $r = 0.6$ | No Model | No Model | No Model | No Model |
| CV 6 (bottom level) | K = -10 $t_d = 18$ $r = 199$ | No Model | No Model | No Model | K = -12.9 $t_d = 170$ $r = 120$ |
| CV 7 (reflux per feed ratio) | No Model | No Model | K = 0.37 $t_d = 0$ $r = 24$ | K = -0.065 $t_d = 0$ $r = 15$ | No Model |
| CV 8 (reflux drum level) | No Model | No Model | K = -1.26 $t_d = 20$ $r = 112$ | No Model | No Model |

7.2 ผลการควบคุมหอกลิ้นแยกแชนพาทัวเบาด้วยตัวควบคุมเชิงทำนายแบบจำลอง

กรณีศึกษานี้จะเปรียบเทียบสมรรถนะของตัวควบคุมระหว่างตัวควบคุมแบบพีไอดี กับตัวควบคุมเชิงทำนายแบบจำลอง ซึ่งตัวควบคุมเชิงทำนายแบบจำลองจะทำการควบคุมด้วยเทคนิคซึ่งอาศัยแบบจำลองทางคณิตศาสตร์ โดยในกรณีศึกษานี้จะใช้แบบจำลองที่สร้างขึ้นจากวิธีการตอบสนองของตัวแปรขาออกแบบสแต็ป และทำการติดตั้งแบบจำลองที่สร้างขึ้นกับระบบควบคุมอัตโนมัติ Distributed Control System (DCS) เพื่อควบคุมหอกลิ้นแยกแชนพาทัวเบาในกระบวนการผลิตจริง และพนักงานควบคุมหอกลิ้นแยกแชนพาทัวเบาสามารถใช้งานตัวควบคุมเชิงทำนายแบบจำลองนี้ตั้งแต่เดือน พฤษภาคม 2556 โดยการทดลองใช้ตัวควบคุมในช่วงแรกได้รับข้อเสนอแนะจากพนักงานควบคุมหอกลิ้นแยกแชนพาทัวเบา และมีการปรับแต่งแบบจำลองอีกเล็กน้อย โดยสามารถใช้งานตัวควบคุมเชิงทำนายแบบจำลองได้ดีในเดือน มิถุนายน 2556

รูปที่ 7.1 แสดงความแตกต่างในการควบคุมหอกลิ้นแยกแนวพาตัวเบาระหว่างการควบคุมด้วยตัวควบคุมเชิงทำนายแบบจำลอง กับตัวควบคุมแบบพีไอดี กล่าวคือเมื่อใช้ตัวควบคุมแบบพีไอดี พนักงานควบคุมกระบวนการผลิตสามารถกำหนดค่าเป้าหมาย (set point) ของตัวแปรปรับตามที่ต้องการได้ แต่เมื่อใช้ตัวควบคุมเชิงทำนายแบบจำลองค่าเป้าหมายของตัวแปรปรับจะถูกกำหนดโดยการคำนวณของแบบจำลองทุกๆ หนึ่งนาทีก่อน เพื่อควบคุมกระบวนการผลิตให้เกิดประสิทธิภาพสูงสุด โดยตัวแปรควบคุมและตัวแปรปรับทุกตัวต้องอยู่ภายใต้ขอบเขตที่กำหนดไว้



รูปที่ 7.1 แสดงความแตกต่างระหว่างตัวควบคุมเชิงทำนายแบบจำลองกับตัวควบคุมแบบพีไอดี

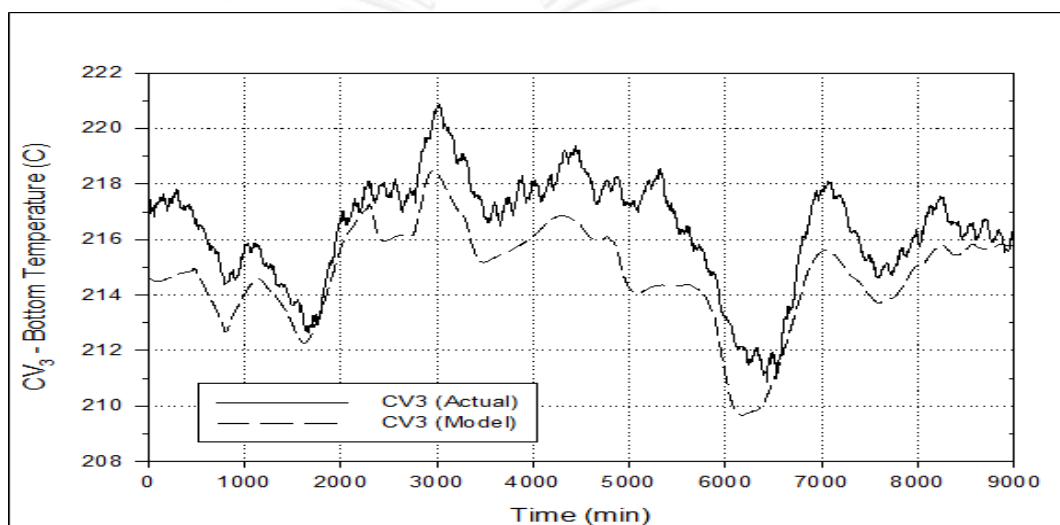
ผลการควบคุมหอกลิ้นแยกแนวพาตัวเบาด้วยตัวควบคุมเชิงทำนายแบบจำลองนี้จะแบ่งการตรวจสอบเป็น 3 ประเภท คือ

- ตรวจสอบคุณภาพของแบบจำลองที่สร้างขึ้น
- ตรวจสอบตัวควบคุมเชิงทำนายแบบจำลองสามารถควบคุมหอกลิ้นแยกแนวพาตัวเบาได้
- เปรียบเทียบสมรรถนะของตัวควบคุมระหว่างตัวควบคุมแบบพีไอดีกับตัวควบคุมเชิงทำนายแบบจำลอง

7.2.1 การตรวจสอบคุณภาพของแบบจำลองที่สร้างขึ้น

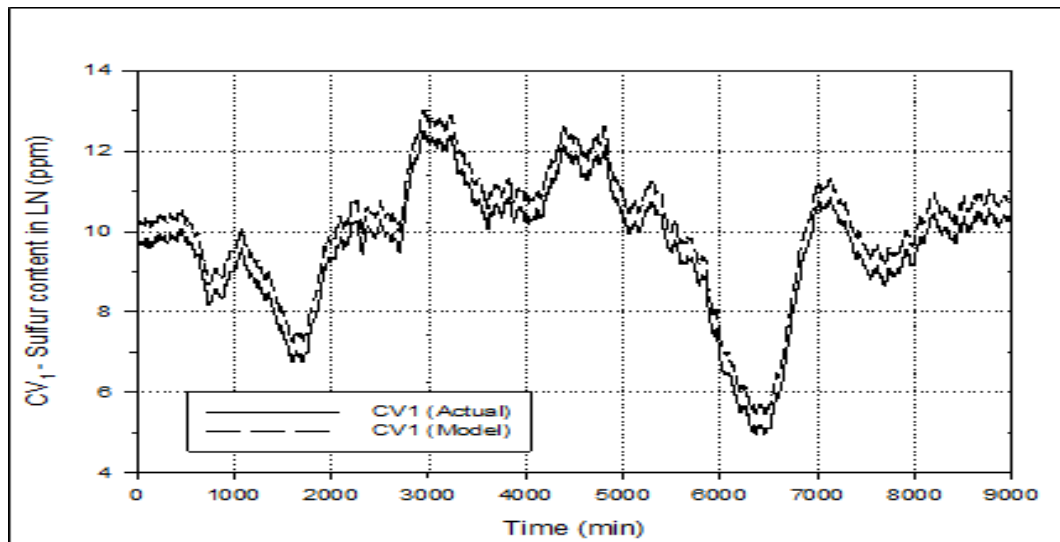
เมื่อได้ติดตั้งและประยุกต์ใช้ตัวควบคุมเชิงทำนายแบบจำลองในกระบวนการผลิตจริง ต้องมีการตรวจสอบคุณภาพของแบบจำลอง เพื่อให้มั่นใจได้ว่าแบบจำลองที่ติดตั้งสามารถควบคุมกระบวนการผลิตได้จริง การตรวจสอบสามารถทำได้โดยการนำค่าตัวแปรควบคุมที่ได้จากอุปกรณ์การวัดของกระบวนการผลิตจริงมาเปรียบเทียบกับค่าที่คำนวณได้จากแบบจำลอง โดยมีตัวแปรควบคุมที่

สำคัญต่อการควบคุมหอกลั่นแยกแนวพาทัวเบาคืออุณหภูมิที่ก้นหอกลั่น (CV3) โดยควบคุมอุณหภูมิไม่ให้ต่ำกว่า 210 องศาเซลเซียส เพื่อควบคุมปริมาณแนวพาทัวเบาที่ด้านล่างหอกลั่นให้เหมาะสม และป้องกันการเกิดปฏิกิริยาคายความร้อนที่รุนแรงในหน่วยการเกิดปฏิกิริยาถัดไป ซึ่งรูปที่ 7.2 แสดงการเปรียบเทียบค่าอุณหภูมิที่ก้นหอกลั่นที่ได้จากอุปกรณ์การวัดของกระบวนการผลิตจริงกับค่าที่คำนวณได้จากแบบจำลอง โดยอุณหภูมิที่ได้จากการคำนวณของแบบจำลองมีค่าน้อยกว่าอุณหภูมิที่ได้จากกระบวนการผลิตจริงเฉลี่ยประมาณ 1.6 องศาเซลเซียส คิดเป็นความผิดพลาดประมาณร้อยละ 0.7 ซึ่งสามารถยอมรับได้

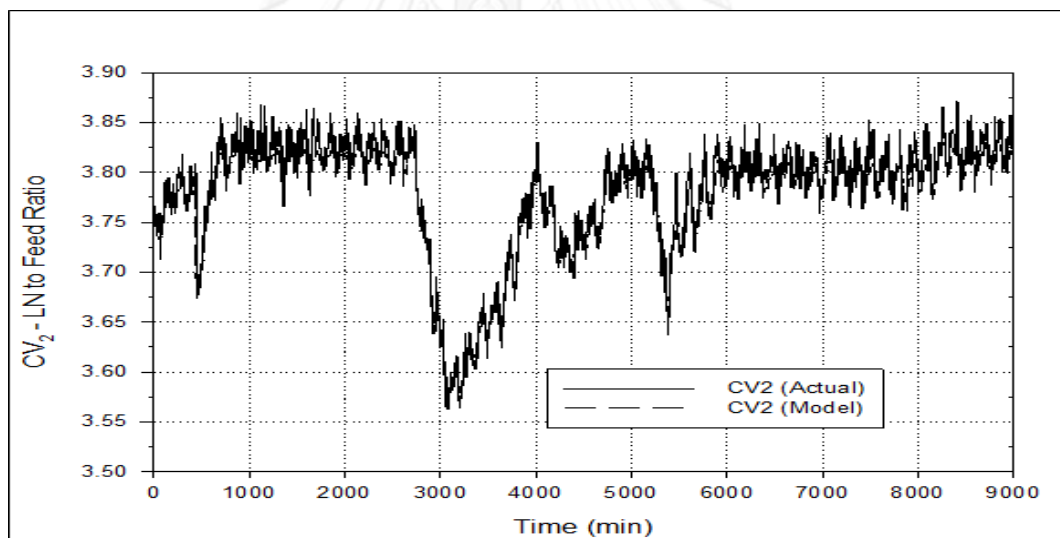


รูปที่ 7.2 แสดงการเปรียบเทียบค่าอุณหภูมิที่ก้นหอกลั่นที่ได้จากการคำนวณของแบบจำลองกับค่าที่ได้จากอุปกรณ์การวัดที่กระบวนการผลิตจริง

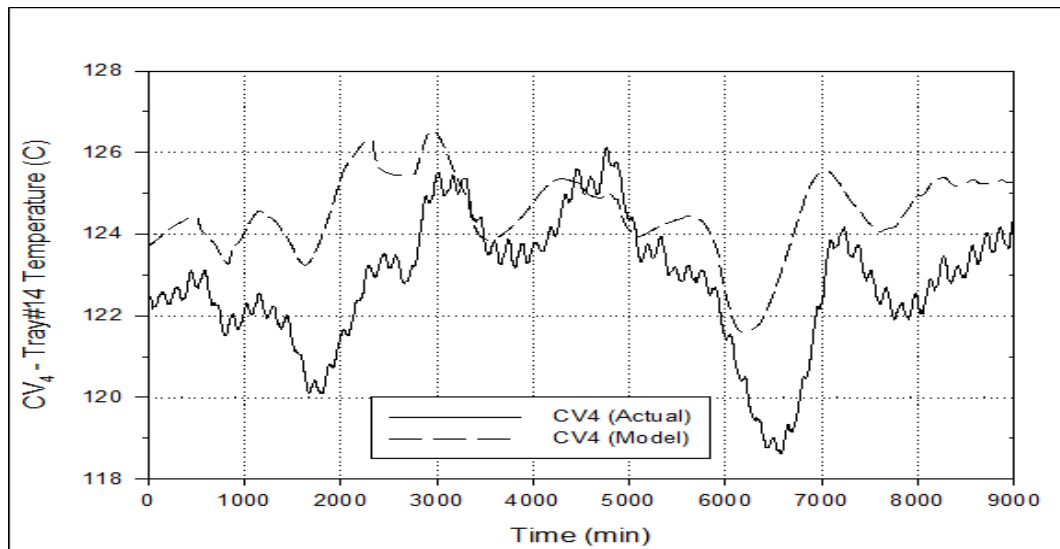
ส่วนการเปรียบเทียบค่าที่ได้จากอุปกรณ์การวัดของกระบวนการผลิตจริงมากับค่าที่คำนวณได้จากแบบจำลองของตัวแปรควบคุมที่เหลือถูกแสดงดังรูปที่ 7.3 ถึง รูปที่ 7.9



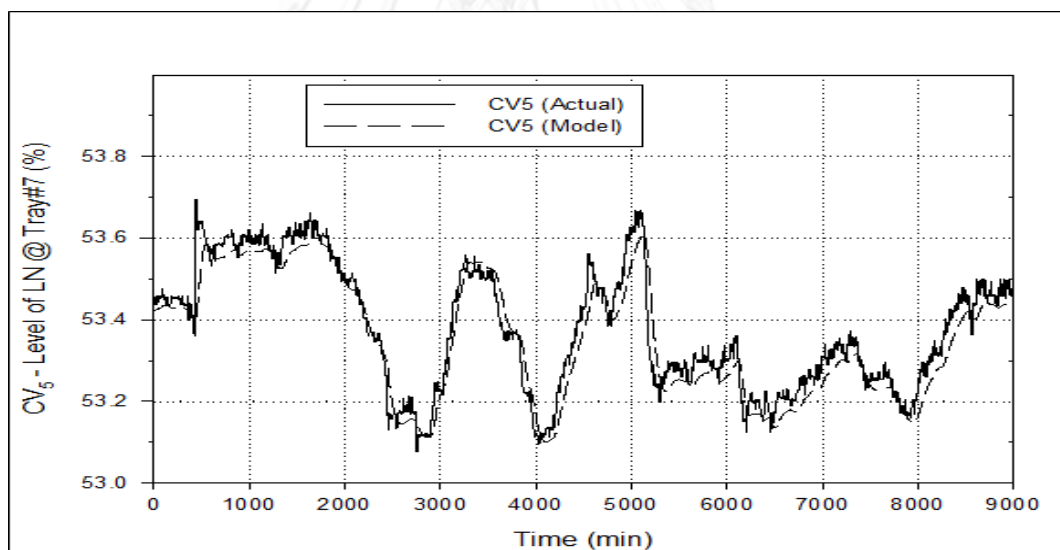
รูปที่ 7.3 แสดงการเปรียบเทียบปริมาณซัลเฟอร์ในเนฟทาตัวเบาที่ได้จากการคำนวณของแบบจำลองกับค่าที่ได้จากอุปกรณ์การวัดที่กระบวนการผลิตจริง



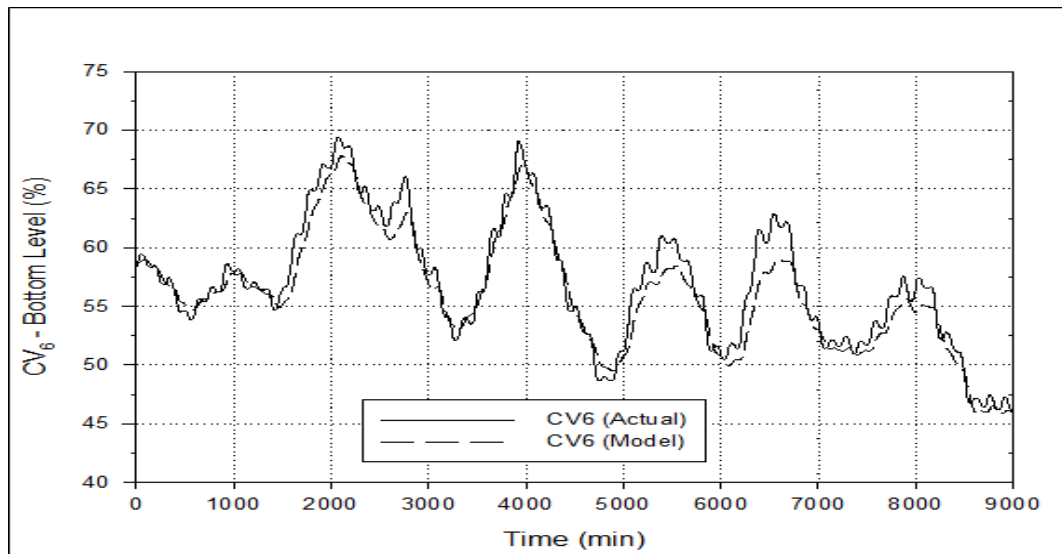
รูปที่ 7.4 แสดงการเปรียบเทียบอัตราส่วนเนฟทาตัวเบาต่อสารป้อนเข้าที่ได้จากการคำนวณของแบบจำลองกับค่าที่ได้จากอุปกรณ์การวัดที่กระบวนการผลิตจริง



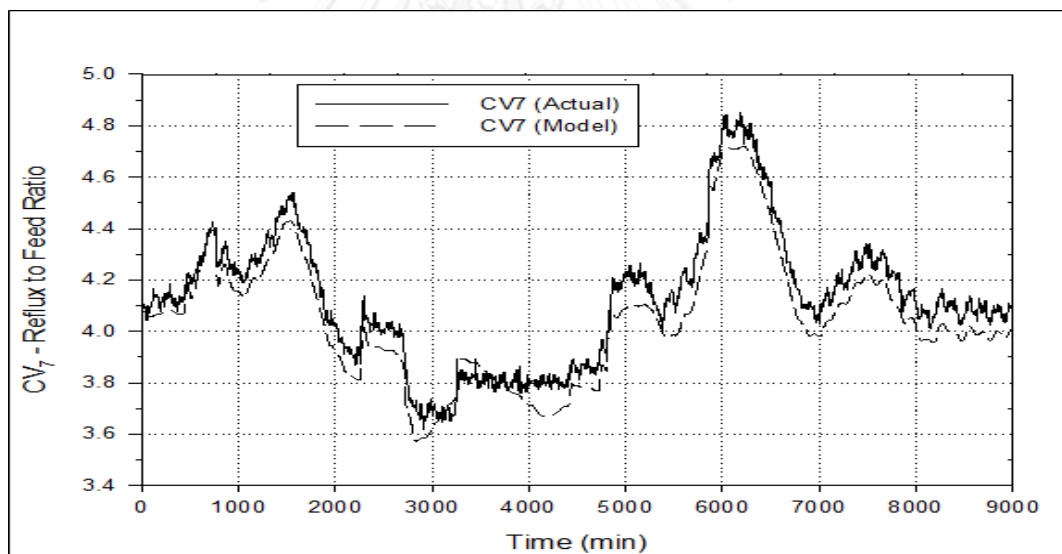
รูปที่ 7.5 แสดงการเปรียบเทียบค่าอุณหภูมิที่หอกถันชั้น 14 ที่ได้จากการคำนวณของแบบจำลองกับค่าที่ได้จากอุปกรณ์การวัดที่กระบวนการผลิตจริง



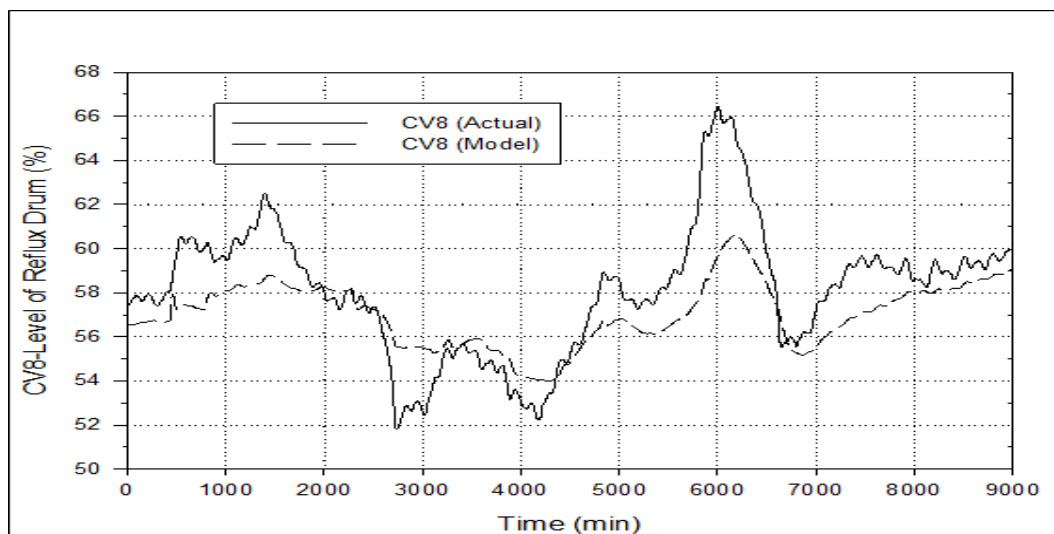
รูปที่ 7.6 แสดงการเปรียบเทียบระดับแนวพาตัวเบาที่ได้จากการคำนวณของแบบจำลองกับค่าที่ได้จาก อุปกรณ์การวัดที่กระบวนการผลิตจริง



รูปที่ 7.7 แสดงการเปรียบเทียบระดับแนวหน้าตัวหนักที่ได้จากการคำนวณของแบบจำลองกับค่าที่ได้จากอุปกรณ์การวัดที่กระบวนการผลิตจริง



รูปที่ 7.8 แสดงการเปรียบเทียบอัตราส่วนสารป้อนกลับต่อสารป้อนเข้าที่หอกลั่นที่ได้จากการคำนวณของแบบจำลองกับค่าที่ได้จากอุปกรณ์การวัดที่กระบวนการผลิตจริง



รูปที่ 7.9 แสดงการเปรียบเทียบระดับของเหลวที่ยอดหอกลั่นที่ได้จากการคำนวณของแบบจำลองกับค่าที่ได้จากอุปกรณ์การวัดที่กระบวนการผลิตจริง

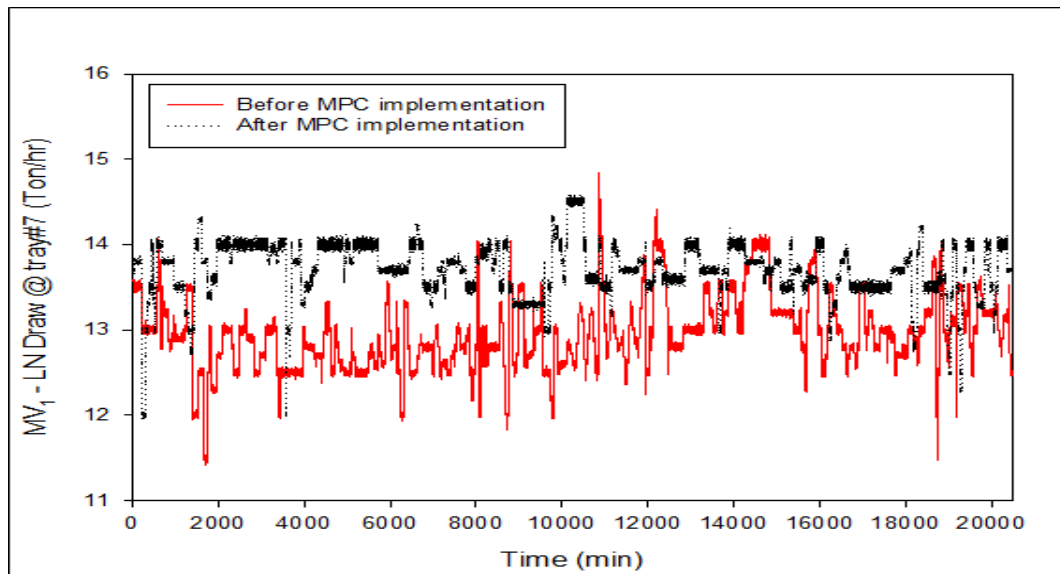
7.2.2 ตรวจสอบตัวควบคุมเชิงทำนายแบบจำลองสามารถควบคุมหอกลั่นแยกแฉกแพทาดัวเบา

ตัวควบคุมเชิงทำนายแบบจำลองสามารถควบคุมหอกลั่นแยกแฉกแพทาดัวเบาได้ ก็ต่อเมื่อตัวแปรปรับและตัวแปรควบคุมทุกตัวอยู่ภายใต้ขอบเขตที่กำหนด โดยตารางที่ 7.2 แสดงผลการควบคุมหอกลั่นแยกแฉกแพทาดัวเบาด้วยตัวควบคุมเชิงทำนายแบบจำลอง โดยแสดงค่าเฉลี่ยของตัวแปรปรับ ตัวแปรควบคุม และตัวแปรรบกวนทุกตัว และแสดงค่าขอบเขตล่าง ค่าขอบเขตบนของตัวแปรทุกตัว จากตารางจะเห็นได้ว่าค่าเฉลี่ยของตัวแปรปรับ และตัวแปรควบคุมทุกตัวอยู่ภายใต้ขอบเขตที่กำหนด ดังนั้นจึงสามารถควบคุมหอกลั่นแยกแฉกแพทาดัวเบาให้คงอยู่ภายใต้ความปลอดภัย และผลิตภัณฑ์แก๊สโซลีนยังคงผ่านตามข้อกำหนด

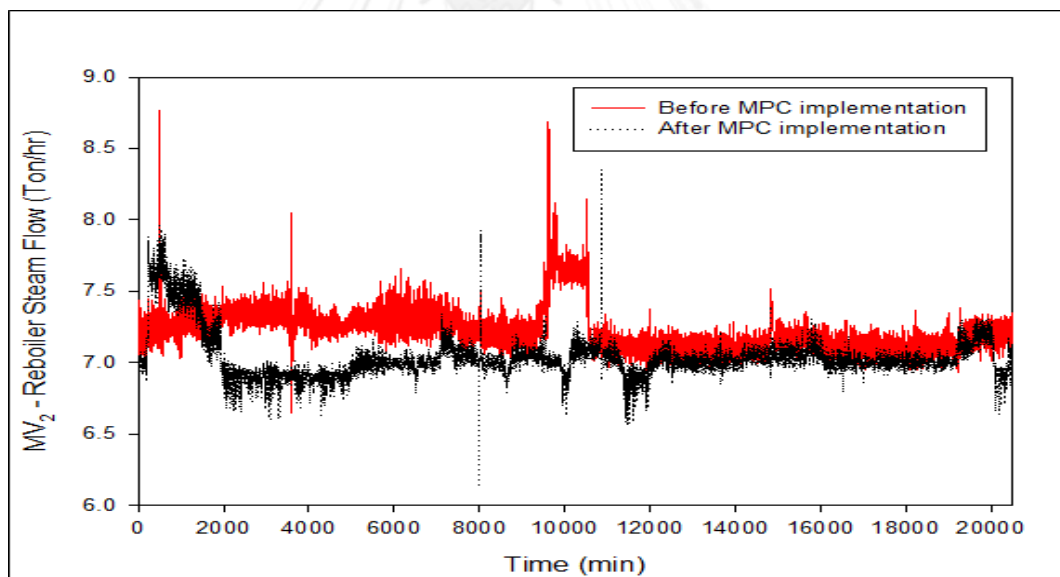
ตารางที่ 7.2 แสดงค่าเฉลี่ยของตัวแปรปรับ ตัวแปรควบคุมทุกตัว และแสดงค่าขอบเขตล่าง และขอบเขตบนของตัวแปรทุกตัวเมื่อควบคุมหอกลิ้นแยกแนวพาตัวเบาด้วยตัวควบคุมเชิงทำนายแบบจำลอง

| ตัวแปร | ค่าเป้าหมายเฉลี่ย | ขอบเขตล่าง | ขอบเขตบน |
|--------------------------------|-------------------|------------|----------|
| CV1 (sulfur content in LN) | 15.0 (ppm) | 10 | 20 |
| CV2 (LN per Feed ratio) | 3.8 | 3.0 | 4.0 |
| CV3 (bottom temperature) | 218 (degree C) | 210 | 220 |
| CV4 (tray#14 temperature) | 122 (degree C) | 120 | 125 |
| CV5 (LN level) | 53 (%) | 45 | 65 |
| CV6 (bottom level) | 60 (%) | 45 | 65 |
| CV7 (reflux per feed ratio) | 4.2 | 4.0 | 5.0 |
| CV8 (reflux drum level) | 58 (%) | 45 | 65 |
| MV1 (LN flow) | 13.7 (Ton/h) | 12.0 | 15.0 |
| MV2 (steam flow) | 7.0 (Ton/h) | 6.9 | 7.5 |
| MV3 (reflux flow) | 15.5 (Ton/h) | 14.0 | 18.0 |
| DV1 (feed flow) | 37.3 (Ton/h) | - | - |
| DV2 (HN flow) | 20.7 (Ton/h) | - | - |

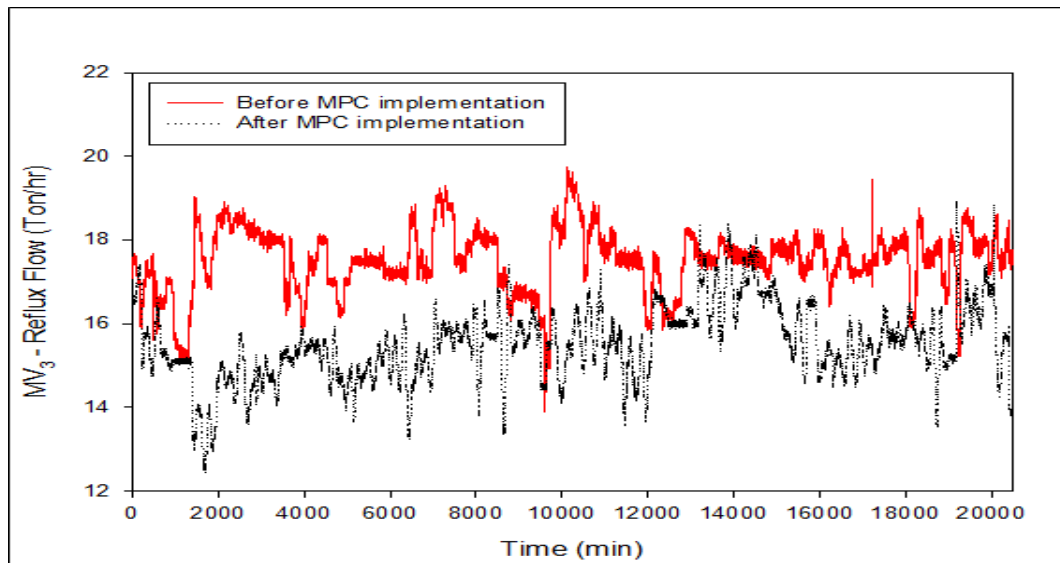
โดยรูปที่ 7.10 ถึง รูปที่ 7.12 แสดงการเปรียบเทียบค่าตัวแปรปรับที่ 1 ถึงตัวแปรปรับที่ 3 ในช่วงก่อนและหลังติดตั้งตัวควบคุมเชิงทำนายแบบจำลอง



รูปที่ 7.10 แสดงการเปรียบเทียบค่าตัวแปรปรับที่ 1 คือปริมาณเนพทาตัวเบาที่ถูกดึงออกจากหอกลั่นในช่วงก่อนและหลังติดตั้งตัวควบคุมเชิงทำนายแบบจำลอง

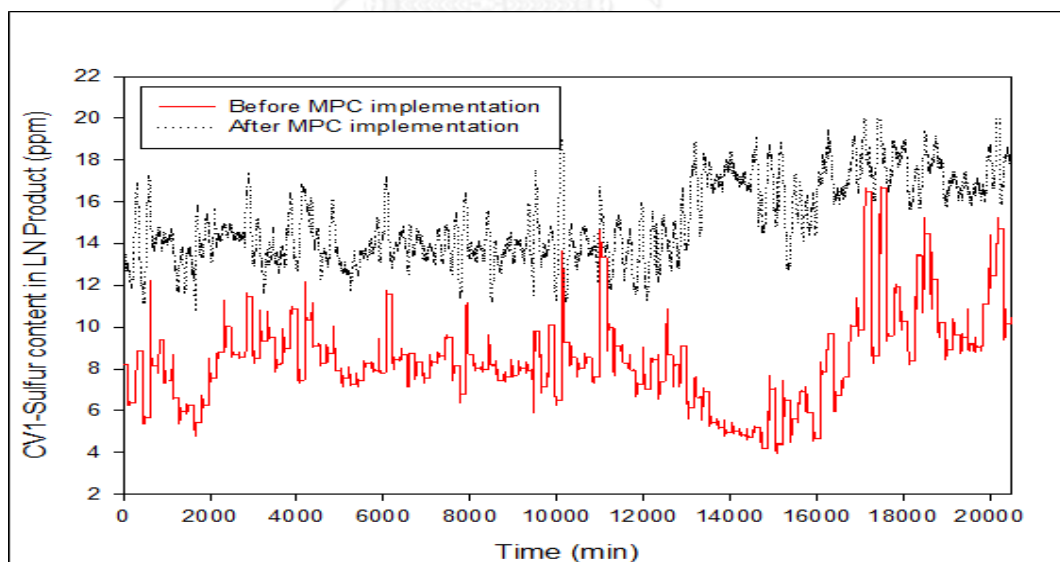


รูปที่ 7.11 แสดงการเปรียบเทียบค่าตัวแปรปรับที่ 2 คือปริมาณไอน้ำที่ใช้ให้ความร้อนกับหอกลั่นในช่วงก่อนและหลังติดตั้งตัวควบคุมเชิงทำนายแบบจำลอง

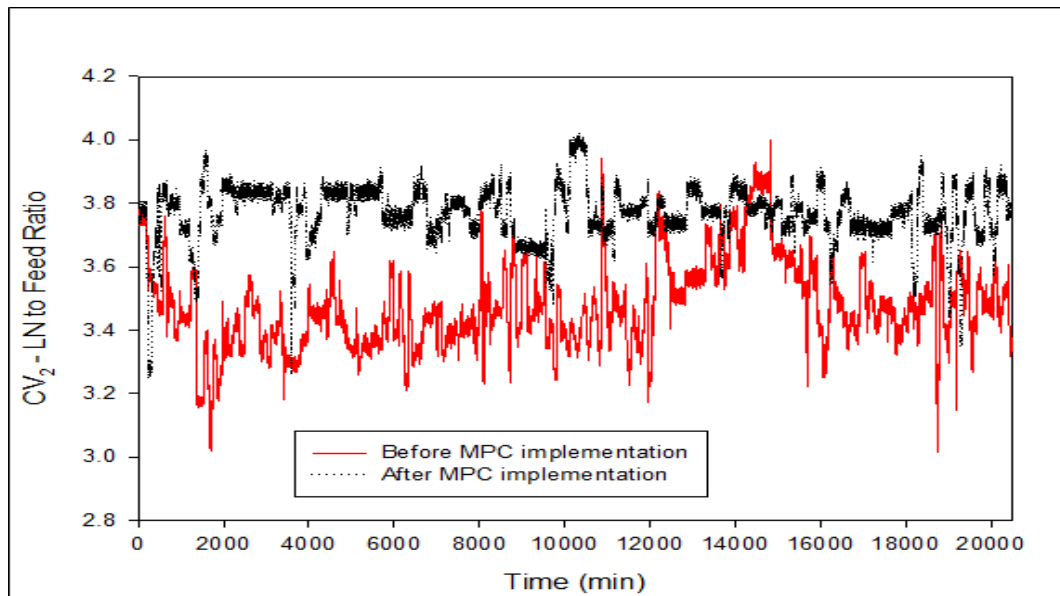


รูปที่ 7.12 แสดงการเปรียบเทียบค่าตัวแปรปรับที่ 3 คือปริมาณสารป้อนกลับเข้าหอกลิ้น ในช่วงก่อนและหลังติดตั้งตัวควบคุมเชิงทำนายแบบจำลอง

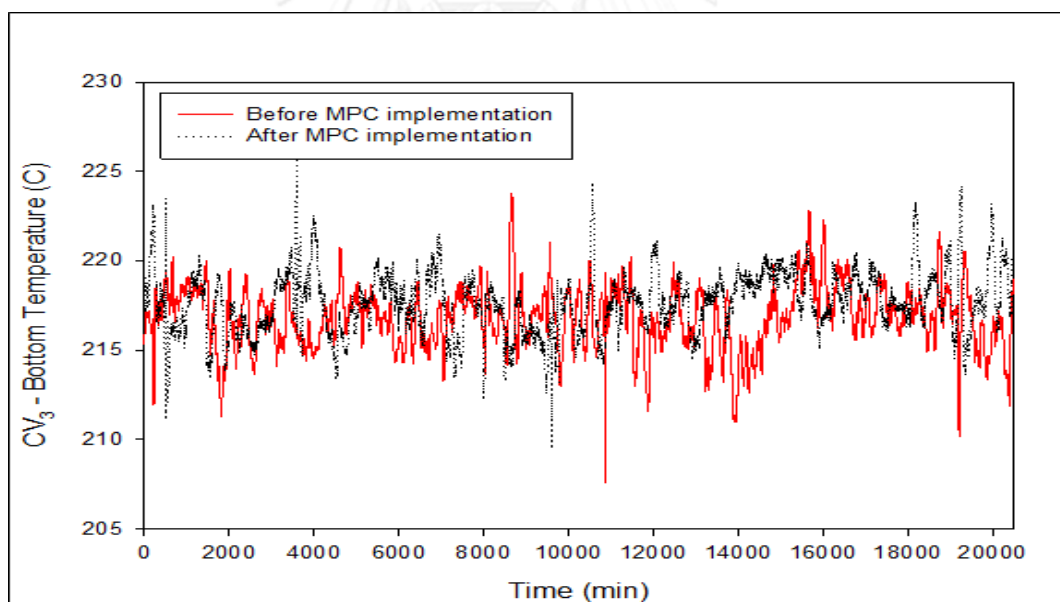
รูปที่ 7.13 ถึง รูปที่ 7.20 แสดงการเปรียบเทียบค่าตัวแปรควบคุมที่ 1 ถึงตัวแปรควบคุมที่ 8 ในช่วงก่อนและหลังติดตั้งตัวควบคุมเชิงทำนายแบบจำลอง



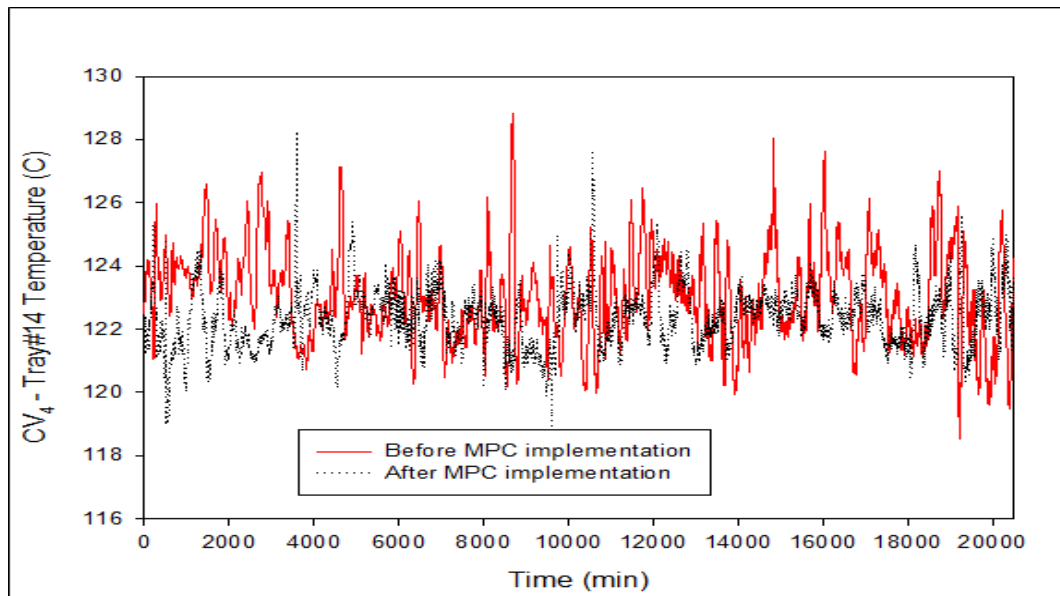
รูปที่ 7.13 แสดงการเปรียบเทียบค่าตัวแปรควบคุมที่ 1 คือปริมาณซัลเฟอร์ในเนพทาตัวเบา ในช่วงก่อนและหลังติดตั้งตัวควบคุมเชิงทำนายแบบจำลอง



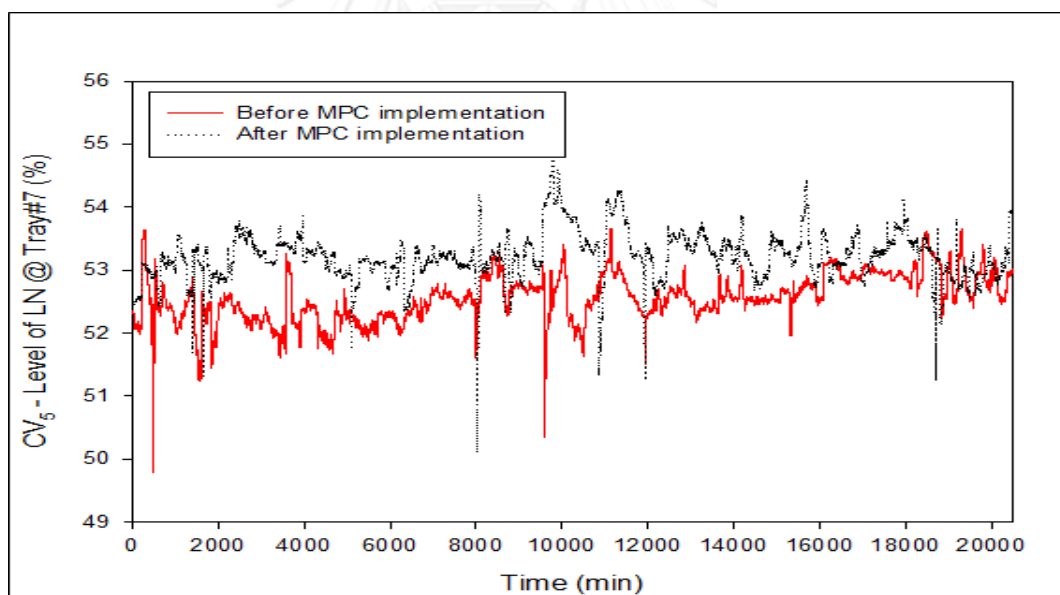
รูปที่ 7.14 แสดงการเปรียบเทียบค่าตัวแปรควบคุมที่ 2 คืออัตราส่วนแนพทาตัวเบาต่อสารป้อนเข้า ในช่วงก่อนและหลังติดตั้งตัวควบคุมเชิงทำนายแบบจำลอง



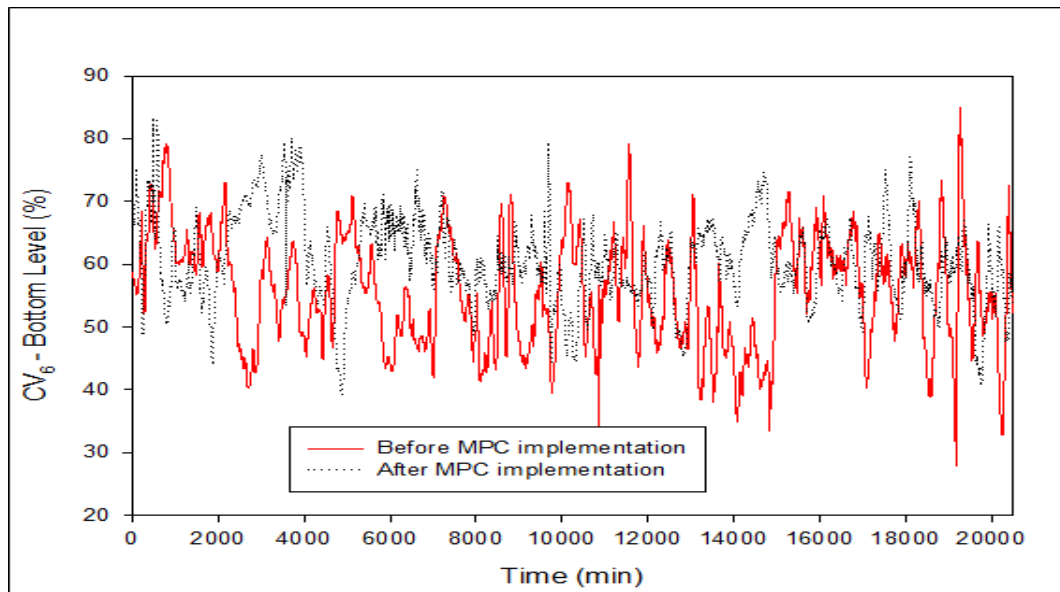
รูปที่ 7.15 แสดงการเปรียบเทียบค่าตัวแปรควบคุมที่ 3 คืออุณหภูมิที่ก้นหอกถัน ในช่วงก่อนและหลังติดตั้งตัวควบคุมเชิงทำนายแบบจำลอง



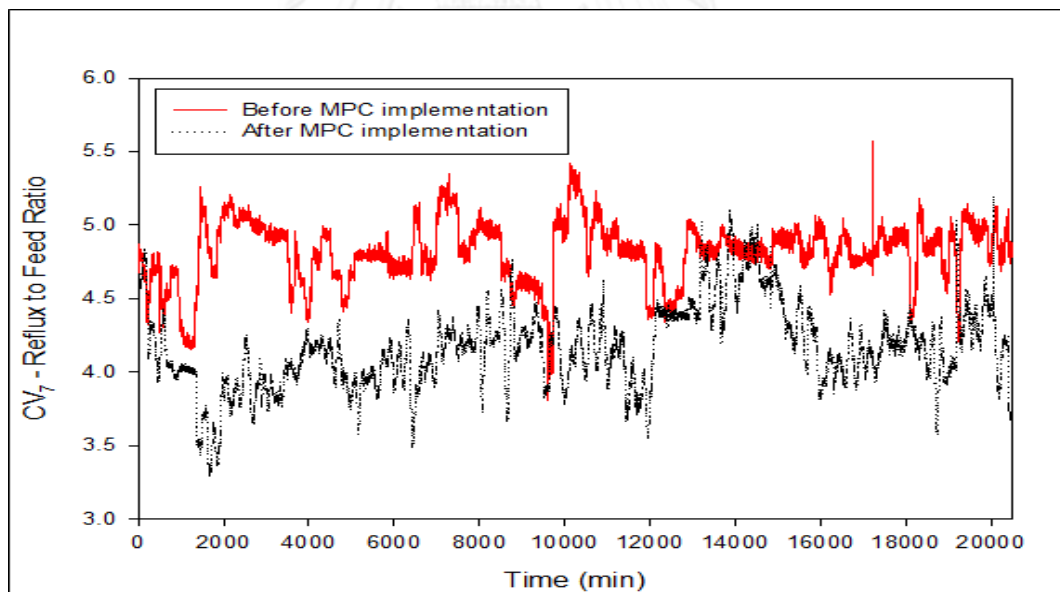
รูปที่ 7.16 แสดงการเปรียบเทียบค่าตัวแปรควบคุมที่ 4 คืออุณหภูมิในหอกถันชั้นที่ 14 ในช่วงก่อนและหลังติดตั้งตัวควบคุมเชิงทำนายแบบจำลอง



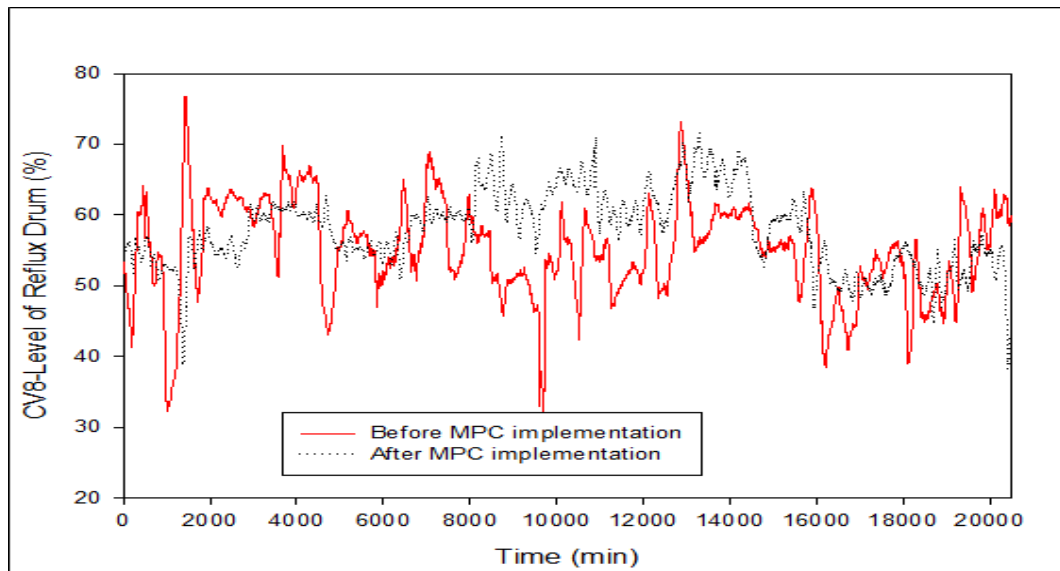
รูปที่ 7.17 แสดงการเปรียบเทียบค่าตัวแปรควบคุมที่ 5 คือระดับของแนพทาตัวเบาในหอกถัน ในช่วงก่อนและหลังติดตั้งตัวควบคุมเชิงทำนายแบบจำลอง



รูปที่ 7.18 แสดงการเปรียบเทียบค่าตัวแปรควบคุมที่ 6 คือระดับของแนพทาตัวหนักในหอกลั่น ในช่วงก่อนและหลังติดตั้งตัวควบคุมเชิงทำนายแบบจำลอง

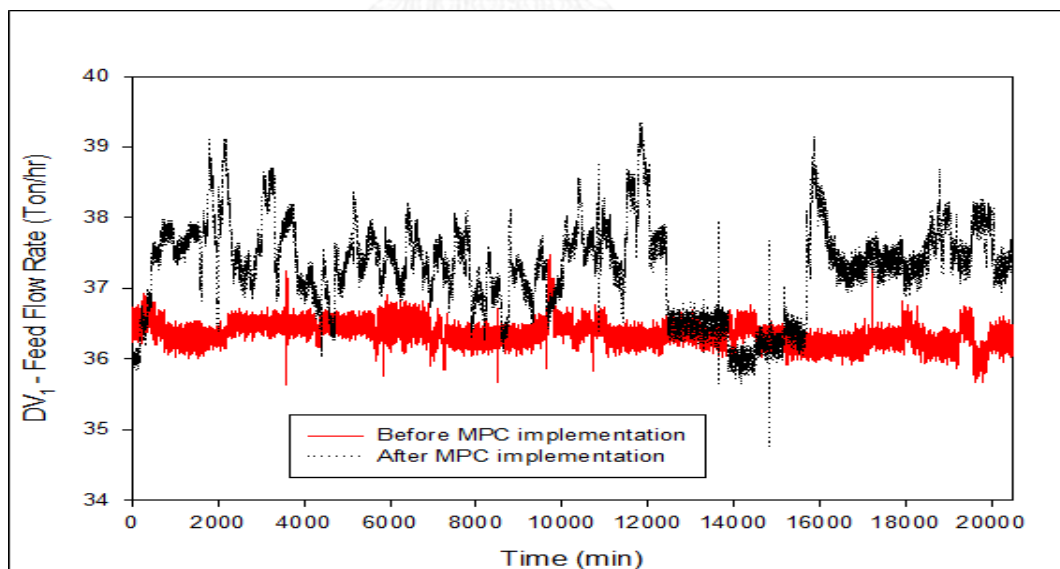


รูปที่ 7.19 แสดงการเปรียบเทียบค่าตัวแปรควบคุมที่ 7 คืออัตราส่วนสารป้อนกลับต่อสารป้อนเข้าหอกลั่นในช่วงก่อนและหลังติดตั้งตัวควบคุมเชิงทำนายแบบจำลอง

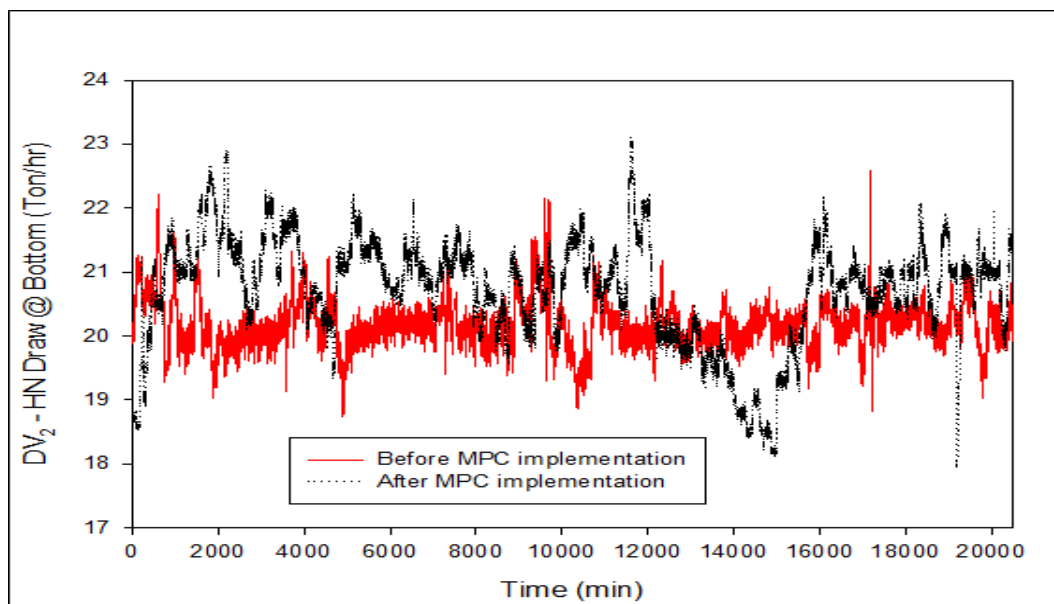


รูปที่ 7.20 แสดงการเปรียบเทียบค่าตัวแปรควบคุมที่ 8 คือระดับของเหลวที่ยอดหอกลั่น ในช่วงก่อนและหลังติดตั้งตัวควบคุมเชิงทำนายแบบจำลอง

รูปที่ 7.21 ถึง รูปที่ 7.22 แสดงการเปรียบเทียบค่าตัวแปรบววนที่ 1 และตัวแปรบววนที่ 2 ในช่วงก่อนและหลังติดตั้งตัวควบคุมเชิงทำนายแบบจำลอง



รูปที่ 7.21 แสดงการเปรียบเทียบค่าตัวแปรบววนที่ 1 คือสารป้อนเข้าหอกลั่นแยกแฉกแพทาดัวเบา ในช่วงก่อนและหลังติดตั้งตัวควบคุมเชิงทำนายแบบจำลอง



รูปที่ 7.22 แสดงการเปรียบเทียบค่าตัวแปรรอบวนที่ 2 คือปริมาณแฉกแพทาทัวหนักที่ดึงออกจากหอกลั่นในช่วงก่อนและหลังติดตั้งตัวควบคุมเชิงทำนายแบบจำลอง

7.2.3 เปรียบเทียบสมรรถนะของตัวควบคุมระหว่างตัวควบคุมแบบพีไอดีกับตัวควบคุมเชิงทำนายแบบจำลอง

การเปรียบเทียบสมรรถนะของตัวควบคุมจะต้องเปรียบเทียบกับกระบวนการผลิตที่อยู่ภายใต้เงื่อนไขเดียวกัน และต้องมีเสถียรภาพเหมือนกัน งานวิจัยนี้การเปรียบเทียบสมรรถนะระหว่างตัวควบคุมเชิงทำนายแบบจำลองกับตัวควบคุมแบบพีไอดีนั้นทำได้ยาก เนื่องจากได้ประยุกต์ใช้ตัวควบคุมทั้งสองที่กระบวนการผลิตจริงทำให้ไม่สามารถเปรียบเทียบสมรรถนะของตัวควบคุมทั้งสองโดยมีขนาดของตัวแปรรอบวนต่างๆ เท่ากันทั้งหมด โดยหากลั่นแยกแฉกแพทาทัวเบาที่มีสารป้อนเข้าหากลั่นเป็นตัวแปรรอบวนที่สำคัญ โดยตัวแปรนี้ส่งผลกระทบต่อเสถียรภาพของการควบคุมกระบวนการผลิตมาก ดังนั้นงานวิจัยนี้จึงใช้ปริมาณสารป้อนเข้าหากลั่นแยกแฉกแพทาทัวเบาเป็นตัวแปรที่ใช้เพื่อตรวจสอบว่ากระบวนการผลิตอยู่ภายใต้เงื่อนไขเดียวกัน และมีเสถียรภาพเหมือนกัน โดยสามารถแสดงดังตารางที่ 7.3

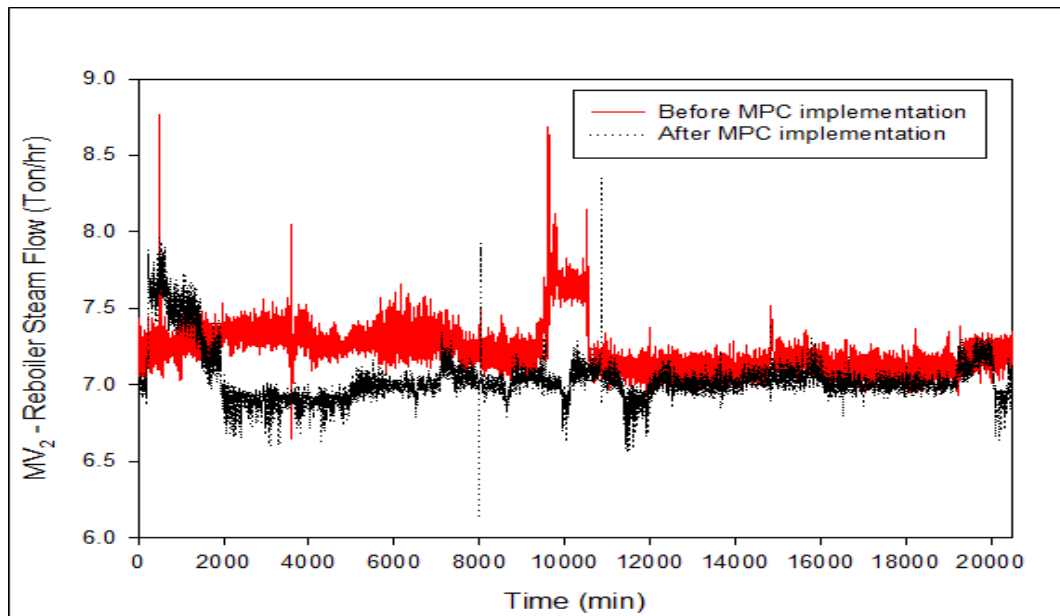
ตารางที่ 7.3 แสดงการเปรียบเทียบค่าตัวแปรบวทที่ 1 คือสารป้อนเข้าหอกลิ้นแยกแนพทาตัวเบา ในช่วงก่อนและหลังติดตั้งตัวควบคุมเชิงทำนายแบบจำลอง

| รายการ | ก่อนทำการวิจัย | หลังทำการวิจัย |
|---------------------|----------------|----------------|
| ค่าเฉลี่ย (Ton/h) | 36.4 | 37.3 |
| ค่าสูงสุด (Ton/h) | 37.5 | 39.4 |
| ค่าต่ำสุด (Ton/h) | 35.6 | 34.8 |
| ค่าเบี่ยงเบนมาตรฐาน | 0.17 | 0.63 |

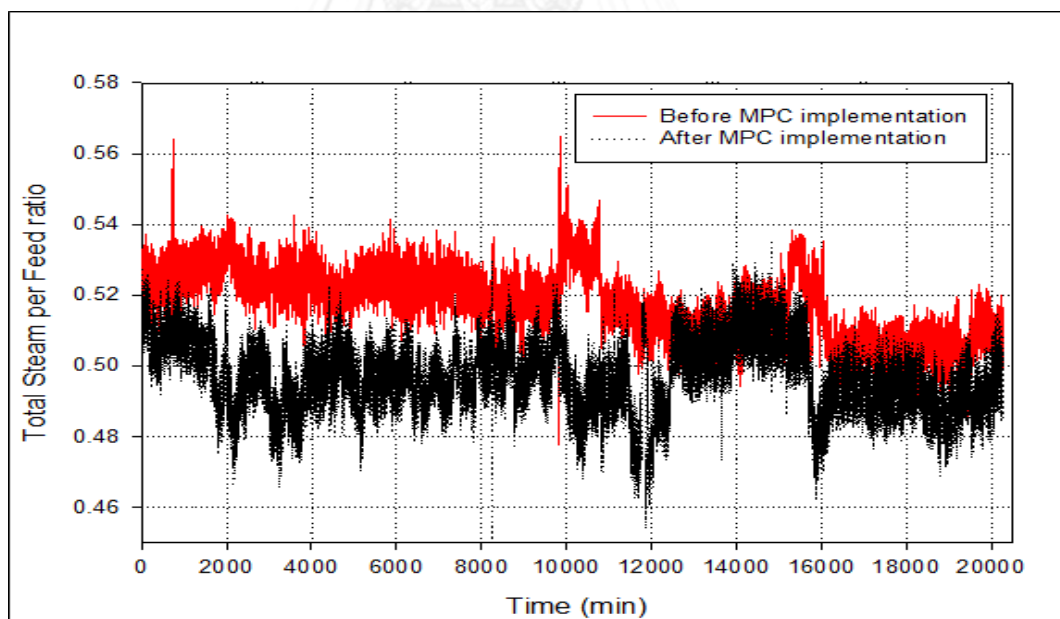
จากตารางที่ 7.3 แสดงได้ว่าการควบคุมหอกลิ้นแยกแนพทาตัวเบาช่วงก่อนและหลังทำการวิจัยอยู่ภายใต้เงื่อนไข และมีเสถียรภาพเหมือนกัน เนื่องจากปริมาณสารป้อนเข้าหอกลิ้นแยกแนพทาตัวเบา มีค่าใกล้เคียงกัน ดังนั้นงานวิจัยนี้จะเปรียบเทียบสมรรถนะของตัวควบคุมระหว่างตัวควบคุมแบบพีโอดีกับตัวควบคุมเชิงทำนายแบบจำลอง โดยใช้ข้อมูลของกระบวนการผลิตในสองช่วงเวลาดังกล่าว โดยการเปรียบเทียบสมรรถนะของตัวควบคุมจะถูกเปรียบเทียบในภาพรวมของกระบวนการผลิตแก๊สโซลีนไฮโดรจีเนชั่น ดังนี้

- เปรียบเทียบปริมาณการใช้ไอน้ำที่หอกลิ้นแยกแนพทาตัวเบา
- เปรียบเทียบปริมาณการใช้ไอน้ำทั้งหมดในกระบวนการผลิตแก๊สโซลีนไฮโดรจีเนชั่น
- เปรียบเทียบคุณสมบัติที่สำคัญของผลิตภัณฑ์แก๊สโซลีนยังคงผ่านตามข้อกำหนด

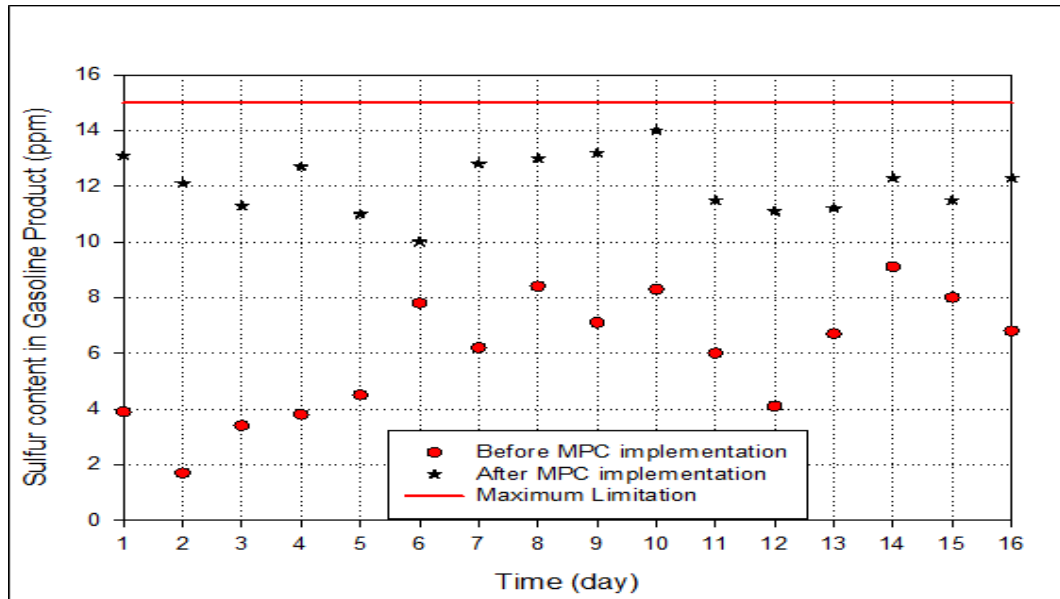
รูปที่ 7.23 แสดงการเปรียบเทียบอัตราส่วนปริมาณไอน้ำที่หอกลิ้นแยกแนพทาตัวเบาต่อปริมาณสารป้อนเข้าในช่วงก่อนและหลังติดตั้งตัวควบคุมเชิงทำนายแบบจำลอง โดยสามารถลดได้ 0.010 คิดเป็นปริมาณไอน้ำที่ลดได้เฉลี่ย 369.2 กิโลกรัมต่อชั่วโมง รูปที่ 7.24 แสดงการเปรียบเทียบอัตราส่วนปริมาณไอน้ำทั้งหมดที่ถูกใช้ในกระบวนการผลิตแก๊สโซลีนไฮโดรจีเนชั่นต่อปริมาณสารป้อนเข้าในช่วงก่อนและหลังติดตั้งตัวควบคุมเชิงทำนายแบบจำลอง โดยสามารถลดได้ 0.022 คิดเป็นปริมาณไอน้ำที่ลดได้เฉลี่ย 825.6 กิโลกรัมต่อชั่วโมง และรูปที่ 7.25 ถึงรูปที่ 7.29 แสดงการเปรียบเทียบคุณสมบัติที่สำคัญของผลิตภัณฑ์แก๊สโซลีนในช่วงก่อนและหลังติดตั้งตัวควบคุมเชิงทำนายแบบจำลอง โดยผลิตภัณฑ์แก๊สโซลีนยังคงผ่านตามข้อกำหนด



รูปที่ 7.23 แสดงการเปรียบเทียบอัตราส่วนปริมาณไอน้ำที่หอกลับแยกแฉกแนวพาตัวเบตต่อปริมาณสารป้อนเข้าในช่วงก่อนและหลังติดตั้งตัวควบคุมเชิงทำนายแบบจำลอง

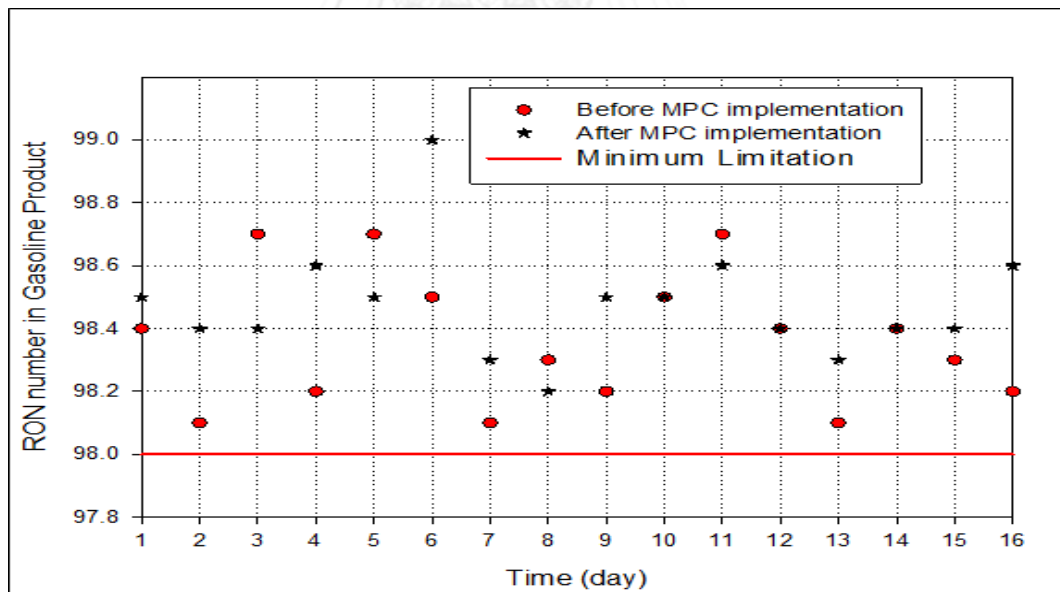


รูปที่ 7.24 แสดงการเปรียบเทียบอัตราส่วนปริมาณไอน้ำทั้งหมดต่อปริมาณสารป้อนเข้าที่ถูกใช้ในกระบวนการผลิตแก๊สโซลีนไฮโดรจีเนชั่นในช่วงก่อนและหลังติดตั้งตัวควบคุมเชิงทำนายแบบจำลอง



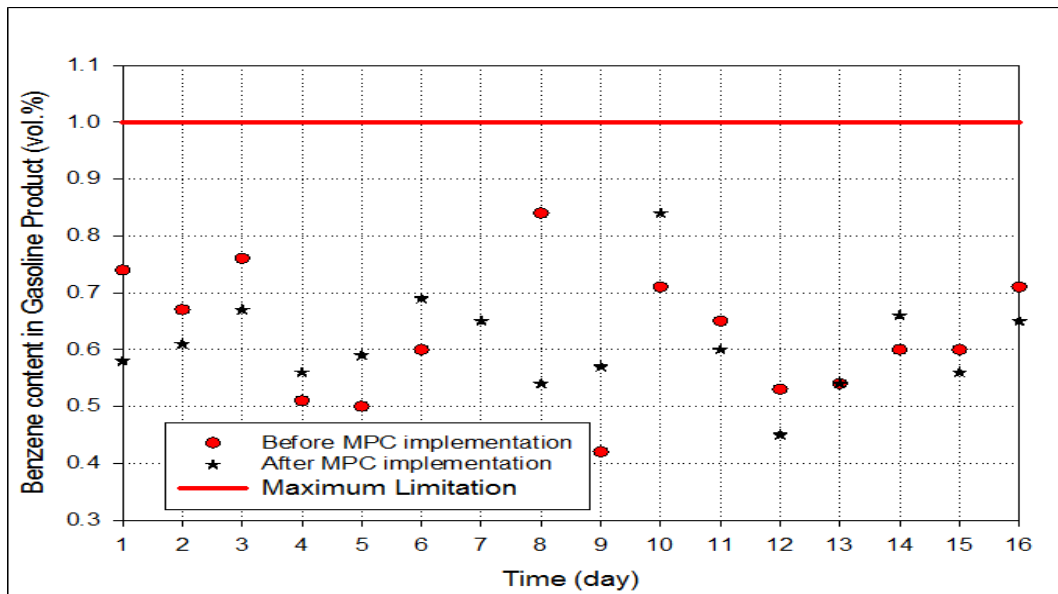
รูปที่ 7.25 แสดงการเปรียบเทียบปริมาณซัลเฟอร์ของผลิตภัณฑ์แก๊สโซลีน

ในช่วงก่อนและหลังติดตั้งตัวควบคุมเชิงทำนายแบบจำลอง



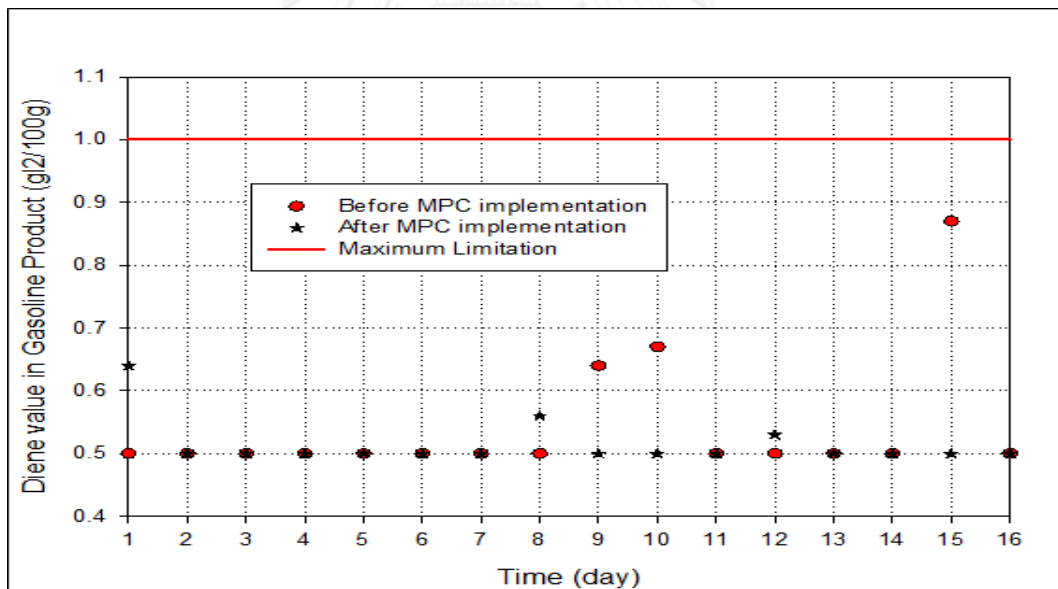
รูปที่ 7.26 แสดงการเปรียบเทียบค่าออกเทนัมเบอร์ของผลิตภัณฑ์แก๊สโซลีน

ในช่วงก่อนและหลังติดตั้งตัวควบคุมเชิงทำนายแบบจำลอง



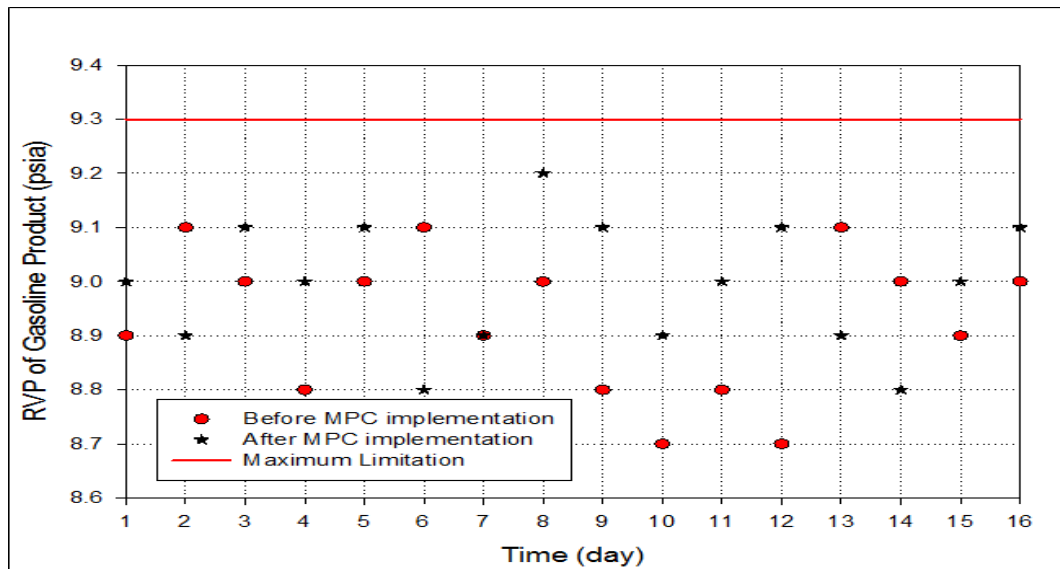
รูปที่ 7.27 แสดงการเปรียบเทียบค่าเบนซีนในผลิตภัณฑ์แก๊สโซลีน

ในช่วงก่อนและหลังติดตั้งตัวควบคุมเชิงทำนายแบบจำลอง



รูปที่ 7.28 แสดงการเปรียบเทียบค่า Diene Value ในผลิตภัณฑ์แก๊สโซลีน

ในช่วงก่อนและหลังติดตั้งตัวควบคุมเชิงทำนายแบบจำลอง



รูปที่ 7.29 แสดงการเปรียบเทียบค่าการระเหยในผลิตภัณฑ์แก๊สโซลีน
ในช่วงก่อนและหลังติดตั้งตัวควบคุมเชิงทำนายแบบจำลอง

ผู้วิจัยได้เปรียบเทียบค่าสมการวัตถุประสงค์ของการควบคุมหอกลับแยกแนวทาบตัวเบาในช่วงก่อนและหลังติดตั้งตัวควบคุมเชิงทำนายแบบจำลอง โดยสมการวัตถุประสงค์สามารถแสดงดังสมการที่ 7.1

$$\text{สมการวัตถุประสงค์} = \sum_{i=k}^{i=k+p} \left[X^T(i) W_1 X(i) + U^T(i) W_2 U(i) \right] \quad (7.1)$$

โดยที่ X^T คือ ทรานสโพสของเมทริกซ์ค่าเบี่ยงเบนของตัวแปรควบคุมจากเซ็ทพอยท์
 W_1 คือ เมทริกซ์ถ่วงน้ำหนักของตัวแปรควบคุม
 X คือ เมทริกซ์ค่าเบี่ยงเบนของตัวแปรควบคุมจากเซ็ทพอยท์
 U^T คือ ทรานสโพสของเมทริกซ์ค่าเบี่ยงเบนของตัวแปรปรับจากเซ็ทพอยท์
 W_2 คือ เมทริกซ์ถ่วงน้ำหนักของตัวแปรปรับ
 U คือ เมทริกซ์ค่าเบี่ยงเบนของตัวแปรปรับจากเซ็ทพอยท์

โดยมีเมทริกซ์ถ่วงน้ำหนักของตัวแปรควบคุมและเมทริกซ์ถ่วงน้ำหนักของตัวแปรปรับแสดงดังสมการที่ 7.2 และสมการที่ 7.3 ตามลำดับ

$$W_1 = \begin{bmatrix} 1 & 0 & 0 & 0 & 0 & 0 & 0 & 0 \\ 0 & 1 & 0 & 0 & 0 & 0 & 0 & 0 \\ 0 & 0 & 1 & 0 & 0 & 0 & 0 & 0 \\ 0 & 0 & 0 & 1 & 0 & 0 & 0 & 0 \\ 0 & 0 & 0 & 0 & 0.1 & 0 & 0 & 0 \\ 0 & 0 & 0 & 0 & 0 & 0.1 & 0 & 0 \\ 0 & 0 & 0 & 0 & 0 & 0 & 1 & 0 \\ 0 & 0 & 0 & 0 & 0 & 0 & 0 & 0.1 \end{bmatrix} \quad (7.2)$$

$$W_2 = \begin{bmatrix} 0.01 & 0 & 0 \\ 0 & 0.01 & 0 \\ 0 & 0 & 0.01 \end{bmatrix} \quad (7.3)$$

จากสมการที่ 7.2 ตัวแปรควบคุมทุกตัวจะมีน้ำหนักเท่ากันยกเว้นตัวแปรควบคุมระดับน้ำมัน จะมีน้ำหนักเพียง 0.1 เนื่องจากควบคุมระดับน้ำมันด้วยวิธีแบบเฉลี่ย ส่วนตัวแปรปรับทุกตัวจะมีน้ำหนักเท่ากันแสดงดังสมการที่ 7.3

ตารางที่ 7.4 แสดงการเปรียบเทียบค่าสมการวัตถุประสงค์ของการควบคุมหอกลับแยกแนวพาตัวเบา ในช่วงก่อนและหลังติดตั้งตัวควบคุมเชิงทำนายแบบจำลอง

| รายการ | ก่อนทำการวิจัย | หลังทำการวิจัย |
|----------------------|----------------|----------------|
| ค่าสมการวัตถุประสงค์ | 3,637 | 2,468 |

จากตารางที่ 7.4 ตัวควบคุมเชิงทำนายแบบจำลองสามารถลดค่าเบี่ยงเบนของตัวแปรควบคุม และตัวแปรปรับจากค่าเป้าหมายได้มากกว่าตัวควบคุมแบบพีไอดีร้อยละ 32.1 โดยสภาวะการเปรียบเทียบนั้นมีขนาดของตัวแปรบวกลบใกล้เคียงกัน

7.3 สรุปผลการวิจัย

สามารถประยุกต์ใช้ตัวควบคุมเชิงทำนายแบบจำลองที่หอกลิ้นแยกแนวทาทัวเบาของกระบวนการผลิตแก๊สโซลีนไฮโดรจีเนชั่น โดยตัวควบคุมเชิงทำนายแบบจำลองสามารถควบคุมหอกลิ้นแยกแนวทาทัวเบาอย่างมีเสถียรภาพ และแสดงสมรรถนะการควบคุมกระบวนการผลิตตามสมการวัตถุประสงค์ได้ดีกว่าตัวควบคุมแบบพีไอดีร้อยละ 32.1 และเมื่อควบคุมหอกลิ้นแยกแนวทาทัวเบาด้วยตัวควบคุมเชิงทำนายแบบจำลองสามารถลดปริมาณการใช้ไอน้ำที่หอกลิ้นแยกแนวทาทัวเบา ลดลงเฉลี่ย 4,587.3 กิโลแคลอรีต่อสารป้อนเข้าหอกลิ้นหนึ่งตัน คิดเป็นจำนวนเงิน 2,809,674 บาท ต่อปี และผลิตภัณฑ์แก๊สโซลีนยังคงผ่านตามข้อกำหนด

7.4 ข้อเสนอแนะแนวทางการประยุกต์ใช้ตัวควบคุมเชิงทำนายแบบจำลอง

ส่วนประกอบที่สำคัญที่สุดของตัวควบคุมเชิงทำนายแบบจำลองคือแบบจำลอง ดังนั้นกระบวนการผลิตที่สามารถประยุกต์ใช้ตัวควบคุมเชิงทำนายแบบจำลอง คือกระบวนการที่สามารถหาแบบจำลองได้ถูกต้องพอสมควร การหาแบบจำลองในอุตสาหกรรมการผลิตจริงให้มีความถูกต้องจะต้องอาศัยพฤติกรรมการตอบสนองของตัวแปรขาออกต่อสแต็ปตัวแปรขาเข้าของกระบวนการผลิตจริง แล้วนำข้อมูลที่ได้จากการทดสอบแบบสแต็ปมาหาแบบจำลอง (Black Box Model) เพื่อให้ได้แบบจำลองที่เหมาะสมกับกระบวนการผลิตนั้นๆ เพราะว่ากระบวนการผลิตแต่ละแห่งจะมีตัวแปรกระบวนการที่ไม่สามารถวัดค่าได้แตกต่างกัน รวมทั้งเวลาในการตอบสนองของตัวแปรควบคุมเมื่อมีการปรับค่าตัวแปรปรับก็มีความแตกต่างกัน ซึ่งขึ้นอยู่กับชนิดของอุปกรณ์การวัด และกำลังการผลิตที่แตกต่างกัน

รายการอ้างอิง

1. อธิป ทยานุ, ตัวควบคุมโมเดลพรีดิกทีฟแบบง่ายบนคอมพิวเตอร์ส่วนบุคคลสำหรับควบคุมระดับของเหลวแบบเฉื่อย, in สาขาวิชาวิศวกรรมเคมี. 2545, จุฬาลงกรณ์มหาวิทยาลัย.
2. Berna, H., M. Aygun, and D. Kuzu, Model Predictive Control of an Industrial Gasoline Hydrodesulphurization Unit, in 2013 International Conference on Process Control (PC). 2013: Slovakia. p. 330-334.
3. Ansari, R.M. and M.O. Tade, Nonlinear model based multivariable control of a debutanizer. J. Proc. Cont, 1998. 8: p. 279-286
4. Hovd, M., R. Michaelsen, and T. Montin, Model Predictive Control of a Crude Oil Distillation Column. Computers & Chemical Engineering, 1997. 21: p. S893-S897.
5. Porfirio, C.R., E. Almeida Neto, and D. Odloak, Muti-model predictive control of an industrial C3/C4 splitter. Control Engineering Practice 11 2003: p. 765-779
6. Iancu, M. and P.S. Agachi, Optimizing Process Control and Operation of an Industrial Heat Integrated Fluid Catalytic Cracking Plant Using Model Predictive Control. 20th European Symposium on Computer Aided Process Engineering, 2011: p. 505-510
7. Iancu, M., M.V. Cristea, and P.S. Agachi, MPC vs. PID. The advanced control solution for an industrial heat integrated fluid catalytic cracking plant. 20th European Symposium on Computer Aided Process Engineering 2011: p. 517-521.
8. Porfirio, C.R. and D. Odloak, Optimizing model predictive control of an industrial distillation column. Control Engineering Practice 19, 2011. 19: p. 1137-1146
9. Yadav, V., et al., Optimize desulfurization of gasoline via advanced process control techniques. 2012, Hydrocarbon Processing
10. Joe Qin, S. and A. Thamas, A survey of industrial model predictive control technology. Control Engineering Practice 11, 2003. 11(7): p. 733-764.
11. Honeywell, Material training for Profit Controller Design and Implementation. 2009.
12. ไพศาล กิตติศุภกร, การควบคุมที่อาศัยแบบจำลองสำหรับกระบวนการเคมีแบบแบตช์. Vol. 1. 2551, กรุงเทพฯ: สำนักพิมพ์แห่งจุฬาลงกรณ์มหาวิทยาลัย.
13. เดวิด บรรเจิดพงศ์ชัย, ระบบควบคุมพลวัต การวิเคราะห์ การออกแบบ และการประยุกต์. Vol. 1. 2551, กรุงเทพฯ: สำนักพิมพ์แห่งจุฬาลงกรณ์มหาวิทยาลัย.



ภาคผนวก

จุฬาลงกรณ์มหาวิทยาลัย
CHULALONGKORN UNIVERSITY

$$w_2 = \begin{bmatrix} 0.01 & 0 & 0 \\ 0 & 0.01 & 0 \\ 0 & 0 & 0.01 \end{bmatrix} \quad (ก-3)$$

การเปรียบเทียบค่าของตัวแปรควบคุมและตัวแปรปรับทุกตัว รวมถึงค่าของตัวแปรรบกวนที่สถานะคงตัว (steady state condition) ในช่วงก่อนและหลังการติดตั้งตัวควบคุมเชิงทำนายแบบจำลอง สามารถแสดงดังตารางที่ ก.1

ตารางที่ ก.1 แสดงการเปรียบเทียบค่าของตัวแปรควบคุม ตัวแปรปรับ และตัวแปรรบกวนที่สถานะคงตัวในช่วงก่อนและหลังการติดตั้งตัวควบคุมเชิงทำนายแบบจำลอง

| ตัวแปร | ก่อนติดตั้งตัวควบคุมเชิงทำนายแบบจำลอง | หลังติดตั้งตัวควบคุมเชิงทำนายแบบจำลอง |
|--------|---------------------------------------|---------------------------------------|
| CV 1 | 8.44 ppm | 15.13 ppm |
| CV 2 | 3.47 | 3.77 |
| CV 3 | 216.8 degree C | 217.7 degree C |
| CV 4 | 123.1 degree C | 122.4 degree C |
| CV 5 | 52.6 % | 53.2 % |
| CV 6 | 55.4 % | 60.5 % |
| CV 7 | 4.81 | 4.16 |
| CV 8 | 55.1 % | 57.7 % |
| MV 1 | 12,955 kg/hr. | 13,703 kg/hr. |
| MV 2 | 7,225 kg/hr. | 7,039 kg/hr. |
| MV 3 | 17,500kg/hr. | 15,502 kg/hr. |
| DV 1 | 36,363 kg/hr. | 37,296 kg/hr. |
| DV 2 | 20,164 kg/hr. | 20,692 kg/hr. |

จากข้อมูลค่าเบี่ยงเบนของตัวแปรควบคุม และตัวแปรปรับจากสถานะคงตัวที่เวลาต่างๆ สามารถนำมาหาค่าสมการวัตถุประสงค์ตามสมการที่ ก-1 โดยการเปรียบเทียบค่าสมการวัตถุประสงค์ในช่วงก่อนและหลังการติดตั้งตัวควบคุมเชิงทำนายแบบจำลอง ที่เวลาต่างๆ ถูกแสดงดังตารางที่ ก.2

ตารางที่ ก.2 แสดงค่าของสมการวัตถุประสงค์ทุกๆ 4 ชั่วโมง ในช่วงก่อนและหลังการติดตั้งตัวควบคุม
เชิงทำนายแบบจำลอง

| เวลา (ชั่วโมง) | ก่อนติดตั้งตัวควบคุมเชิง ทำนายแบบจำลอง | หลังติดตั้งตัวควบคุมเชิง ทำนายแบบจำลอง |
|----------------|---|---|
| 4 | 62.93 | 22.70 |
| 8 | 66.61 | 13.12 |
| 12 | 72.46 | 7.52 |
| 16 | 105.58 | 7.51 |
| 20 | 111.03 | 7.78 |
| 24 | 96.99 | 14.62 |
| 28 | 75.96 | 10.39 |
| 32 | 65.08 | 3.02 |
| 36 | 51.25 | 7.01 |
| 40 | 41.51 | 10.17 |
| 44 | 36.73 | 13.90 |
| 48 | 17.57 | 9.47 |
| 52 | 12.79 | 10.57 |
| 56 | 24.35 | 8.88 |
| 60 | 38.84 | 11.00 |
| 64 | 61.07 | 16.23 |
| 68 | 66.59 | 19.63 |
| 72 | 63.28 | 15.54 |
| 76 | 66.03 | 14.76 |
| 80 | 58.87 | 11.02 |
| 84 | 62.07 | 9.14 |
| 88 | 60.85 | 7.69 |
| 92 | 55.83 | 5.72 |
| 96 | 56.49 | 7.24 |
| 100 | 48.59 | 27.06 |
| 104 | 46.66 | 35.20 |
| 108 | 43.55 | 18.56 |

| เวลา (ชั่วโมง) | ก่อนติดตั้งตัวควบคุมเชิง ทำนายแบบจำลอง | หลังติดตั้งตัวควบคุมเชิง ทำนายแบบจำลอง |
|----------------|---|---|
| 112 | 38.47 | 8.57 |
| 116 | 32.14 | 7.25 |
| 120 | 27.04 | 9.72 |
| 124 | 18.73 | 12.19 |
| 128 | 18.82 | 9.51 |
| 132 | 20.81 | 6.32 |
| 136 | 15.20 | 2.93 |
| 140 | 11.88 | 2.48 |
| 144 | 12.88 | 2.83 |
| 148 | 10.03 | 1.56 |
| 152 | 9.43 | 1.73 |
| 156 | 7.73 | 4.68 |
| 160 | 4.17 | 12.40 |
| 164 | 3.88 | 14.07 |
| 168 | 4.54 | 20.46 |
| 172 | 3.23 | 22.17 |
| 176 | 1.95 | 25.44 |
| 180 | 0.82 | 27.06 |
| 184 | 3.66 | 31.65 |
| 188 | 11.62 | 35.47 |
| 192 | 20.31 | 43.54 |
| 196 | 35.06 | 51.58 |
| 200 | 45.93 | 65.62 |
| 204 | 56.59 | 94.04 |
| 208 | 57.12 | 76.96 |
| 212 | 53.33 | 84.80 |
| 216 | 50.78 | 76.00 |
| 220 | 47.89 | 57.32 |
| 224 | 42.64 | 45.26 |

| เวลา (ชั่วโมง) | ก่อนติดตั้งตัวควบคุมเชิง ทำนายแบบจำลอง | หลังติดตั้งตัวควบคุมเชิง ทำนายแบบจำลอง |
|----------------|---|---|
| 228 | 31.27 | 33.71 |
| 232 | 28.45 | 37.92 |
| 236 | 25.05 | 41.68 |
| 240 | 22.85 | 42.91 |
| 244 | 20.11 | 49.71 |
| 248 | 14.41 | 38.84 |
| 252 | 13.82 | 37.45 |
| 256 | 30.35 | 40.05 |
| 260 | 48.22 | 44.78 |
| 264 | 53.43 | 53.07 |
| 268 | 89.57 | 53.14 |
| 272 | 78.73 | 28.51 |
| 276 | 43.98 | 9.58 |
| 280 | 18.67 | 9.43 |
| 284 | 26.16 | 20.20 |
| 288 | 50.81 | 28.74 |
| 292 | 80.01 | 29.58 |
| 296 | 114.67 | 29.50 |
| 300 | 129.82 | 37.01 |
| 304 | 99.42 | 63.67 |
| 308 | 47.20 | 75.30 |
| 312 | 26.78 | 80.06 |
| 316 | 25.92 | 79.37 |
| 320 | 21.68 | 61.72 |
| 324 | 19.92 | 48.15 |
| 328 | 17.01 | 33.65 |
| 332 | 15.30 | 20.88 |
| 336 | 11.83 | 18.05 |
| 340 | 7.84 | 19.25 |

| เวลา (ชั่วโมง) | ก่อนติดตั้งตัวควบคุมเชิง ทำนายแบบจำลอง | หลังติดตั้งตัวควบคุมเชิง ทำนายแบบจำลอง |
|----------------|---|---|
| 344 | 4.21 | 17.29 |
| 348 | 9.59 | 10.37 |
| 352 | 14.86 | 7.19 |
| 356 | 16.51 | 8.79 |
| 360 | 18.72 | 14.08 |
| 364 | 20.13 | 11.91 |
| 368 | 10.22 | 9.42 |
| 372 | 4.17 | 7.87 |
| 376 | 7.16 | 4.60 |
| 380 | 20.53 | 4.79 |
| 384 | 32.02 | 3.65 |
| 388 | 29.11 | 3.24 |
| ผลรวม | 3,637 | 2,468 |

ประวัติผู้เขียนวิทยานิพนธ์

นายกรกฤตย์ เชี่ยวชาญไชยรัตน์ เกิดวันที่ 22 มีนาคม พ.ศ. 2525 จังหวัด กรุงเทพมหานคร สำเร็จการศึกษาระดับปริญญาบัณฑิต สาขาวิชาวิศวกรรมเคมี คณะวิศวกรรมศาสตร์ มหาวิทยาลัยธรรมศาสตร์ ในปีการศึกษา 2548 และเข้าศึกษาต่อในหลักสูตร วิศวกรรมศาสตรมหาบัณฑิต ภาควิชาวิศวกรรมเคมี คณะวิศวกรรมศาสตร์ จุฬาลงกรณ์มหาวิทยาลัย ในปี พ.ศ. 2554

ประวัติการทำงาน

- | | |
|------------------|--|
| 2548: | พนักงานควบคุมกระบวนการผลิต บริษัท IRPC จำกัด (มหาชน) |
| 2550: | วิศวกร (Process Engineer) บริษัท IRPC จำกัด (มหาชน) |
| 2553 - ปัจจุบัน: | วิศวกรควบคุม (Process Control) บริษัท IRPC จำกัด (มหาชน) |